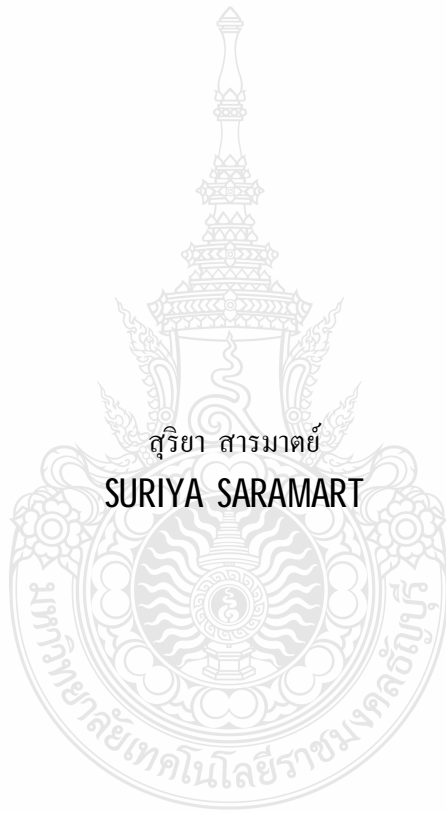


การวิเคราะห์ความเสียหายและประเมินอายุของตัวลับลูกปืนในล้อรถไฟฟ้าขนส่งมวลชน
โดยวิธีการวิเคราะห์สัญญาณการสั่นสะเทือน

FAILURES ANALYSIS AND LIFETIME ASSESSMENT OF WHEEL BEARING IN MASS TRANSIT ELECTRIC TRAIN BY VIBRATION SIGNALS ANALYSIS



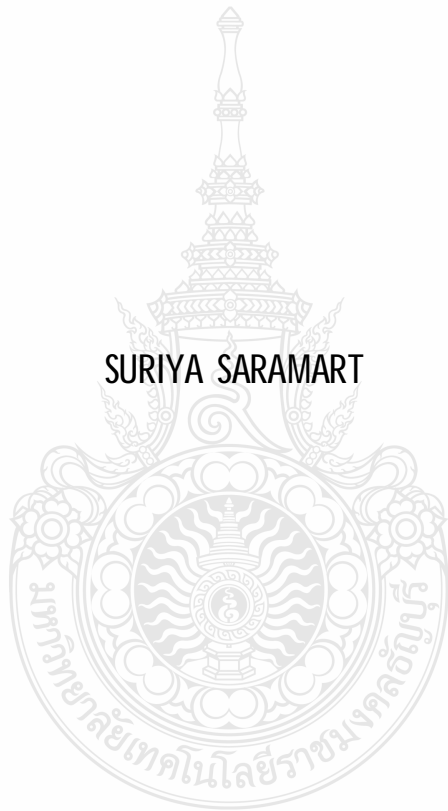
วิทยานิพนธ์นี้เป็นส่วนหนึ่งของการศึกษาตามหลักสูตรปริญญาวิศวกรรมศาสตรมหาบัณฑิต
สาขาวิชาชีวกรรมเครื่องกล ภาควิชาชีวกรรมเครื่องกล
คณะวิศวกรรมศาสตร์
มหาวิทยาลัยเทคโนโลยีราชมงคลธัญบุรี
พ.ศ. 2553

การวิเคราะห์ความเสียหายและประเมินอายุของตัวบลู๊ปในล้อรถไฟฟ้าขนส่งมวลชน
โดยวิธีการวิเคราะห์สัญญาณการสั่นสะเทือน



วิทยานิพนธ์นี้เป็นส่วนหนึ่งของการศึกษาตามหลักสูตรปริญญาวิศวกรรมศาสตร์มหาบัณฑิต
สาขาวิชาชีวกรรมเครื่องกล ภาควิชาชีวกรรมเครื่องกล
คณะวิศวกรรมศาสตร์
มหาวิทยาลัยเทคโนโลยีราชมงคลธัญบุรี
พ.ศ. 2553

FAILURES ANALYSIS AND LIFETIME ASSESSMENT OF WHEEL BEARING IN MASS TRANSIT ELECTRIC TRAIN BY VIBRATION SIGNALS ANALYSIS



SURIYA SARAMART

A THESIS SUBMITTED IN PARTIAL FULFILMENT OF THE REQUIREMENT FOR
THE DEGREE OF MASTER OF ENGINEERING
IN MECHANICAL ENGINEERING DEPARTMENT OF MECHANICAL ENGINEERING
FACULTY OF ENGINEERING
RAJAMANGALA UNIVERSITY OF TECHNOLOGY THANYABURI
2010

วิทยานิพนธ์ฉบับนี้เป็นงานวิจัยที่เกิดจากการค้นคว้าและวิจัยณาที่ข้าพเจ้าศึกษาอยู่ในคณะ
วิศวกรรมศาสตร์ มหาวิทยาลัยเทคโนโลยีราชมงคลธัญบุรี และจากการทำงานจริงในสถาน
ประกอบการ ดังนั้นงานวิจัยในวิทยานิพนธ์ฉบับนี้ถือเป็นผลลัพธ์ของมหาวิทยาลัยเทคโนโลยีราช
มงคลธัญบุรีและข้อความต่างๆ ในวิทยานิพนธ์ฉบับนี้ ข้าพเจ้าขอรับรองว่าไม่มีการคัดลอกหรือนำ
งานวิจัยของผู้อื่นมาดำเนินการในชื่อของข้าพเจ้า



นายสุริยา สารมาตย์



ใบรับรองวิทยานิพนธ์
คณะวิศวกรรมศาสตร์
มหาวิทยาลัยเทคโนโลยีราชมงคลชั้นนำ

หัวข้อวิทยานิพนธ์

การวิเคราะห์ความเสี่ยหายนะและประเมินอายุของตลับลูกปืนในล้อรถ
ไฟฟ้าขนส่งมวลชนโดยวิธีการวิเคราะห์สัญญาณการสั่นสะเทือน
**FAILURES ANALYSIS AND LIFETIME ASSESSMENT OF
WHEEL BEARING IN MASS TRANSIT ELECTRIC TRAIN
BY VIBRATION SIGNALS ANALYSIS**

ชื่อนักศึกษา

นายสุริยา สารมาดย

รหัสประจำตัว

115170430112-6

ปริญญา

วิศวกรรมศาสตรมหาบัณฑิต

สาขาวิชา

วิศวกรรมเครื่องกล

อาจารย์ผู้ควบคุมวิทยานิพนธ์

ดร.ghostekit limumpitiprapha

วันเดือนปีที่สอบ

9 มีนาคม 2553

สถานที่สอบ

ห้องประชุมมีฤทธิ์ ภาควิชาวิศวกรรมเครื่องกล

คณะวิศวกรรมศาสตร์ มหาวิทยาลัยเทคโนโลยีราชมงคลชั้นนำ

คณะกรรมการสอบวิทยานิพนธ์

ประธานกรรมการ

(ดร.มนูศักดิ์ งานทอง)

กรรมการ

(ดร.ปรัชญา เพรหมปราณีรัชต์)

กรรมการ

(ดร.ประทีป วงศ์บันฑิต)

กรรมการ

(ดร.ghostekit limumpitiprapha)

(ผู้ช่วยศาสตราจารย์ ดร.สมชัย หิรัญโรม)

คณบดีคณะวิศวกรรมศาสตร์

หัวข้อวิทยานิพนธ์	การวิเคราะห์ความเสี่ยหายและประเมินอายุของกลับลูกปืนในล้อรถไฟฟ้าบนสั่งมวลชนโดยวิธีการวิเคราะห์สัญญาณการสั่นสะเทือน
นักศึกษา	นายสุริยา สารมาดย์
รหัสประจำตัว	115170430112-6
ปริญญา	วิศวกรรมศาสตรบัณฑิต
สาขาวิชา	วิศวกรรมเครื่องกล
ปีการศึกษา	2552
อาจารย์ผู้ควบคุมวิทยานิพนธ์ ดร.เทอดเกียรติ ลิมปีทีประการ	

บทคัดย่อ

งานวิจัยนี้มีวัตถุประสงค์เพื่อจำแนกความเสี่ยหายของกลับลูกปืนในล้อรถไฟฟ้าที่ผ่านการใช้งานมาแล้วเป็นระยะเวลา 6 ปี โดยอาศัยการเปรียบเทียบเปอร์เซ็นต์ความเสี่ยหายที่เกิดขึ้นบนหน้าสัมผัสดลับลูกปืนต่อพื้นที่ผิวที่รับภาระทั้งหมด นอกจากนี้ยังมีวัตถุประสงค์เพื่อพัฒนาวิธีการประเมินอายุการใช้งานที่เหลืออยู่ของกลับลูกปืน โดยอาศัยการวิเคราะห์การสั่นสะเทือน

จากการศึกษาพบว่าตกลับลูกปืนที่ผ่านการใช้งานตามระยะเวลาที่กำหนดสามารถจำแนกออกได้เป็น 3 ระดับคือระดับ A, B และ C กล่าวคือระดับ A ซึ่งมีเปอร์เซ็นต์ความเสี่ยหายต่อพื้นที่ผิวที่รับภาระอยู่ที่ 1-15% จะมีอายุการใช้งานได้อีกประมาณ 300,000-500,000 km ระดับ B ซึ่งมีเปอร์เซ็นต์ความเสี่ยหายอยู่ที่ 15-30% จะมีอายุการใช้งานได้อีกประมาณ 200,000-300,000 km และระดับ C ซึ่งมีเปอร์เซ็นต์ความเสี่ยหาย 30-50% จะมีอายุการใช้งานค่อนข้างน้อยลง ไม่น่าไปใช้งานเนื่องจากไม่คุ้มค่ากับการบำรุงรักษา

จากนั้นทำการศึกษาโดยใช้วิธีการวิเคราะห์สัญญาณการสั่นสะเทือนของกลับลูกปืน เพื่อวิเคราะห์ความเสี่ยหายและประเมินอายุการใช้งานก่อนเกิดความเสี่ยหายขึ้นรุนแรง โดยใช้วิธีการวิเคราะห์ความสัมพันธ์จากการไฟฟ้าประเมินอายุ จากการศึกษาพบว่าตกลับลูกปืนที่ผ่านการบำรุงรักษาสามารถใช้งานได้ตามที่กำหนดไว้ แต่จะต้องมีความถี่ของเหว้นอกและเหวนในไม่เกิน 50 mg และ 25 mg ตามลำดับและสัญญาณใน Time Domain ที่มีค่าตั้งแต่ 1000 mg ขึ้นไป จากค่าที่กำหนดไว้ จะพบว่า ตกลับลูกปืนจะมีอายุการใช้งานเหลืออีกประมาณ 50,000 km ก่อนที่จะเกิดความเสี่ยหายขึ้นรุนแรง

คำสำคัญ: การวิเคราะห์การสั่นสะเทือน, ตกลับลูกปืน, รถไฟฟ้า

Thesis Title : FAILURES ANALYSIS AND LIFETIME ASSESSMENT OF WHEEL BEARING IN MASS TRANSIT ELECTRIC TRAIN BY VIBRATION SIGNALS ANALYSIS

Student Name : Mr. Suriya Saramart

Student ID : 115170430112-6

Degree Award : Master of Engineering

Study Program : Mechanical Engineering

Academic Year : 2009

Thesis Advisor : Dr. Terdkiat Limpeteepakarn

ABSTRACT

This paper presents a method of analyzing the failure of a 6-year used taper roller bearing unit of the wheel shaft in a mass-transit electric train. To identify the failure characteristics, a comparison of the failure area with the full surface area in the load zone is made. It also aims to develop methods to assess the remaining bearing lifetime using vibration analysis.

Based on the study result, it is found that there are 3 levels of failure types, namely Class A, Class B, and Class C. Class A has a failure area of about 1-15%, and can be used in service for another 300,000-500,000 km. Class B has about 15-30% and is expected to be used for 200,000-300,000 km. Finally, Class C has a failure area of 30-50% and should not be used in service again.

To assess the seriousness of the damage and analysis of vibration signal is used to identify the bearing lifetime. Based on the study, the used wheel bearing with proper maintenance can be used in service again; however, the outer and inner ring frequencies must not exceed 50 mg and 25 mg respectively, and the signal in time domain must exceed 1000 mg. In case that the limited values are met, the remaining bearing lifetime is approximately 50,000 km, before the bearing will get serious damage.

Keywords: Vibration Analysis, Bearing, Electric Train

กิตติกรรมประกาศ

งานวิจัยขึ้นนี้สำเร็จลุล่วงไปได้ด้วยความช่วยเหลือย่างดีเยี่ยมของ ดร.เกอเดเกียรติ ลินปีพิประการ ซึ่งได้ให้คำปรึกษาแนะนำ และหาแนวทางแก้ปัญหาที่เกิดขึ้นในระหว่างการทำงานวิจัย โดยตลอด ผู้วิจัยขอกราบขอบพระคุณอย่างสูง และขอขอบคุณภาควิชาศึกษาศาสตร์ คณะศึกษาศาสตร์ มหาวิทยาลัยเทคโนโลยีราชมงคลล้านนา ที่ช่วยเหลือในด้านข้อมูลและสถานที่ และเนื่องจากงานวิจัย ขึ้นนี้ผู้วิจัยได้ทำงานให้กับบริษัท **Siemens Limited** ซึ่งเป็นบริษัทที่ให้บริการด้านการบำรุงรักษา รถไฟฟ้าให้กับระบบขนส่งมวลชนกรุงเทพ (BTS) จึงขอขอบพระคุณ คุณยรรยง ตันศิริ ผู้จัดการแผนกซ่อมบำรุง คุณชัยมงคล ศรีจันทร์ ผู้ช่วยผู้จัดการแผนกซ่อมบำรุง บริษัท **Siemens Limited** และเพื่อนร่วมงานทุกท่านที่ให้ความช่วยเหลือด้วยดีตลอด ทั้ยนี้ผู้วิจัยได้ขอกราบขอบพระคุณ บิความารดา ที่สนับสนุนการศึกษาของผู้วิจัย และขออภัยให้กำลังใจเสมอมาทำให้สามารถฝ่าฟัน อุปสรรคนานาประการจนสำเร็จ ประโยชน์นี้อันได้จากการวิจัยของเป็นกตัญญูตามที่ได้วิความารดา ครูอาจารย์ตลอดจนผู้มีพระคุณทุกท่าน

สุริยา สารมาตย์

9 มีนาคม 2553

สารบัญ

	หน้า
บทคัดย่อภาษาไทย	ก
บทคัดย่อภาษาอังกฤษ	ข
กิตติกรรมประกาศ	ค
สารบัญ	ง
สารบัญตาราง	น
สารบัญรูป	ช
คำอธิบายสัญลักษณ์และคำย่อ	ฉ
บทที่ 1 บทนำ	1
1.1 ความเป็นมาและความสำคัญของปัจจุหา	1
1.2 ครอบแนวคิดในงานวิจัย	2
1.3 สมมติฐานของงานวิจัย	3
1.4 วัตถุประสงค์ของงานวิจัย	4
1.5 ขอบเขตของงานวิจัย	4
1.6 ขั้นตอนการดำเนินงานวิจัย	4
1.7 ข้อจำกัดของงานวิจัย	5
บทที่ 2 ทฤษฎีที่เกี่ยวข้องและทบทวนวรรณกรรม	6
2.1 บทนำ	6
2.2 การสั่นสะเทือน (Vibration)	6
2.3 ทฤษฎีการวิเคราะห์สัญญาณ	10
2.4 ทบทวนวรรณกรรม	21
บทที่ 3 วิธีดำเนินงานวิจัย	24
3.1 การจำแนกระดับความเสียหาย	25
3.2 วิธีการดำเนินงานในการจำแนกความเสียหาย	26
3.3 การวิเคราะห์การสั่นสะเทือน (Vibration Analysis)	31
3.4 วิธีดำเนินการวัดการสั่นสะเทือน	32
3.5 การวิเคราะห์ความเสียหาย	39
บทที่ 4 ผลการทดลอง	41
4.1 บทนำ	41
4.2 ผลจากการจำแนกตัวลูกปืน	41

สารบัญ (ต่อ)

	หน้า
4.3 ผลจากการวัดการสั่นสะเทือน	42
4.4 ผลจากการเปรียบเทียบระดับการสั่นสะเทือนของคลับลูกปืน Class ต่างๆ	44
4.5 การวิเคราะห์ความเสี่ยงและประเมินหากอุบัติเหตุการใช้งาน	48
4.6 สรุปผลจากการทดลอง	60
บทที่ 5 สรุปผลงานวิจัยและข้อเสนอแนะ	62
5.1 สรุปผลงานวิจัย	62
5.2 ข้อเสนอแนะ	63
เอกสารอ้างอิง	64
ภาคผนวก	66
ก อุปกรณ์และมาตรฐานในการวัดการสั่นสะเทือน	66
ข วิธีการใช้งานโปรแกรมวิเคราะห์การสั่นสะเทือนเบื้องต้น	71
ค แสดงการเปรียบเทียบกราฟในพังก์ชันต่างๆ	83
ง ผลงานวิจัยที่ได้รับการตีพิมพ์	96
ประวัติผู้เขียน	106

สารบัญตาราง

ตารางที่	หน้า
3.1 ข้อมูลที่ใช้ในการวัดคลับลูกปืน	37
3.2 ข้อมูลของตัวรถไฟฟ้า	37
3.3 ข้อมูลทั่วไปของคลับลูกปืนจากผู้ผลิต SKF เบอร์ 1639590A แบบ Taper Roller Bearing Unit (TBU)	38
3.4 รายละเอียดของคลับลูกปืนที่ใช้ในการทดสอบ	38
4.1 อายุการใช้งานที่เหลืออยู่หลังจากผ่านการบำรุงรักษา	42
4.2 ค่าการสั่นสะเทือนของคลับลูกปืนในหน่วยความเร็ว (mm/s) Class New จำนวน 96 ลูก หรือรถไฟฟ้า 4 ขบวน	45
4.3 ค่าการสั่นสะเทือนของคลับลูกปืนในหน่วยความเร็ว (mm/s) Class A จำนวน 96 ลูก หรือรถไฟฟ้า 4 ขบวน	45
4.4 ค่าการสั่นสะเทือนของคลับลูกปืนในหน่วยความเร็ว (mm/s) Class B จำนวน 48 ลูก หรือรถไฟฟ้า 2 ขบวน	46
4.5 ค่าการสั่นสะเทือนของคลับลูกปืนในหน่วยความเร็ว (mm/s) Class C จำนวน 6 ลูก	46
4.6 ค่าจากการวัดการสั่นสะเทือนของคลับลูกปืนที่เกิดความเสียหายก่อนการบำรุงรักษา ^{โดยมีหน่วยเป็น mg (หน่วยความแรง)}	56
4.7 ค่าจากการวัดการสั่นสะเทือนของคลับลูกปืนที่เกิดความเสียหายหลังการบำรุงรักษา ^{โดยมีหน่วยเป็น mg (หน่วยความแรง)}	57

สารบัญรูป

รูปที่	หน้า
1.1 องค์ประกอบของปั๊มหัวที่เป็นกรอบแนวคิดในงานวิจัย	2
1.2 แนวคิดในการวิเคราะห์การสั่นสะเทือน	3
2.1 ลักษณะของการสั่นสะเทือน	7
2.2 Damped Force Vibration System	7
2.3 รูปแบบการเคลื่อนที่ลักษณะแบบเป็นคาน	9
2.4 สัญญาณการสั่นสะเทือนในรูปกราฟโดยเมนเวลา (Time Domain) และกราฟโดยเมนความถี่ (Spectrum Domain)	10
2.5 กราฟการขัด	12
2.6 กราฟความเร็ว	13
2.7 กราฟความเร่ง	13
2.8 ความสัมพันธ์ของหน่วยสัญญาณการสั่นสะเทือน	15
2.9 กราฟโดยเมนเวลาที่ประกอบไปด้วยความถี่ซ้อนกันหลายความถี่	15
2.10 ความสัมพันธ์ของการสั่นสะเทือนบน โดยเมนเวลา กับ โดยเมนความถี่	16
2.11 ความคลายอิจฉาริยาที่ใช้แสดงผลของความถี่บนจอ	16
2.12 ตลับลูกปืนแบบ Taper Roller Bearing	17
2.13 ลักษณะสเปกตรัมที่เกิดการชำรุดทั้ง 4 ขั้นตอน	19
2.14 ขั้นตอนการปรับปรุงสัญญาณแบบ Demodulation Enveloping	20
3.1 ขั้นตอนการดำเนินงานวิจัยโดยรวม	24
3.2 ความสัมพันธ์ระหว่างอัตราการชำรุดและเวลาการใช้งาน	26
3.3 ลักษณะความเสียหายที่ผิวมีการหลุดออกเป็นชิ้นเล็กๆ เนื่องจากความล้า	27
3.4 ลักษณะความเสียหายเนื่องจากสิ่งปนเปื้อน	27
3.5 ลักษณะความเสียหายจากการขาดสารหล่อลื่น โดยมีการเปลี่ยนสีของผิว	28
3.6 เครื่องวัดเคลือร์แรร์ช	28
3.7 ภาพวัดตลับลูกปืน	28
3.8 ภาพถ่ายแสดงความลึกและการมองด้านข้าง	29
3.9 ภาพขยายความละเอียดขนาด $10 \mu m$	29
3.10 ภาพขยายบริเวณความเสียหายโดยที่ยับเบอร์เช็นต์ความเสียหายต่อพื้นที่ผิวที่รับการ	30
3.11 บริเวณ Load Zone	30
3.12 การหาพื้นที่ความเสียหายบริเวณ Load Zone	30

สารบัญ (ต่อ)

รูปที่	หน้า
3.13 ขั้นตอนในการวิเคราะห์การสั่นสะเทือน	31
3.14 เครื่องกลึงล้อ (Under Floor Wheel Lathe)	32
3.15 ชุดตันกำลังในการขับเคลื่อน	33
3.16 ชุดอุปกรณ์ในการควบคุมเครื่องกลึงล้อ	33
3.17 เครื่องมือวัดและบันทึกผลการสั่นสะเทือน	34
3.18 คอมพิวเตอร์ที่ใช้ในงานวิจัย	34
3.19 ซอฟแวร์ที่ใช้ในการวิเคราะห์ผล	35
3.20 การติดตั้งหัววัดในแนวแกนและแนวราศมี (Axial, Radial)	36
3.21 ตำแหน่งที่ติดตั้งตัวลับลูกปืนในขวนรถ	36
3.22 ความถี่จากการวัด	39
3.23 สัญญาณความเสียงหายของตัวลับลูกปืน	40
4.1 ความเร็วรอบที่มีผลต่อค่าการสั่นสะเทือน	42
4.2 ผลในช่วงความถี่สูงและช่วงความถี่ต่ำ	43
4.3 ความละเอียดในการแสดงผล	44
4.4 การเปรียบเทียบระดับการสั่นสะเทือนของตัวลับลูกปืนแต่ละ Class ที่ความเร็วรอบ 150 RPM	47
4.5 กราฟแนวโน้ม	47
4.6 กราฟความถี่ใน Time Domain ของตัวลับลูกปืนแต่ละ Class ที่ความเร็วรอบ 150 RPM	49
4.7 การคำนวณหาความถี่ของชิ้นส่วน	51
4.8 ขั้นตอนในการแสดงความถี่ของชิ้นส่วน	52
4.9 การอ่านค่าความถี่ของชิ้นส่วนในกราฟแสดงผล	53
4.10 กราฟความถี่ใน Spectrums Domain ของชิ้นส่วนต่างๆ ที่ความเร็วรอบ 150 RPM	54
4.11 ความสัมพันธ์ระหว่างความถี่ของชิ้นส่วนกับพื้นที่ความเสียงบริเวณผิวที่รับการ	55
4.12 ความสัมพันธ์ระหว่างความถี่ใน Time Domain กับพื้นที่ความเสียงบริเวณผิวที่รับการ	55
4.13 กราฟประเมินอายุการใช้งาน	58
4.14 ความคาดเคลื่อนของความถี่ที่ได้จากการวัดค่าจริงและผลจากการคำนวณ	59
4.15 ความเสียงหายต่อพื้นที่ผิวที่รับการในแนวนอกประมาณ 10, 30, 80 และ 100%	59

คำอธิบายสัญลักษณ์และคำย่อ

BPFO	Ball Pass Frequency Outer
BPFI	Ball Pass Frequency Inner
BSF	Ball Spin Frequency
CPM	Circle Per Minute
CPS	Circle Per Second
FTF	Fundamental Cage (Train) Frequency
FFT	Fast Fourier Transform
MTBF	Mean Time Between Failures
RPM	Round Per Minute
RMS	Root Mean Square
SEE	Spectral Emitted Energy
TBU	Taper Roller Bearing Unit



บทที่ 1

บทนำ

1.1 ความเป็นมาและความสำคัญของปัจจุบัน

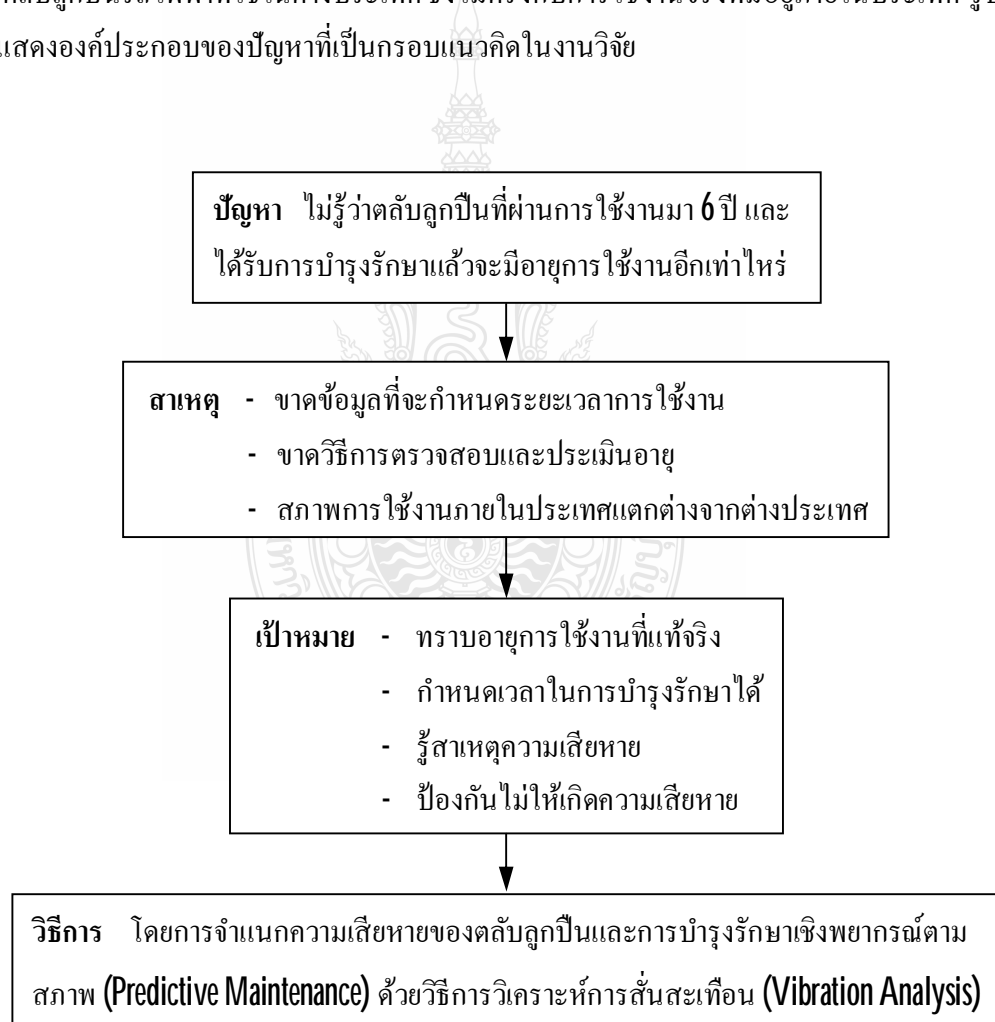
ในปัจจุบันการบำรุงรักษาอิเล็กทรอนิกส์ (BTS) นั้น ได้นำกลยุทธ์งานบำรุงรักษาเชิงพยากรณ์ (Predictive Maintenance) หรือการบำรุงรักษาแบบให้ความไว้วางใจสูง (Reliability Base Maintenance) มาใช้ในโรงซ่อมบำรุงอิเล็กทรอนิกส์อย่างจริงจัง การบำรุงรักษาดังกล่าวจะเน้นการติดตามสภาพของเครื่องจักร (Machine Health Condition Monitoring) เป็นระยะโดยใช้วิธีต่างๆ อาทิเช่นการวิเคราะห์สภาพการสึกหรอของชิ้นส่วนเครื่องจักรกลโดยการวิเคราะห์น้ำมัน (Spectrometer Oil Analysis) การวิเคราะห์ด้วยคลื่นเสียงความถี่สูง (Ultrasonic Testing) หรือการวิเคราะห์การสั่นสะเทือน (Vibration Analysis) ซึ่งวิธีการที่ได้รับความนิยมในการตรวจสอบเครื่องจักรนั้น คือการวิเคราะห์การสั่นสะเทือนเนื่องจากเป็นเทคโนโลยีที่สามารถทำนายความเสียหายของเครื่องจักร [1] เช่นการเสียสมดุล (Unbalance) การเอียงศูนย์ (Misalignment) การสึกหรอของฟันเกียร์ (Worn Gear) และความเสียหายของตลับลูกปืน (Bearing Damage) เป็นต้น

การสั่นสะเทือนของเครื่องจักรเป็นปรากฏการณ์ที่เกิดขึ้นเนื่องจากข้อบกพร่องต่างๆ ซึ่งข้อบกพร่องแต่ละแบบจะทำให้เกิดการสั่นสะเทือนที่มีลักษณะและความถี่เฉพาะตัว โดยความถี่ที่เกิดขึ้นนั้นสามารถออกสถานะและที่มาของการสั่นสะเทือน สำหรับการวิเคราะห์ตลับลูกปืนซึ่งเป็นชิ้นส่วนหลักทางด้านเครื่องกล [2] ที่จะต้องมีใช้งานอยู่ในทุกเครื่องจักรกลที่มีการเคลื่อนที่แบบหมุน โดยเฉพาะอย่างยิ่ง ตลับลูกปืนแบบ Anti-Friction Bearing ซึ่งประกอบด้วยชิ้นส่วนหลัก 4 ชิ้น คือแหวนนอก (Outer Ring) และใน (Inner Ring) เม็ดลูกปืน (Ball หรือ Roller) และรัง (Cage) ตลับลูกปืนแบบนี้จะมีค่า Clearance ระหว่างชิ้นส่วนต่างๆ ของตัวเองและกับชิ้นส่วนที่ส่วนอยู่น้อยมาก เช่น เพลาหรือเลื่อยของตลับลูกปืนจากเหตุผลดังกล่าวเมื่อเกิดการชำรุดขึ้นที่ตลับลูกปืนจะก่อให้เกิดผลกระทบกับชิ้นส่วนที่ตลับลูกปืนรองรับอยู่ซึ่งนำไปสู่ความเสียหายของเครื่องจักรทั้งระบบ [3] และยังส่งผลกระทบทั้งในด้านความปลอดภัย และความน่าเชื่อถือ ซึ่งผลที่ได้จากการวิเคราะห์นั้นอ่อนมาค่อนข้างถูกต้องทำให้สามารถแก้ไขปัญหาได้รวดเร็ว ประหยัดค่าใช้จ่าย และข้อมูลที่ได้จากการวัดการสั่นสะเทือนยังช่วยในการวางแผนตรวจสอบบำรุงหรือเปลี่ยนอะไหล่ก่อนที่จะเกิดความเสียหายแบบหยุดชะงักในทันทีทันใด (Break Down) ทำให้ลดเวลาในการหยุดเดินรถ และลดต้นทุนการสูญเสียของอุปกรณ์ต่างๆ

1.2 กรอบแนวคิดในงานวิจัย

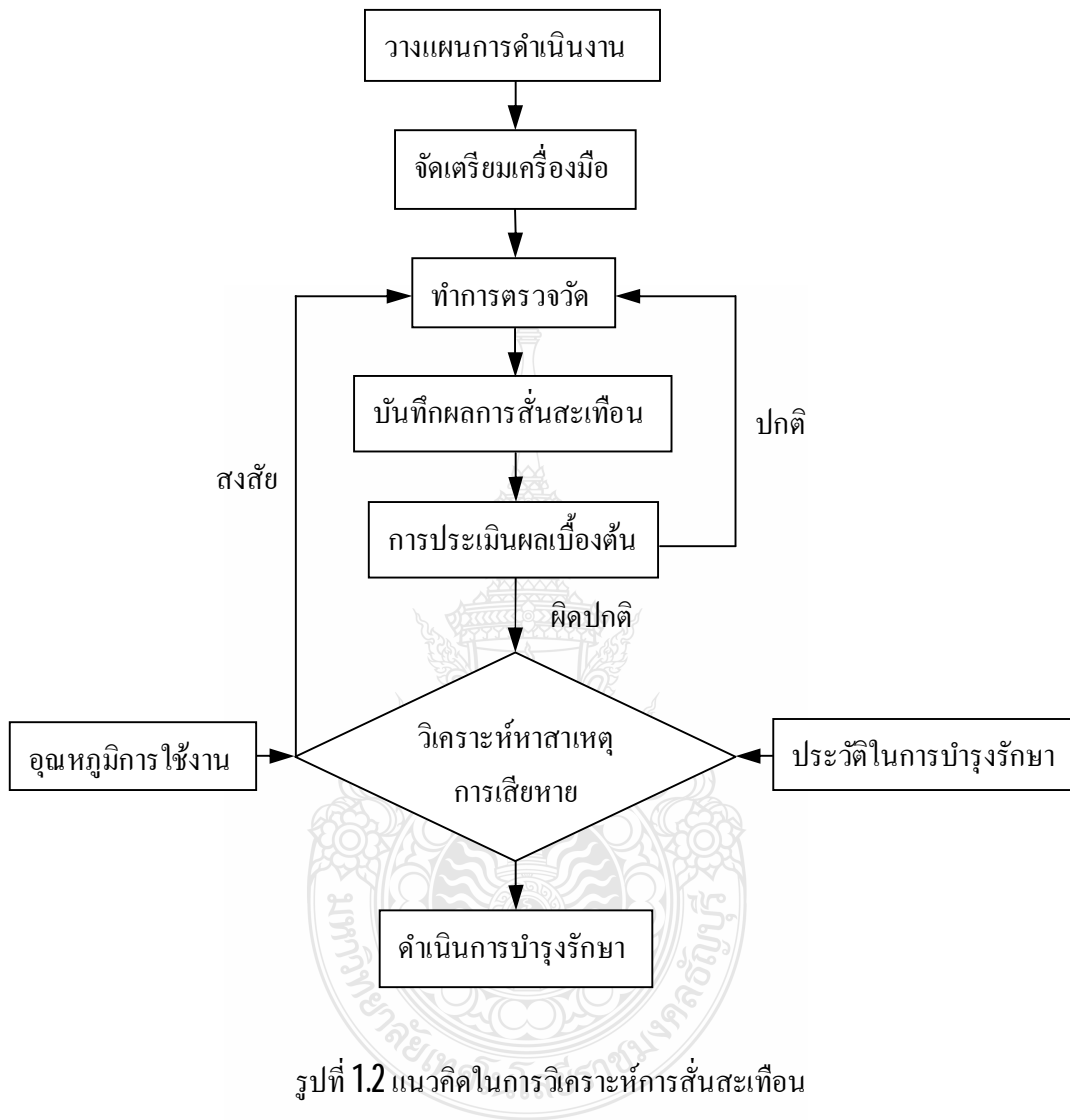
เมื่อรถไฟฟ้าที่ผ่านการใช้งานมาแล้วในระยะหนึ่งก็จำเป็นจะต้องทำการบำรุงรักษาเพื่อให้การใช้งานเป็นไปอย่างมีประสิทธิภาพ และรักษามาตรฐานความปลอดภัย ตัวอย่างเช่น รถไฟฟ้าของ BTS เองซึ่งได้ใช้งานมาเป็นระยะเวลา 6 ปีแล้ว ได้มีการบำรุงรักษาและการตรวจสอบสภาพอยู่สม่ำเสมอ ย้อมเป็นสิ่งจำเป็นเนื่องจากชิ้นส่วนบางชิ้นอาจเกิดข้อบกพร่อง หรือชำรุดก่อนเวลาอันควร หรือจำเป็นที่จะต้องเปลี่ยน เพราะถึงระยะเวลาที่ผู้ผลิตได้แนะนำไว้

โดยทั่วไปการใช้งานคลับลูกปืนสามารถใช้งานได้มากหรือน้อยกว่าอายุการใช้งานที่ผู้ผลิตแนะนำทั้งนี้อาจเนื่องมาจากเงื่อนไขและสภาพการทำงานที่แตกต่างกัน ดังนั้นจึงจำเป็นที่จะต้องมีการศึกษาความเสียหายเพื่อที่จะหาอายุการใช้งานที่แท้จริงของคลับลูกปืน ซึ่งปัจจุบันนี้จะยังคงข้อมูลของคลับลูกปืนรถไฟฟ้าที่ใช้ในต่างประเทศซึ่งไม่ตรงกับการใช้งานจริงที่มีอยู่ภายในประเทศไทย รูปที่ 1.1 แสดงองค์ประกอบของปัญหาที่เป็นกรอบแนวคิดในงานวิจัย



รูปที่ 1.1 องค์ประกอบของปัญหาที่เป็นกรอบแนวคิดในงานวิจัย

กรอบแนวคิดในการวิเคราะห์การสั่นสะเทือน (Vibration Analysis) รูปที่ 1.2 แสดงแนวคิดในการวิเคราะห์การสั่นสะเทือน



รูปที่ 1.2 แนวคิดในการวิเคราะห์การสั่นสะเทือน

1.3 สมมติฐานของงานวิจัย

- 1.3.1 สมมติให้รถไฟฟ้าทุกชนิดมีการรับกระแสไฟฟ้าที่เท่ากันโดยตลอด
- 1.3.2 สภาพแวดล้อมในการวัดการสั่นสะเทือนต้องเหมือนกันทุกริ้ง
- 1.3.3 ไม่มีสัญญาณรบกวนจากภายนอก
- 1.3.4 สมมติให้การเดียหายมีลักษณะที่เหมือนกัน

1.4 วัตถุประสงค์ของงานวิจัย

- 1.4.1 เพื่อจำแนกความเสี่ยหายของตลับลูกปืน โดยอาศัยการระบุเป็นเบอร์เซ็นต์ต่อพื้นที่ผิวที่รับภาระ
- 1.4.2 เพื่อวิเคราะห์ความเสี่ยหายด้วยวิธีการวิเคราะห์การสั่นสะเทือน
- 1.4.3 เพื่อประเมินอายุการใช้งานของตลับลูกปืนก่อนที่จะเกิดความเสี่ยหายขึ้นรุนแรง
- 1.4.4 เพื่อเสนอแนะแนวทางในการบำรุงรักษา

1.5 ขอบเขตของงานวิจัย

- 1.5.1 ตลับลูกปืนที่ใช้ในการทดสอบเป็นตัวที่ได้รับการบำรุงรักษาแล้ว
- 1.5.2 ทำการวัดที่ช่วงความถี่ 0.3-20000 Hz
- 1.5.3 ใช้ความเร็วคงที่ในการวัดคือ 50, 100, 150 รอบต่อนาที
- 1.5.4 ใช้ความละเอียดในการแสดงผลของความถี่ในกราฟ ที่ 1600 และ 3200 Lines
- 1.5.5 ใช้เครื่องมือในการวัดและเก็บข้อมูลของ FAG รุ่น Detector III และ Software สำหรับรูป
- 1.5.6 ทำการวัดค่าการสั่นสะเทือนของตลับลูกปืนบนเครื่องกลึงล้อ (Under Floor Wheel Lathe)
- 1.5.7 ใช้หัววัดการสั่นสะเทือนแบบความเร่ง (Acceleration Transducer)
- 1.5.8 ทำการวัดในแนวแกน และแนวรัศมี
- 1.5.9 วิเคราะห์ความเสี่ยหายใน Time Domain และ Frequency Domain
- 1.5.10 มุมองศาของ Load Zone 100-120 องศา
- 1.5.11 วัดขนาดพื้นที่ความเสี่ยหายที่ผิวบันภาระของหัวนนออก

1.6 ขั้นตอนการดำเนินงานวิจัย

- 1.6.1 จำแนกความเสี่ยหายของตลับลูกปืนหลังจากที่ผ่านการใช้งานมาแล้ว 6 ปี
- 1.6.2 ศึกษาทฤษฎีพื้นฐานการสั่นสะเทือน
- 1.6.3 ศึกษาทฤษฎีที่เกี่ยวข้องกับการวิเคราะห์สัญญาณการสั่นสะเทือนของตลับลูกปืน
- 1.6.4 ทบทวนงานวิจัยที่เกี่ยวข้องและกรณีศึกษา
- 1.6.5 เก็บข้อมูลสัญญาณการสั่นสะเทือนของตลับลูกปืนที่ยังไม่มีการสึกหรอ และตลับลูกปืนที่มีการสึกหรอในระดับต่าง ๆ
- 1.6.6 เปรียบเทียบผลของสัญญาณและวิเคราะห์ความเสี่ยหาย
- 1.6.7 ประเมินอายุการใช้งานของตลับลูกปืน
- 1.6.8 สรุปผลการทดลองและข้อเสนอแนะ

1.7 ข้อจำกัดของงานวิจัย

- 1.7.1 ข้อจำกัดของความเร็วรองที่ใช้วัดค่าอนข้างตัว เนื่องจากขึ้นกับขีดจำกัดของเครื่องกลึงล้อ
- 1.7.2 ต้องใช้ระยะเวลาและคลบลูกปืนจำนวนมาก เนื่องจากเป็นการศึกษาจากการใช้งานจริง
- 1.7.3 ต้องกลึงล้อก่อนทุกครั้งที่จะวัดค่าการสั่นสะเทือน
- 1.7.4 ผู้วิเคราะห์ความเสียหายควรจะต้องผ่านการฝึกอบรม



บทที่ 2

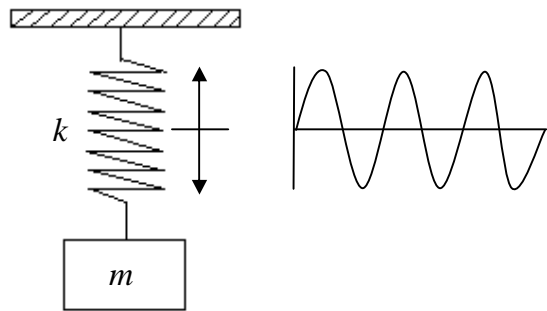
ทฤษฎีเกี่ยวกับและทบทวนวรรณกรรม

2.1 บทนำ

ในการวิเคราะห์การสั่นสะเทือนนั้นจำเป็นที่จะต้องทราบทฤษฎีพื้นฐานและที่มาของการสั่นสะเทือน ซึ่งเป็นปรากฏการณ์ของการเคลื่อนที่กลับไปกลับมาของวัตถุภายในตัวเรามาก่อนที่เราจะทำ ซึ่งอาจเป็นแรงภายในหรือแรงภายนอกก็ได้ โดยทั่วไปแล้วการสั่นสะเทือนเป็นสิ่งที่เราไม่ต้องการ แต่หลักเลี้ยงไม่ได้ อย่างดีที่สุดก็คือการพยายามจำกัดขนาดของการสั่นสะเทือนให้อยู่ในขอบเขตที่ยอมรับได้ สำหรับเครื่องจักรแล้ว การสั่นสะเทือนอาจเกิดได้หลายสาเหตุ เช่น การไม่สมดุลของเครื่องจักรที่หมุน การเคลื่อนที่ของชิ้นส่วนของเครื่องจักรตามแนวเส้นตรง การขัดติกันระหว่างชิ้นส่วนสองชิ้น การหลุดหลวยของชิ้นส่วนของเครื่องจักรเป็นต้น ซึ่งการสั่นสะเทือนเหล่านี้มักมีผลต่อสมรรถนะและสภาพการใช้งานของเครื่องจักร ดังนั้นในการทำให้เครื่องจักรทำงานมีประสิทธิภาพสูงสุดนั้นจำเป็นต้องมีความเข้าใจถึงพื้นฐานของการสั่นสะเทือนเพื่อที่จะได้สามารถวิเคราะห์ปัญหาและแก้ไขได้ถูกต้อง

2.2 การสั่นสะเทือน (Vibration)

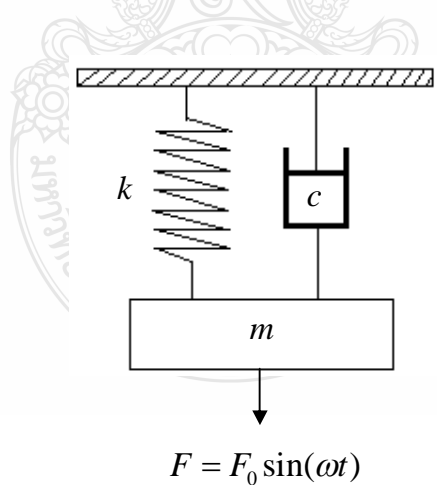
คือการเคลื่อนที่ของวัตถุรอบๆ จุดสมดุลในช่วงเวลาหนึ่งของการเคลื่อนที่ ไม่ว่าการเคลื่อนที่รอบจุดสมดุลนั้นจะเกิดขึ้นในแบบการเคลื่อนที่กลับไปกลับมาหรือจะเป็นการแกว่ง (Oscillation) รอบจุดสมดุลก็ตาม ตัวอย่างเช่น การแกว่งตัวของลูกตุ้มนาฬิกาหรือการเคลื่อนที่ของก้อนมวลที่ติดอยู่กับสปริงเป็นต้น ถ้าเราสามารถมองเห็นการเคลื่อนที่แบบสั่นในลักษณะที่ช้ามากๆ ได้เราจะพบว่าแบบของการเคลื่อนที่ในทิศทางที่ต่างกันขึ้นอยู่กับระยะ หรือความเร็วในการเคลื่อนที่ของวัตถุนั้นๆ รอบดำเนินหนึ่งหนึ่งซึ่งจะทำให้เรานั้นลักษณะรูปแบบเฉพาะของการเคลื่อนที่แบบสั่นได้ [4] รูปที่ 2.1 แสดงลักษณะของการสั่นสะเทือน ในรูปที่ 2.1 แสดงลักษณะของการสั่นสะเทือนของเครื่องจักรนั้น จำเป็นที่จะต้องเข้าใจพื้นฐานและองค์ประกอบต่างๆ เช่น โดเมนเวลา (Wave Form หรือ Time Domain) โดเมนความถี่ (Spectrum Domain) ความถี่ (Frequency) และพลิจูด (Amplitude) และการแปลงฟูรีเยร์อย่างเร็ว (Fast Fourier Transform) เป็นต้น ซึ่งองค์ประกอบที่ได้กล่าวมานี้จะนำไปใช้ในการอธิบายการเคลื่อนที่แบบสั่นในลักษณะต่างๆ ซึ่งมีความจำเป็นที่จะต้องใช้ในการวิเคราะห์ความเสียหายเนื่องจากความซับซ้อนของเครื่องจักรที่มีชิ้นส่วนจำนวนมาก ซึ่งจะก่อให้เกิดสัญญาณการสั่นสะเทือนที่ส่งออกมาร่วมกันโดยผู้วิเคราะห์จะต้องสามารถแยกแยะลักษณะการสั่น และบอกถึงสาเหตุที่มาได้



รูปที่ 2.1 ลักษณะของการสั่นสะเทือน

2.2.1 การสั่นแบบมีแรงกระทำและตัวหน่วง (Force Vibration - Damped)

สำหรับระบบการสั่นสะเทือนที่มีแรงกระทำจากภายนอกร่วมกับตัวหน่วง รูปที่ 2.2 แสดงการสั่นที่มีแรงกระทำจากภายนอกและตัวหน่วง (Damped Force Vibration System) โดยการเคลื่อนที่ของมวล m (Mass) ซึ่งประกอบด้วยสองส่วนสำคัญคือ การสั่นแบบอิสระที่มีการหน่วงที่ความถี่ธรรมชาติ และการเคลื่อนที่แบบคงตัวในรูปชาร์มอนิกที่ความถี่ตามการกระทำของแรง ความถี่ธรรมชาติของวัตถุที่เกิดจากการหน่วงจะลดลงอย่างรวดเร็ว แต่สำหรับกรณีความถี่แบบชาร์มอนิก (Harmonic) ที่เกิดจากแรงกระทำจากภายนอกจะดำเนินต่อไปตราบเท่าที่ยังคงมีพลังงานจากแรงที่กระทำอยู่ [5]



รูปที่ 2.2 Damped Force Vibration System

สำหรับสมการของการสั่นแบบที่มีแรงกระทำจากภายนอกและมีความหน่วงด้วยนี้ ให้พิจารณาจากสมการของการสั่นแบบอิสระที่มีความหน่วง โดยเปลี่ยนเทอมด้านขวาเมื่อจากค่า 0 เป็นพังก์ชันของแรงคือ $F_0 \sin(\omega t)$ ดังแสดงในสมการที่ 2.1[6]

$$m\ddot{x} + c\dot{x} + kx = F_0 \sin(\omega t) \quad (2.1)$$

โดยที่ $\omega_n = \sqrt{k/m}$ และ $\zeta = c/2m\omega_n$ สามารถเขียนสมการใหม่ได้ดังสมการ 2.2

$$\ddot{x} + 2\zeta\omega_n\dot{x} + \omega_n^2 x = \frac{F_0}{m} \sin(\omega t) \quad (2.2)$$

สำหรับการสั่นแบบมีแรงม้ากระทำจากภายนอกนั้น พนว่ามีความถี่ที่แตกต่างกันไป
ออกได้เป็น 3 รูปแบบที่สำคัญดังสมการที่ 2.3, 2.4 และ 2.5

-ความถี่ธรรมชาติไม่มีความหน่วง (Undamped Natural Frequency)

$$\omega_n = \sqrt{\frac{k}{m}} \quad (2.3)$$

-ความถี่ธรรมชาติโดยมีความหน่วง (Damped Natural Frequency)

$$\omega_d = \sqrt{1 - \zeta^2} \quad (2.4)$$

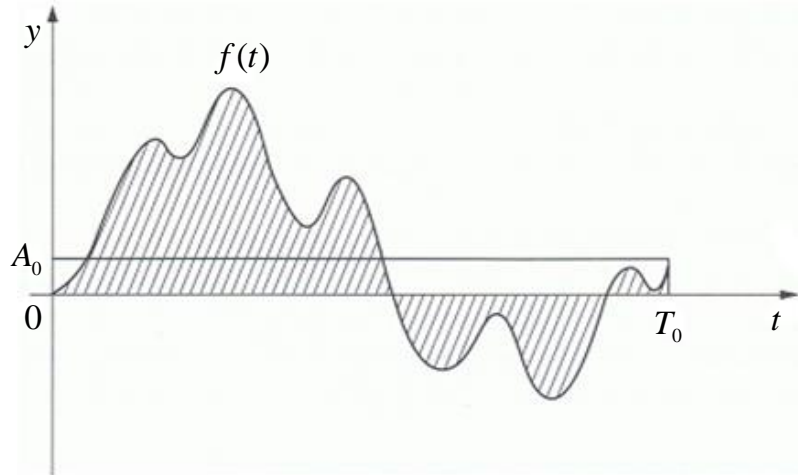
-ความถี่สั่นพ้อง (Resonance Frequency)

$$\omega = \omega_n \quad (2.5)$$

2.2.2 การแปลงสัญญาณฟูริเยร์ (Fourier Transform)

การสั่นสะเทือนที่ได้ก่อขึ้นแล้วนั้น จะเป็นการสั่นสะเทือนแบบชาร์มอนิกโดยเป็นไปตามขนาดและลักษณะของแรงที่มีการระดับ และสัญญาณที่แสดงผลออกมายังอยู่ในรูปของกราฟโดยเมื่อเวลา ซึ่งแกนตั้งจะเป็นแกนของขนาดการสั่นสะเทือน ส่วนแกนนอนจะเป็นแกนของเวลาที่ผ่านไป ถ้าทำการวิเคราะห์สภาพของเครื่องจักรกราฟโดยเมื่อเวลาแล้ว จะทำการแยกแยะความถี่ค่อนข้างยาก ยิ่งถ้าเครื่องจักรนั้นมีขั้นส่วนประกอบจำนวนมากและมีความซับซ้อนแล้ว ก็จะทำให้การวิเคราะห์นั้นยากลำบากมากยิ่งขึ้น ในหัวข้อนี้จะอธิบายถึงวิธีการที่จะแปลงกราฟจากรูปแบบโดยเมื่อของเวลามาเป็นกราฟในรูปแบบโดยเมื่อของความถี่ เพื่อให้ง่ายต่อการวิเคราะห์โดยใช้การแปลงสัญญาณแบบฟูริเยร์ซึ่งเป็นการแปลงจากสัญญาณการสั่นสะเทือนที่ความถี่ต่างๆ กันหลายความถี่ ซึ่งจะทำให้มองเห็นความถี่ได้ละเอียดและสามารถตรวจสอบถึงต้นเหตุของความเสียหายของเครื่องจักรได้ การวิเคราะห์สัญญาณการสั่นสะเทือนบนโดยเมื่อของความถี่คือการวิเคราะห์แบบスペกตรัม ซึ่งจะกล่าวถึงการแปลงสัญญาณแบบฟูริเยร์โดยทำการแปลงสัญญาณลักษณะจากกราฟโดยเมื่อเวลามาเป็นสัญญาณบนโดยเมื่อของความถี่ หรือที่เรียกว่ากราฟスペกตรัม โดยกำหนดให้ $f(t)$ จากรูปที่ 2.3 เป็น

การเคลื่อนที่แบบเป็นค่าแล้ว จะทำให้สามารถเขียนสมการของ $f(t)$ ในรูปแบบสมการฟูริเยร์ (Fourier Transform) ได้ดังสมการ 2.5



รูปที่ 2.3 รูปแบบการเคลื่อนที่ลักษณะแบบเป็นค่า

$$f(t) = A_0 + \sum_{k=0}^{\infty} a_k \cos(\omega_k t) + \sum_{k=1}^{\infty} b_k \sin(\omega_k t) \quad (2.5)$$

และค่าสัมประสิทธิ์ต่างๆ หาได้จาก

$$A_0 = \frac{1}{T_0} \int_0^{T_0} f(t) dt$$

$$a_k = \frac{2}{T_0} \int_0^{T_0} f(t) \cos(k\omega_0 t) dt$$

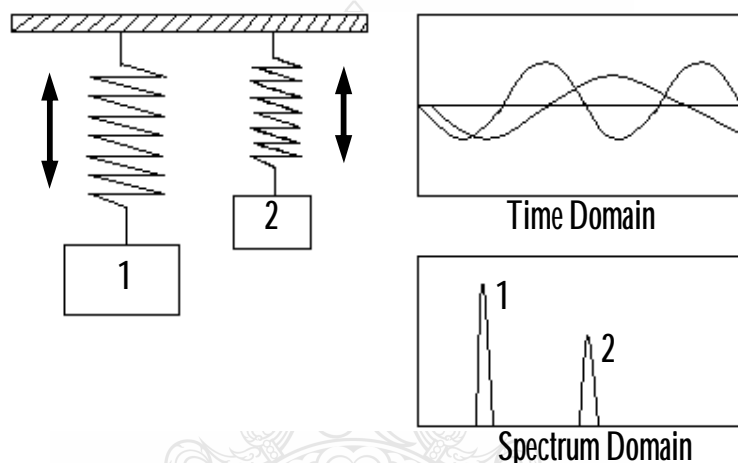
$$b_k = \frac{2}{T_0} \int_0^{T_0} f(t) \sin(k\omega_0 t) dt$$

โดยสมการสำหรับการแปลงสัญญาณแบบฟูริเยร์นี้ ซึ่งเป็นสมการทางคณิตศาสตร์ที่ค่อนข้างซับซ้อน แต่ในปัจจุบันได้มีการพัฒนารูปแบบของโปรแกรมคอมพิวเตอร์ เพื่ออำนวยความสะดวก สะดวกและรวดเร็วต่อการนำไปใช้งาน ในปัจจุบันได้มีบริษัทผู้ผลิตเครื่องมือวัดการสั่นสะเทือนหลายบริษัท ทำการบรรจุสมการสำหรับการแปลงสัญญาณการสั่นสะเทือนโดยใช้สมการของ

ฟูริเยร์ไว้ในซอฟแวร์ของเครื่องวัดทำให้ผู้ใช้งานโดยทั่วไปไม่ต้องทำการแปลงสัญญาณเอง ซึ่งเครื่องมือดังกล่าวเรียกว่า เครื่องวิเคราะห์แบบ FFT (Fast Fourier Transform)

2.2.3 การแปลงสัญญาณฟูริเยร์แบบเร็ว (Fast Fourier Transform: FFT)

เป็นขั้นตอนการคำนวณโดยการใช้โปรแกรมคอมพิวเตอร์เข้ามาช่วย ในการคำนวณทางคณิตศาสตร์นี้จะใช้รูปแบบของสมการ FFT เพื่อที่จะทำการแยกความถี่หลายๆ ความถี่ที่รวมกันบนโดเมนเวลาออกมาแสดงแต่ละความถี่ในโดเมนความถี่ หรือที่เรียกว่ากราฟスペกตรัม (Spectrum Plot) โดยมีขั้นตอนของการทำงานดังรูปที่ 2.4



รูปที่ 2.4 สัญญาณการสั่นสะเทือนในรูปกราฟโดเมนเวลา (Time Domain) และกราฟโดเมนความถี่ (Spectrum Domain)

2.3 ทฤษฎีการวิเคราะห์สัญญาณ

การวิเคราะห์การสั่นสะเทือนในเครื่องจักรกลนั้น ก่อนอื่นควรทำความเข้าใจรูปแบบของกราฟแสดงผลของการสั่นสะเทือนของเครื่องจักร ซึ่งถ้าไม่เข้าใจความหมายและความเป็นมาของกราฟแล้ว การที่จะทำการวิเคราะห์หาความเสียหายของเครื่องจักรก็จะเป็นไปได้ยากลำบาก ซึ่งทำให้ผลการวิเคราะห์ที่ได้นั้นไม่สามารถระบุปัญหาที่แท้จริงของเครื่องจักรได้ กราฟแสดงผลของการสั่นสะเทือนที่จะนำมาวิเคราะห์หาความเสียหายของเครื่องจักรกล [7] ซึ่งจะประกอบด้วยกราฟโดเมนเวลา (Time Domain Plot) กราฟスペกตรัม (Spectrum Plot) กราฟแนวโน้ม (Trend Plot) นอกจากกราฟแสดงผลแล้ว ยังมีพารามิเตอร์ที่สำคัญของการสั่นสะเทือน ซึ่งประกอบด้วยความถี่ (Frequency) ขนาดของการสั่นสะเทือน (Amplitude) มุมเฟส (Phase) ซึ่งเป็นพารามิเตอร์หลักของการสั่นสะเทือน เพื่อช่วยในการวิเคราะห์การสั่นสะเทือนของเครื่องจักรกล

2.3.1 การสั่นสะเทือนของเครื่องจักร

เครื่องจักรกลแบบหมุนทุกชนิดจะมีการสั่นสะเทือน และต้นเหตุของการสั่นสะเทือนก็คือปัญหาต่างๆ ในเครื่องจักรเอง เช่น การไม่สมดุล การเขี้ยวแแนวแกน การเขื่องศูนย์ ความเสียหายในตัวลูกปืน ความเสียหายของชุดเฟือง แต่ละปัญหาในเครื่องจักรจะทำให้เกิดการสั่นสะเทือนที่แตกต่างกัน สเปกตรัมของสัญญาณการสั่นสะเทือนจะแสดงส่วนประกอบของสัญญาณที่ความถี่ต่างๆ เราสามารถแบ่งช่วงความถี่เป็นโดเมนความถี่ออกเป็นสองช่วงๆ โดยที่แต่ละช่วงความถี่จะปรากฏสัญญาณการสั่นสะเทือนของชิ้นส่วนทางกลต่างชนิดกันดังนี้

ก. โดเมนความถี่ต่ำ (**Low Frequency Domain**) เป็นช่วงความถี่ต่ำกว่าชาร์มนิก้อนดับที่สีลิงหอกของความเร็วรอบการหมุนของเพลา สัญญาณนี้จะบอกข้อมูลเกี่ยวกับการไม่สมดุล การเยี้ยงแนวแกน เพลาเอ็น (**Bent Shaft**) ความเสียหายในตัวลูกปืน (**Bearing Damage**) และการหลุดหัวลงทางกล (**Mechanical Looseness**) สัญญาณการสั่นสะเทือนจากสาเหตุเหล่านี้ประกอบไปด้วยชาร์มนิกหรือชันชาร์มนิกของความถี่การหมุนของเพลาที่ประกอบกับชิ้นส่วนที่มีปัญหา

ข. โดเมนความถี่สูง (**High Frequency Domain**) เป็นช่วงความถี่สูง สัญญาณจะบอกข้อมูลที่เกี่ยวกับความเสียหายในเฟือง (**Gear Box**) และความเสียหายในตัวลูกปืน สัญญาณการสั่นสะเทือนของชุดเฟืองประกอบไปด้วยชาร์มนิกของความถี่การขบกันของเฟืองและແບນความถี่ร่อนข้าง ส่วนสัญญาณการสั่นสะเทือนของตัวลูกปืนประกอบไปด้วยความถี่ของແຫວນในความถี่ของແຫວนออกความถี่เม็ดลูกปืน และความถี่ธรรมชาติของตัวลูกปืนและโครงสร้าง เมื่อตรวจพบว่าการสั่นสะเทือนมีระดับสูงนี้ และทราบว่าอยู่ในช่วงพิกัดความถี่ใด ก็อาจจะวิเคราะห์และหาว่าความเสียหายเกิดจากอะไร แต่เนื่องจากความซับซ้อนของสัญญาณซึ่งอาจเกิดจากหลายสาเหตุ ดังนั้นการวิเคราะห์ความถี่ด้วยสเปกตรัมอาจทำได้ลำบาก จึงต้องใช้วิธีการอื่นๆ เข้ามาช่วยในการบ่งชี้สาเหตุของความผิดปกตินี้ ตัวอย่างเช่น การวิเคราะห์ด้วยเซปส์ตรัมซึ่งเป็นวิธีการหนึ่งที่ใช้วิเคราะห์เกี่ยวกับอนุกรมของชาร์มนิกและແບນความถี่ข้างในสเปกตรัม

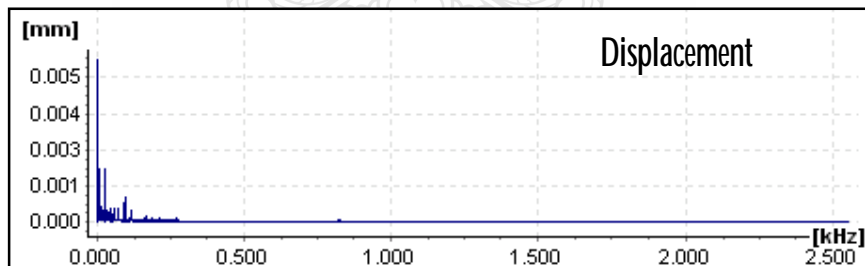
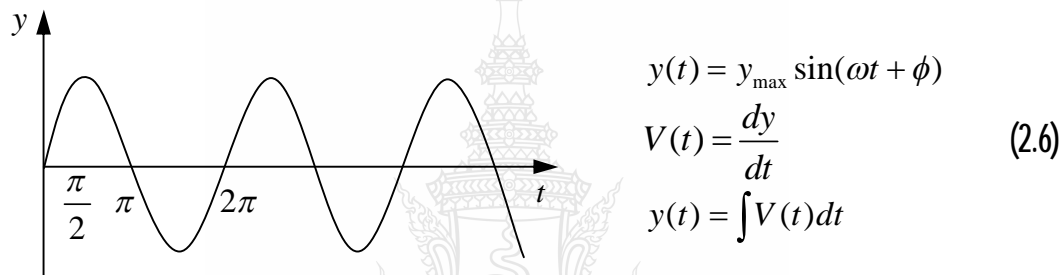
2.3.2 ความถี่ (**Frequency**)

สัญญาณการสั่นสะเทือนบนกราฟโดเมนของความถี่ ในที่นี้ก็คือจำนวนรอบของการสั่นสะเทือนต่อหน่วยเวลา และหน่วยที่นิยมใช้จะเป็นรอบต่อนาที (**CPM**) และบางครั้งใช้เป็นรอบต่อวินาทีหรือนวายเซรตซ์ (**Hz**) ความถี่นี้จะเป็นปัจจัยที่สำคัญมากตัวหนึ่งในการบ่งบอกถึงแหล่งที่มาและปัญหาของเครื่องจักร [8] ซึ่งจะเป็นประโยชน์อย่างมากต่อการวิเคราะห์ถึงปัญหาหรือความเสียหายต่างๆ ในเครื่องจักรกล

2.3.3. ขนาดของการสั่นสะเทือน (Amplitude)

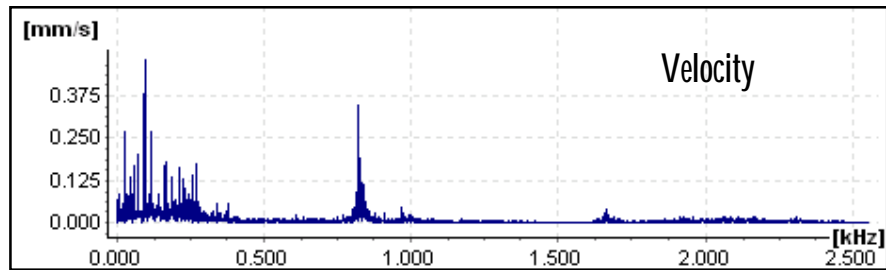
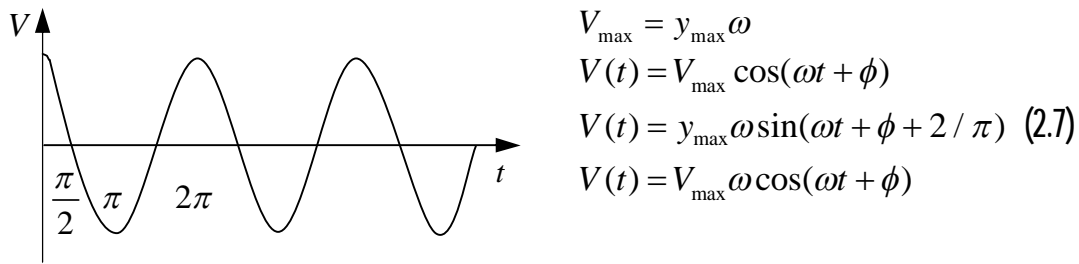
การที่จะบอกรึงระดับความรุนแรงของเครื่องจักรนั้น จะอาศัยการบอกเป็นขนาดของการสั่นสะเทือน ถ้าขนาดของการสั่นสะเทือนมีค่าเพิ่มขึ้นมากเมื่อเทียบกับภาวะปกติแสดงว่าเครื่องจักรนั้นเริ่มมีปัญหา ซึ่งขนาดของการสั่นสะเทือนที่ใช้ในปัจจุบันและเป็นที่นิยมใช้กันมากที่สุดมีอยู่ 3 แบบคือ

ก. การขัดหรือระยะการเคลื่อนที่ (**Displacement**) หมายถึงระยะการเคลื่อนที่ของวัตถุ หรือมวลจากจุดสมดุลเคลื่อนที่ไปสู่จุดที่สูงสุดแล้วเคลื่อนที่ไปสู่จุดที่ต่ำสุด (**Peak to Peak**) ซึ่งเป็นค่าระยะทางทั้งหมดที่วัตถุเคลื่อนที่จากจุดสูงสุดไปสู่จุดต่ำสุด ในแต่ละรอบของการเคลื่อนที่ของวัตถุ น้ำๆ ดังสมการที่ 2.6 และรูปที่ 2.5 ซึ่งแสดงกราฟการขัด



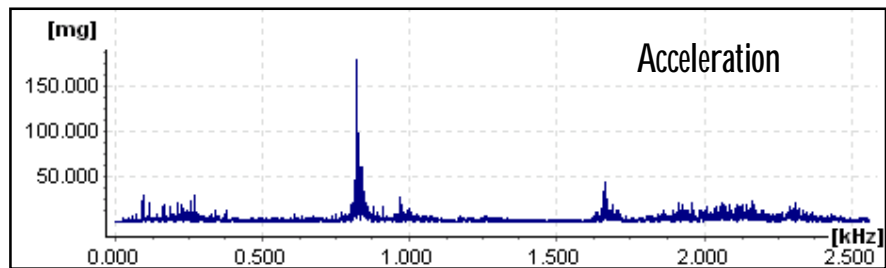
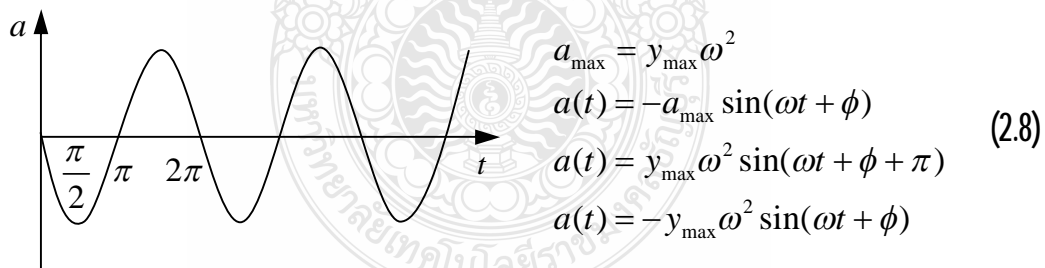
รูปที่ 2.5 กราฟการขัด

ข. ความเร็ว (**Velocity**) หมายถึงความเร็วของการเคลื่อนที่กลับไปกลับมาของวัตถุ วัตถุจะมีความเร็วเป็นศูนย์เมื่อเคลื่อนที่อยู่ที่จุดสูงสุดและต่ำสุด และมีความเร็วสูงสุดในขณะที่เคลื่อนที่ผ่านจุดสมดุล ซึ่งค่าการขัดหรือระยะการเคลื่อนที่มีความสัมพันธ์กับความเร็ว ดังสมการ 2.7 และรูปที่ 2.6 ซึ่งแสดงกราฟความเร็ว



รูปที่ 2.6 กราฟความเร็ว

ค. ความเร่ง (Acceleration) หมายถึงอัตราการเปลี่ยนแปลงความเร็วของวัตถุในขณะวัตถุที่เคลื่อนที่กลับไปกลับมา โดยจะมีค่าสูงสุดเมื่อยื่นในตำแหน่งสูงสุดและต่ำสุดเมื่อผ่านจุดสมดุล ดังสมการ 2.8 และรูปที่ 2.7 ซึ่งแสดงกราฟความเร่ง



รูปที่ 2.7 กราฟความเร่ง

2.3.4 มุมเฟส (Phase)

สำหรับมุมเฟสของการสั่นสะเทือน คือความแตกต่างของตำแหน่งชิ้นส่วนหรือวัตถุที่มีการสั่นสะเทือนชิ้นหนึ่ง เมื่อเทียบกับจุดอ้างอิงหรือชิ้นส่วนที่มีการสั่นสะเทือนอีกชิ้นหนึ่ง ประโยชน์เรื่องมุมเฟสของการสั่นสะเทือนสามารถนำไปใช้ในการวิเคราะห์ความเสียหายของเครื่องจักรได้ เช่น ปัญหาการเยื่องแนวแกนของเพลา ปัญหาการหลุมคลอน ปัญหาความถี่ธรรมชาติของเครื่องจักร เป็นต้น และยังสามารถนำไปประยุกต์ใช้ในการลดปัญหาการสั่นสะเทือนโดยการทำดุลยภาพในเครื่องจักรหมุนอีกด้วย

2.3.5 หน่วยวัดขนาดการสั่นสะเทือน

ดังที่ได้กล่าวไว้ก่อนหน้านี้ ในเรื่องขนาดของการสั่นสะเทือนไม่ว่าจะเป็น การขัดความเร็ว หรือความเร่ง สัญญาณทั้ง 3 แบบนี้จะอยู่ในรูปของคลื่นไอน์ซ์ ซึ่งจะมีทั้งค่าบวกและค่าลบ โดยมีค่าแปรเปลี่ยนตามเวลา สำหรับการนักขนาดของการสั่นสะเทือนจะบอกในลักษณะการสั่นสะเทือนแบบรวม (Overall Vibration) ที่ใช้กันทั่วไปประกอบด้วย

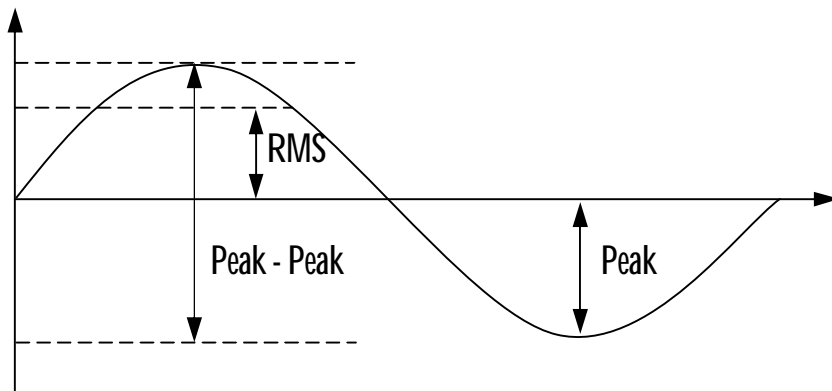
ก. ค่ายอดสูงสุด (Peak) จะบอกค่าระดับสูงสุดของการสั่นสะเทือนที่เบี่ยงเบนไปจากระดับอ้างอิง (ศูนย์) โดยไม่ได้คำนึงถึงลักษณะการสั่นสะเทือนแบบอย่างอื่น ซึ่งค่านี้ส่วนมากจะใช้วัดการสั่นสะเทือนที่เกิดจากการกระแทก ในช่วงเวลาสั้นๆ เช่น การเคาะเพื่อหาค่าความถี่ธรรมชาติของวัตถุ (Bump Test) เป็นต้น

ข. ค่ายอดสูงสุดถึงยอดสูงสุดต้านตรงข้าม (Peak to Peak) เป็นค่าขนาดการสั่นสะเทือนที่วัดจากจุดสูงสุดของคลื่นไอน์กับจุดต่ำสุดของคลื่นไอน์

ค. ค่า RMS (Root Mean Square) เป็นค่าของขนาดการสั่นสะเทือนที่ได้จากการนำค่าที่วัดได้ในโดเมนเวลา (Time Domain) ที่เกิดขึ้นในช่วงหนึ่งๆ มายกกำลังสอง แล้วทำการเฉลี่ยตลอดเวลา และถอดรากที่สองออกมา ดังสมการที่ 2.9

$$x_{rms} = \sqrt{\frac{1}{t} \int_0^t x^2(t) dt} \quad (2.9)$$

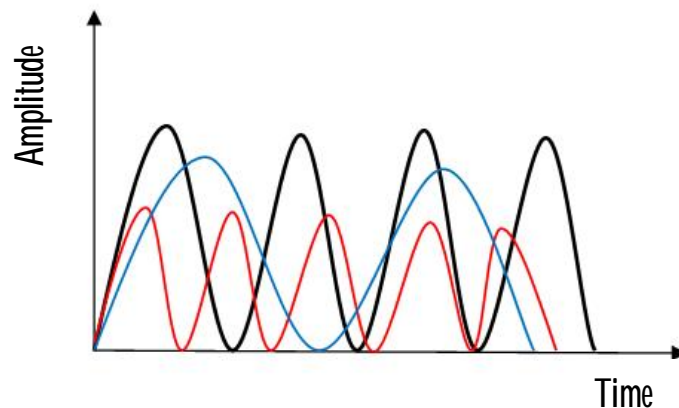
ความสัมพันธ์ของขนาดสัญญาณการสั่นสะเทือนทั้ง 3 แบบ รูปที่ 2.8 แสดงความสัมพันธ์ของหน่วยสัญญาณการสั่นสะเทือน ซึ่งใช้ในการนับสัญญาณการสั่นสะเทือนเป็นแบบชาร์มอนิกสูปไชน์ โดยการสั่นสะเทือนที่มีลักษณะเป็นคลื่นเหล่านี้ก็สามารถแยกออกเป็นผคลรวมของสัญญาณรูปไชน์ ของความถี่ได้ตามทฤษฎีของฟูริเยร์ (Fourier) ดังนั้นความสัมพันธ์และความหมายของหน่วยวัดขนาดสัญญาณการสั่นสะเทือนที่กล่าวมาแล้วสามารถที่จะนำมาประยุกต์ใช้ในการวิเคราะห์ได้



รูปที่ 2.8 ความสัมพันธ์ของหน่วยสัญญาณการสั่นสะเทือน

2.3.6 กราฟโดยเมณเวลา

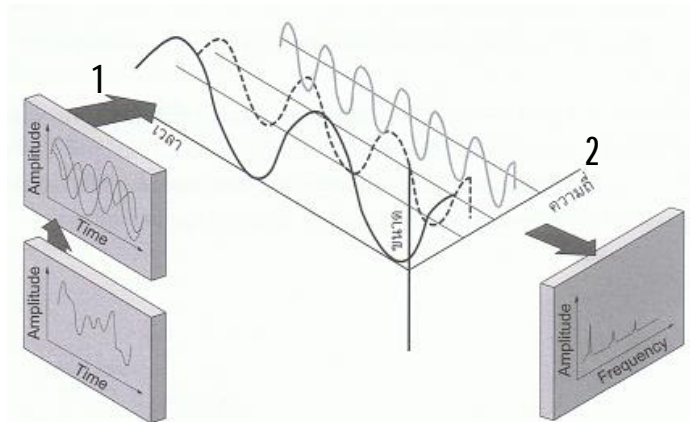
ซึ่งเป็นกราฟที่แสดงความสัมพันธ์ระหว่างค่าขนาดการสั่นสะเทือนกับเวลาโดยแกนนอนจะเป็นแกนของเวลา ส่วนในแกนตั้งจะเป็นขนาดของการสั่นสะเทือน รูปที่ 2.9 แสดงกราฟโดยเมณเวลาที่ประกอบไปด้วยความถี่ซ้อนกันหลายความถี่



รูปที่ 2.9 กราฟโดยเมณเวลาที่ประกอบไปด้วยความถี่ซ้อนกันหลายความถี่

2.3.7 กราฟスペกตรัม

ในกราฟスペกตรัมนี้จะเป็นการแสดงผลการสั่นสะเทือนบนแกนของความถี่ การแสดงผลในลักษณะนี้หากนำไปใช้ในเครื่องวิเคราะห์ความเสียหายในเครื่องจักรกลแล้ว ก็จะทำให้เห็นรายละเอียดของสัญญาณการสั่นสะเทือนได้มากกว่าการวิเคราะห์สัญญาณจากการโดยเมณเวลา เพื่อให้เห็นภาพชัดเจนถึงความสัมพันธ์ของการแปลงสัญญาณจากการโดยเมณเวลาไปสู่สัญญาณบนโดยเมณความถี่ ดังนั้นการมองแบบ 3 มิติ ซึ่งสามารถที่จะอธิบายให้เข้าใจความหมายได้ง่าย และชัดเจน รูปที่ 2.10 แสดงความสัมพันธ์ของการสั่นสะเทือนบนโดยเมณเวลา กับ โดยเมณความถี่

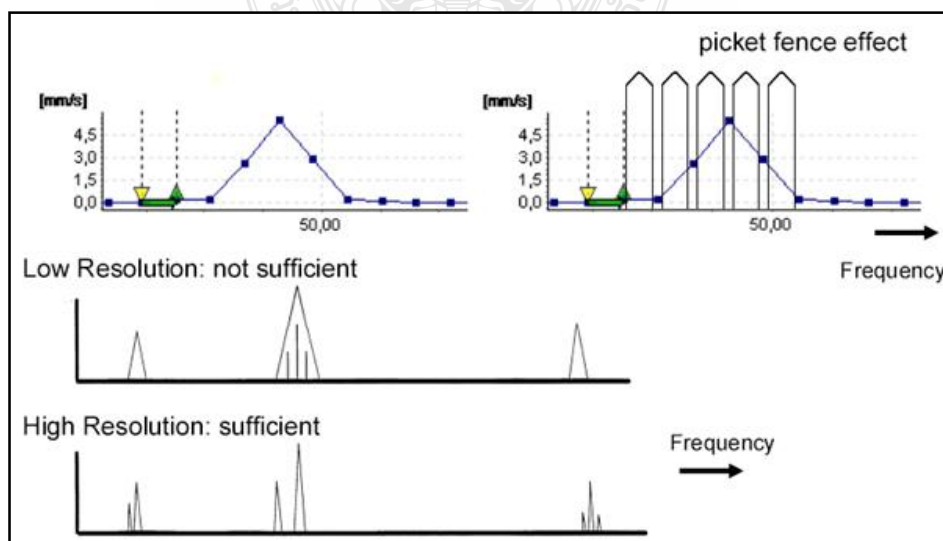


รูปที่ 2.10 ความสัมพันธ์ของการสั่นสะเทือนบนโคล เมนวลา กับ โคล เมนความถี่

ซึ่งขนาดของการสั่นสะเทือนนี้จะเป็นตัวบอกรถึงความรุนแรงของความเสียหายในเครื่องจักรนั้น ถ้าหากขนาดของการสั่นสะเทือนสูงเกินค่ามาตรฐาน ซึ่งจะเป็นสาเหตุทำให้เครื่องจักรนั้นเสียหายเร็วขึ้น โดยในแกนนอนที่ 1 จะเป็นแกนของเวลาและแนวแกนนอนที่ 2 ซึ่งตั้งฉากกับแกนที่ 1 จะเป็นแกนของความถี่ ซึ่งจะบ่งชี้ถึงสาเหตุและที่มาของความเสียหาย

2.3.8 ความละเอียดที่ใช้แสดงผลของความถี่บนจอด (Resolution In The Spectrum)

ความละเอียดในกราฟแสดงผลนี้จะขึ้นอยู่กับค่าจำนวนเส้น (Lines) ที่ได้มีการกำหนดไว้ในตอนแรกจากเงื่อนไขในการวัดอีกทั้งยังขึ้นอยู่กับความสามารถของเครื่องวัดนั้นๆ ด้วย ห้องนี้ในการตั้งค่าให้มีความละเอียดในการแสดงผลที่สูงนั้นก็จะต้องใช้ระยะเวลาในการวัดเพิ่มขึ้น เช่นกัน รูปที่ 2.11 แสดงความละเอียดที่ใช้แสดงผลของความถี่บนจอด [9]



รูปที่ 2.11 ความละเอียดที่ใช้แสดงผลของความถี่บนจอด

2.3.9 ความถี่ของขั้นส่วนในตลับลูกปืน

สัญญาณการสั่นสะเทือนของตลับลูกปืนนั้น จะมีองค์ประกอบจากความถี่ธรรมชาติของตลับลูกปืนและฐานรองรับ (**Natural Frequency of Installed Bearing Components and Supported Structure**) ซึ่งเป็นความถี่โดยรวม ส่วนความถี่เสียหายของตลับลูกปืน (**Damage Frequency of Bearing**) ซึ่งจะมีส่วนประกอบด้วยกัน 4 ส่วนคือ แหวนนอก (**Outer Ring**) แหวนใน (**Inner Ring**) เม็ดลูกปืน (**Roller**) และตัวรัง (**Cage**) ดังรูปที่ 2.12 แสดงตลับลูกปืนแบบ **Taper Roller Bearing** เมื่อตลับลูกปืนเกิดความเสียหายจะก่อภัยเดินความถี่ออกมานี้เป็น 4 ความถี่ด้วยกันคือค่า **BPFO**, **BPFI**, **BSF** และ **FTF** ซึ่งสามารถคำนวณได้โดยใช้สมการที่ (2.10), (2.11), (2.12) และ (2.13) แต่ในปัจจุบันได้มีการพัฒนาด้านซอฟต์แวร์คอมพิวเตอร์มากขึ้น ทำให้ผู้วิเคราะห์ไม่จำเป็นต้องคำนวณหาค่าด้วยตัวเองเพียงมีเบอร์ของตลับลูกปืน และทำการป้อนข้อมูลเข้าสู่โปรแกรมแปลผลทางสเปกตรัมก็จะได้ค่าความถี่ต่างๆ ของตลับลูกปืน แต่ถึงกระนั้นผู้วิเคราะห์ที่เป็นที่จะต้องรู้และสามารถใช้สมการดังกล่าวได้เพื่อขึ้นชั้นความถูกต้องในการณ์ที่ไม่แน่ใจจากการกำหนดเงื่อนไขในการวัด



รูปที่ 2.12 ตลับลูกปืนแบบ **Taper Roller Bearing**

-สมการในการคำนวณหาความถี่ของขั้นส่วนที่เกิดความเสียหายโดยจะแบ่งพันกับความเร็วรอบ [9]

ความถี่แหวนนอก **Outer Ring Frequency (BPFO)**

$$BPFO = \frac{N_b}{2} \left(1 - \frac{B_d}{P_c} \cos\theta \right) RPM \quad (2.10)$$

ความถี่แหวนใน **Inner Ring Frequency (BPFI)**

$$BPFI = \frac{N_b}{2} \left(1 + \frac{B_d}{P_c} \cos\theta \right) RPM \quad (2.11)$$

ความถี่ของการหมุนเม็ดลูกปืน Ball Spin Frequency (BSF)

$$BSF = \frac{P_d}{2B_d} \left(1 - \left(\frac{B_d}{P_c} \right)^2 \cos^2 \theta \right) RPM \quad (2.12)$$

ความถี่รังพื้นฐาน Fundamental Cage (Train) Frequency (FTF)

$$FTF = \frac{1}{2} \left(1 - \frac{B_d}{P_c} \cos \theta \right) RPM \quad (2.13)$$

เมื่อ	<i>RPM</i>	คือความเร็วรอบ (รอบต่อนาที)
	<i>N_b</i>	คือจำนวนเม็ดลูกปืน
	<i>B_d</i>	คือเส้นผ่านศูนย์กลางของเม็ดลูกปืน
	<i>P_c</i>	คือเส้นผ่านศูนย์กลางของตัวลูกปืน
	<i>θ</i>	คोมุมศัมพสัต

โดยสมการที่ใช้คำนวนนี้จะมีหน่วยเป็นรอบต่อนาที ซึ่งสามารถทำให้เป็นเฮิร์ทซ์ (Hz)
ได้โดยหารด้วย 60 ให้เป็นรอบต่อวินาที

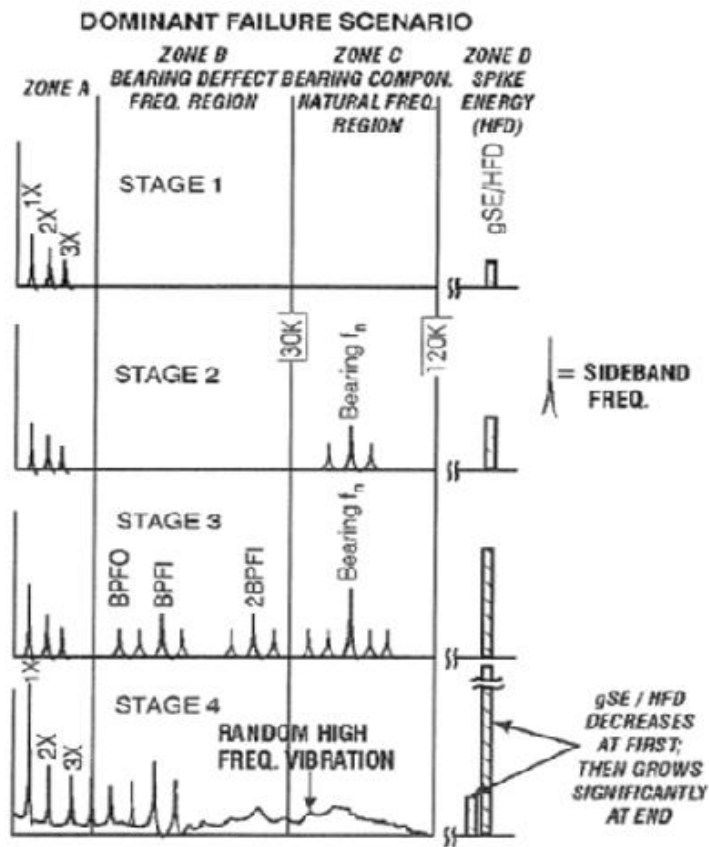
ลักษณะการชำรุดของตัวลูกปืนนั้นแบ่งออกเป็นช่วงๆ หลังจากเริ่มเกิดการชำรุด ซึ่งแบ่งออกได้เป็น 4 ช่วง รูปที่ 2.13 แสดงลักษณะสภาพรัมที่เกิดการชำรุดทั้ง 4 ขั้นตอน

สภาพที่ 1 เป็นสภาพการเสียหายของตัวลูกปืนในช่วงแรกซึ่งมักไม่สามารถบ่งบอกได้จากสัญญาณการสั่นสะเทือนปกติ สัญญาณความเสียหายจะไปปรากฏที่ความถี่อุตตราโซนิก 250,000 – 350,000 Hz และเมื่อการสึกหรอเพิ่มขึ้นสัญญาณมักจะเคลื่อนตัวไปปรากฏที่ความถี่ต่ำลงมาคือประมาณ 20,000 – 60,000 Hz

สภาพที่ 2 เป็นสภาพการเสียหายที่เพิ่มขึ้นจากสภาพแรก ทำให้เกิดการกระตุ้นความถี่ธรรมชาติของขึ้นส่วนตัวลูกปืน ซึ่งโดยทั่วไปมักจะเกิดอยู่ช่วง 30,000 – 120,000 รอบต่อนาที

สภาพที่ 3 เป็นสภาพการเสียหายของตัวลูกปืนที่เพิ่มมากขึ้น ก่อให้เกิดสัญญาณการสั่นสะเทือนขึ้นที่ความถี่เสียหายของตัวลูกปืน

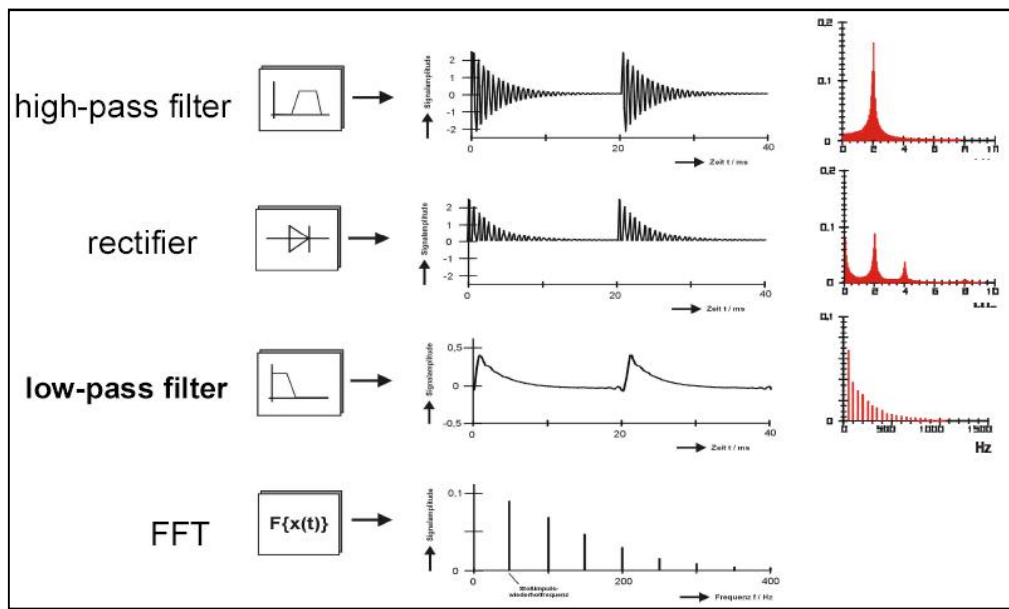
สภาพที่ 4 เป็นสภาพที่ตัวลูกปืนเสียหายมาก ซึ่งสภาพนี้สัญญาณการสั่นสะเทือนจะเพิ่มมากขึ้นจนส่งผลกระทบไปสู่ขนาดของสัญญาณที่ความถี่ 1 เท่าของรอบการหมุนและชุดสาร์มอนิกของสัญญาณดังกล่าว สัญญาณที่ความถี่เสียหายของตัวลูกปืนและความถี่ธรรมชาติที่เป็นลักษณะแยกกันจะถูกทำให้หายไปกล้ายเป็นสัญญาณที่คลุมกว้างตลอดช่วงความถี่สูง



รูปที่ 2.13 ลักษณะสเปกตรัมที่เกิดการชำรุดทั้ง 4 ขั้นตอน [10]

2.3.10 การใช้สัญญาณ Demodulation Enveloping วิเคราะห์ความเสียหายของตลับลูกปืน

ในการวิเคราะห์ความเสียหายของตลับลูกปืนนี้ จะใช้การปรับปรุงสัญญาณแบบ Demodulation Enveloping [11] ซึ่งเป็นการปรับปรุงสัญญาณที่เกิดขึ้นจากการสั่นสะเทือนที่มีขนาดของการสั่นสะเทือนที่ต่ำ (**Low Amplitude**) แต่ความถี่ของการสั่นสะเทือนจะอยู่ในย่านความถี่สูงภายในชิ้นส่วนของเครื่องจักรกล เช่น การกระแทกของชิ้นส่วนภายในตลับลูกปืนหรือระหว่างเม็ดลูกปืนกับบริเวณที่เกิดความเสียหาย และการชนกันของฟันเกียร์เป็นต้น สำหรับขั้นตอนในการปรับปรุงสัญญาณแบบนี้ จะทำโดยการนำเอาสัญญาณที่มีขนาดของการสั่นสะเทือนต่ำที่อยู่ในย่านความถี่สูงออกมา เรียกว่า **Band Pass Filter (BP-Filter)** จากนั้นนำเอาสัญญาณไปปรับให้มีค่าเป็นสัญญาณบวกโดยผ่านชุด **Rectifier** แล้วทำการกรองเอาเฉพาะสัญญาณที่อยู่ในความถี่ต่ำที่เรียกว่า **Low Pass Filter (LP-Filter)** เพื่อให้ง่ายต่อการแปลงผล และนำไปแสดงผลในกราฟสเปกตรัม รูปที่ 2.14 แสดงขั้นตอนการปรับปรุงสัญญาณแบบ Demodulation Enveloping



รูปที่ 2.14 ขั้นตอนการปรับปรุงสัญญาณแบบ Demodulation Enveloping

สัญญาณความเสียหายของตลับลูกปืนแบบลูกกลิ้ง (Rolling Bearing) โดยใช้หัวรับสัญญาณแบบความเร่ง ซึ่งเริ่มต้นด้วยการนำสัญญาณที่ได้จากการตรวจวัดแบบ Demodulation Enveloping ที่สามารถตรวจพบได้ และถ้าการชำรุดของตลับลูกปืนนั้นเริ่มนุรุณแรงขึ้น จะสามารถตรวจพบโดยการวัดค่าการสั่นสะเทือน โดยทั่วไป ซึ่งการวัดค่าการสั่นสะเทือนโดยทั่วไปจะนิยมวัดค่าในหน่วยความเร็ว (Velocity Measurement) และเมื่อการชำรุดรุนแรงมากขึ้น ก็จะสามารถตรวจวัดโดยการฟังเสียงได้ ซึ่งเป็นช่วงระยะสุดท้ายของการใช้งานของตลับลูกปืน

ซึ่งลักษณะของสัญญาณที่ส่งออกมาจากบริเวณที่เกิดความเสียหายบนแหวนนอกของตลับลูกปืน [12] โดยใช้หัววัดสัญญาณแบบความเร่งที่มีติดกับเสื้อค้านนอกของตลับลูกปืนเป็นตัวรับสัญญาณที่ส่งออกมา สัญญาณที่ส่งออกมาก็จะแยกจะผ่านมาทางเสื้อของตลับลูกปืนและผ่านมาถึงหัวรับสัญญาณ ซึ่งจะเป็นขั้นตอนการรับสัญญาณความเสียหายของตลับลูกปืน เมื่อตลับลูกปืนเกิดความเสียหาย จะส่งสัญญาณกระดุนให้โครงสร้างเกิดการเรโซนанс (Structural Resonance) แล้วหัวรับสัญญาณก็จะนำสัญญาณผ่านมาที่เครื่องวัดการสั่นสะเทือน แล้วนำไปสู่ขั้นตอนการปรับปรุงสัญญาณแบบ Enveloping เพื่อการวิเคราะห์หาความเสียหายต่อไป

2.4 ทบทวนวรรณกรรม

ในงานวิจัยขึ้นนี้ซึ่งได้ศึกษาถึงทฤษฎีพื้นฐานของการสั่นสะเทือนและการวิเคราะห์สัญญาณ แล้วในข้างต้น และยังได้ศึกษาเพิ่มเติมจากงานวิจัย บทความ และตำราต่างๆ ที่เกี่ยวข้องกับงานวิจัยซึ่งได้นำแนวทาง และข้อเสนอแนะมาประยุกต์ใช้และทำการศึกษาเพิ่มจากการวิจัยต่างๆ ดังนี้

2.4.1 ประสบการณ์ สุบรรพวงศ์ [13] ศึกษาการวิเคราะห์การสั่นสะเทือนของคลับลูกปืนแบบลูกกลิ้งในปืนไอดอลิกแบบเพื่อง ด้วยวิธีการทดลองจากเครื่องจักรจริง เพื่อกำหนดวิธีการในทางปฏิบัติ ในการติดตามสภาพของคลับลูกปืนในปืนไอดอลิกแบบเพื่อง โดยใช้วิธีการวิเคราะห์การสั่นสะเทือน ในรูปของ Frequency Domain ใช้เครื่องมือในการวัดและเก็บข้อมูลยี่ห้อ CSI รุ่น 2115DX โดยใช้ Software สำหรับรูปของ CSI ใน การเก็บข้อมูล คำนวณ BPF และคำนวณค่าอัตราส่วนของแอมพลิจูด โดยใช้วัดความเร่งแบบ Piezoelectric และวัดค่าการสั่นสะเทือนในหน่วยของความเร่ง เพื่อทำการทดสอบหาอัตราการแตกที่ผิวแห้งนอกของคลับลูกปืน เพื่อกำหนดช่วงเวลาทำการวัดที่เหมาะสม ทำการวัดที่ช่วงความถี่ 2 ช่วง คือ ช่วงความถี่สูง 20-30,000 Hz เพื่อตรวจสอบการเกิดเรโซナンซ์ของ โครงสร้างและช่วงความถี่ต่ำ 0.5-400 Hz เพื่อตรวจสอบความถี่ที่มีคลับลูกปืนวิ่งผ่านรอยแตกของแห้ง นอกของคลับลูกปืน การเพิ่มขึ้นของแอมพลิจูดมีค่าสูงและเกิดขึ้นอย่างสม่ำเสมอใน 3 ช่วงความถี่ คือ 7-9 kHz 15-18 kHz และ 24-27 kHz ส่วนการวัดในช่วงความถี่ต่ำแบบวัดโดยตรง (Liner) ไม่แสดงให้เห็นการเปลี่ยนแปลงที่ชัดเจนและน่าเชื่อถือ ได้ว่าคลับลูกปืนเกิดการชำรุด แต่การวัด โดยใช้วิธีการปรับปรุงสัญญาณแบบ Demodulate พบราก្យของ FTF (Fundamental Train Frequency) และ GMF (Gear Mesh Frequency) ที่มีความถี่ด้านข้าง (Side Band) เท่ากัน $\pm 1\text{FTF}$ เป็นการสนับสนุนให้เห็นว่าคลับลูกปืนเกิดการชำรุด เมื่อเริ่มเกิดการชำรุดแล้ว จะมีอายุการใช้งานต่อไปโดยไม่เกิดผลกระทบต่อระบบได้อีกไม่เกิน 22% ของอายุการใช้งานรวมหรือ 260 ชั่วโมง ช่วงระยะเวลาที่ควรทำการวัดค่าการสั่นสะเทือน ไม่ควรห่างกันเกิน 130 ชั่วโมงใช้งานของเครื่องจักร (หรือ 50% ของอายุ คลับลูกปืนที่เหลืออยู่) เพื่อป้องกันการชำรุดรุนแรงที่จะเกิดขึ้นในระบบไอดอลิก

2.4.2 สมชาย เดโชธรรมสกิต [14] ศึกษาการวิเคราะห์สัญญาณการสั่นสะเทือนของชุดเพื่องด้วย สเปกตรัมและเซปส์ตรัม โดยทำการทดลองวิเคราะห์สัญญาณจากชุดทดลองซึ่งจำลองให้ชุดเพื่อง มี การสึกหรอของชีฟ์ฟันเพื่องและมีการเอียงศูนย์ของเพื่องในระดับต่างๆ กันและผลการแปลงสัญญาณ จากแบบจำลองทางคณิตศาสตร์ที่เลียนแบบสัญญาณการสั่นสะเทือนของชุดเพื่องในลักษณะจำเพาะ บนโคลเมนเวลา โดยเน้นความถี่ ตรวจวัดและวิเคราะห์สัญญาณ และเปรียบเทียบผลการวิเคราะห์จาก สเปกตรัมและเซปส์ตรัม จากผลการทดลองแสดงให้เห็นว่า สเปกตรัมของสัญญาณการสั่นสะเทือน ของชุดเพื่องในสภาพปกติประกอบด้วย ชุดสารมอนิกของ GMF และแทนความถี่ข้าง ขณะที่ยอด เชปส์ ตรัมแสดงยอดสัญญาณที่harmonics ของเพื่องขับและเพื่องตามที่มีแกมนิจุคระดับหนึ่ง ในกรณี

ชุดไฟองมีปัญหาการสึกหรอของซี่ฟันจะพบว่า การสั่นสะเทือนจะมีระดับสูงขึ้นกว่าเดิมสเปกตรัมจะมี แอบความถี่ที่สูงขึ้น พร้อมกับมีสัญญาณແບกความถี่กว้างและมีชั้บชาร์มอนิกของ GMF เพิ่มขึ้น ส่วนชาร์มอนิกของไฟองขับที่สึกหรอจะมีแกมนิจุดสูงขึ้นแต่ชาร์มอนิกของไฟองตามกลับมีแกมนิจุด คลลงแตกต่างกัน ในกรณีที่ไฟองชุดมีปัญหาการเยื่องศูนย์เพิ่มมากขึ้นจะพบว่า การสั่นสะเทือนอาจมี ระดับสูงขึ้นหรือคลลง สเปกตรัมจะมีแອมพลิจูดของແບกความถี่ข้างและแອมพลิจูดของความถี่การ หมุนของไฟองที่เยื่องศูนย์เพิ่มสูงขึ้น แต่การเพิ่มของแອมพลิจูดดังกล่าวมีรูปแบบไม่ชัดเจน ขณะที่ยอด ชาร์มอนิกของไฟองที่เยื่องศูนย์มีขนาดสูงขึ้นเด่นชัดเมื่อเทียบกับไฟองปกติ

2.4.3 กมลวรรณ พงศาพิชญ์ [15] การวิเคราะห์ความสัมพันธ์ระหว่างสัญญาณการสั่นสะเทือน และระดับการสึกหรอของไฟอง โดยจำลองการสึกหรอของฟันไฟองขับที่ระดับต่างๆ กันทำการ ทดลองที่ห้องสภาวะด้วยการปรับระดับภาระและความเร็วรอบ สัญญาณการสั่นสะเทือนที่นำมาใช้ วิเคราะห์อยู่ในรูปแบบของสัญญาณโคล เมนเวลา สเปกตรัม และเซปส์ตรัม จากผลของสัญญาณโคล เมน เวลา ค่า Peak ของสัญญาณมีแนวโน้มเพิ่มสูงขึ้นเมื่อระดับสึกหรอของฟันไฟองมากขึ้น ในขณะที่ค่า RMS มีการเปลี่ยนแปลงน้อยกว่ามาก ผลของสัญญาณสเปกตรัม ค่าแອมพลิจูดที่ความถี่ 1 GMF 2 GMF และ 3 GMF มีแนวโน้มเพิ่มขึ้นเมื่อระดับสึกหรอมากขึ้น ค่าแອมพลิจูดของແບกความถี่ข้าง เนื่องจากไฟองขับและไฟองตามมีแนวโน้มเพิ่มขึ้นเช่นเดียวกับความถี่ GMF ผลของสัญญาณเซปส์ตรัม ค่าแกมนิจุดที่ความเร็วรอบไฟองขับ ($1/P$) มีค่าสูงขึ้นเมื่อระดับสึกหรอเพิ่มขึ้นจนถึงประมาณ 40% ของความหนาของฟัน จากค่านี้แกมนิจุดจึงลดลงอย่างต่อเนื่องเมื่อระดับสึกหรอเพิ่มขึ้นจนถึงค่าการ สึกหรอสูงสุดที่ทดลอง จากรูปแบบความสัมพันธ์ระหว่างสัญญาณการสั่นสะเทือนและการสึกหรอ ของไฟองพบว่าการวิเคราะห์เซปส์ตรัมเป็นวิธีที่ชัดเจนที่สุดในการวิเคราะห์สภาพชุดไฟอง ซึ่งอาจใช้ ค่าแกมนิจุดสูงสุดเป็นเกณฑ์กำหนดระดับสึกหรอที่สามารถยอมรับได้

2.4.4 จุติโรจน์ เบญจลักษณ์ [16] การพัฒนาโปรแกรมวิเคราะห์การสั่นสะเทือนของเครื่องจักร กลหมุน ซึ่งได้นำเสนอการพัฒนาโปรแกรมวิเคราะห์การสั่นสะเทือนของเครื่องจักรกลหมุน การ พัฒนาโปรแกรมอ้างอิงตามมาตรฐาน ISO 10816-1, ISO 10816-2, และ ISO 10816-3 โปรแกรมที่ พัฒนาขึ้นสามารถทำงานในลักษณะต่อเนื่องในเวลาจริง เปลี่ยนสัญญาณการสั่นสะเทือนในแกนเวลา ให้อยู่ในแกนความถี่ วิเคราะห์ความบกพร่องของเครื่องจักรกลหมุน เก็บข้อมูลสำหรับการแสดง ข้อมูลในอดีต และเตือนเมื่อเครื่องจักรกลหมุนเริ่มเสียหาย โดยเป็นการพัฒนาโปรแกรมสำหรับตรวจ และวิเคราะห์การสั่นสะเทือนของเครื่องจักรกลหมุน โดยได้ทำการพัฒนาตามความต้องการของผู้ใช้

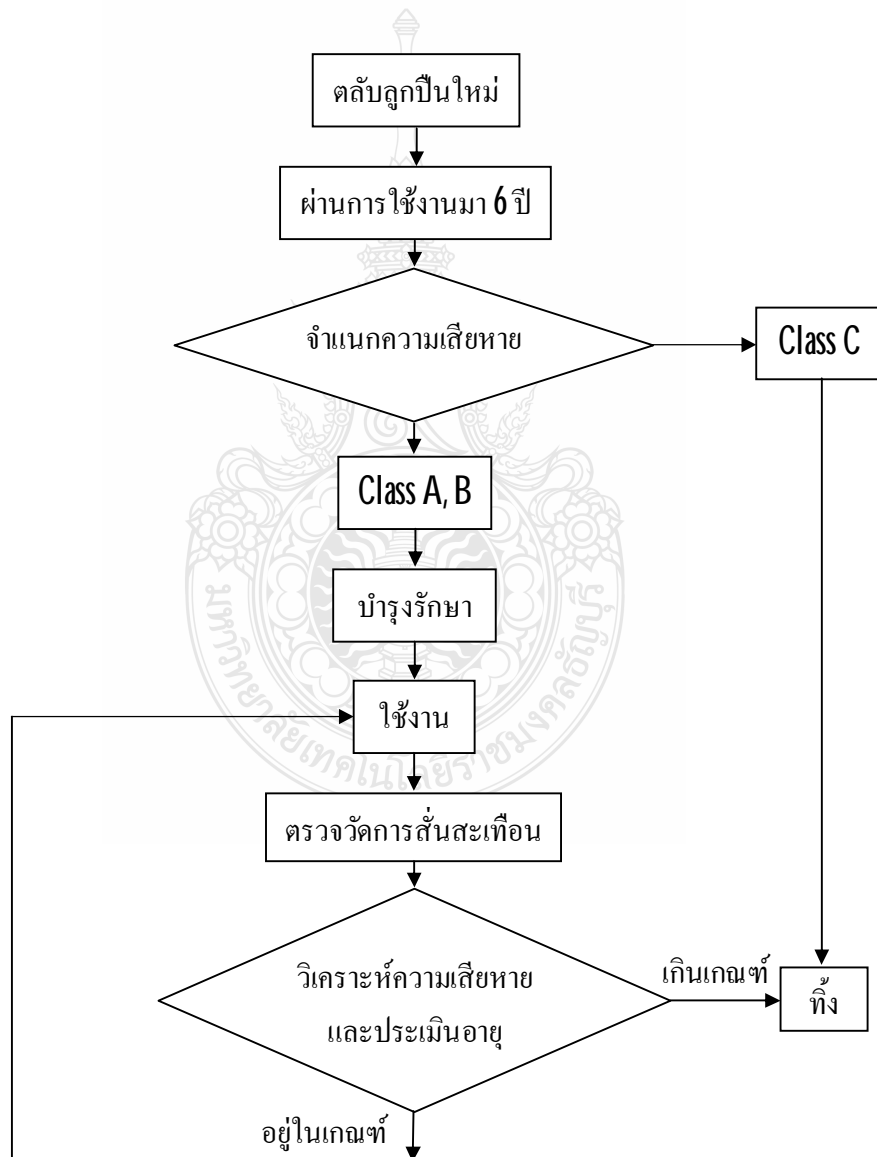
2.4.5 ประดิษฐ์ หมู่เมืองสอง และสุชญา หรรษฐ [17] การวิเคราะห์การสั่นสะเทือนของเครื่องจักร กล่าวว่าความเสียหายที่เกิดขึ้นในเครื่องจักรกลเป็นลิ่งที่เกิดขึ้นแล้วจะเป็นผลให้เครื่องจักรมีอายุสั้นลง ซึ่งความเสียหายที่พบในเครื่องจักรโดยทั่วไป เช่น การไม่สมดุลของเครื่องจักร (**Unbalance**) การเอียงแนวแกนของเครื่องจักร (**Misalignment**) การหลุมคอนทากล การโถงของเพลา การเสียดสีกันของชิ้นส่วน การเอียงศูนย์กลาง (**Eccentric**) การชำรุดของเฟืองเกียร์เป็นต้น ใน การวิเคราะห์ความเสียหายโดยมุ่งเน้นการวิเคราะห์ในรูปแบบของกราฟโดยเมนความถี่ (**Frequency Analysis**) หรือการแสดงผลในรูปแบบของกราฟスペกตรัม (**Spectrum Plot**) โดยแกนดังจะเป็นขนาดของการสั่นสะเทือน (**Amplitude**) โดยจะใช้หน่วยวัดแบบระยะทาง ความเร็ว หรือความเร่ง และแกนนอนจะแสดงค่าความถี่ (**Frequency**) ของการสั่นสะเทือนที่เกิดจากเครื่องจักรนั้น ในการวิเคราะห์แบบกราฟスペกตรัมนี้ สามารถแปลความหมายโดยแกนดังจะบ่งบอกถึงความรุนแรงของการสั่นสะเทือนของเครื่องจักร ส่วนแกนนอนจะบอกถึงมูลค่าของปัญหาหรือแหล่งที่มาของการสั่นสะเทือน นั้นว่าอยู่ตรงตำแหน่งไหนของเครื่องจักร

2.4.6 วินัย เวชวิทยาลัง [18] ได้อธิบายการวัดการสั่นสะเทือนว่า เป็นวิธีการที่ใช้ในการตรวจสอบการทำงานของเครื่องจักร โดยการวัดการสั่นสะเทือนเป็นวิพานาการและใช้กันมากในปัจจุบัน เพราะสามารถวิเคราะห์สาเหตุความผิดปกติของเครื่องจักร ໄให้ครอบคลุมเกือบทุกปัญหา ทั้งการติดตั้งประกอบ การลีกหรือ การหลุมคล้าย การยึดไม่นิ่น แท่นไม่นิ่ง แจ้ง การเสียหายของฟันเกียร์ ตลอดถูกปืน โดยผลที่ได้จากการวิเคราะห์สามารถนำไปแก้ไขปัญหา และข้อมูลที่ได้จากการวัดการสั่นสะเทือนนั้น จะช่วยในการวางแผนการบำรุงรักษา

บทที่ 3

วิธีดำเนินงานวิจัย

จากวัตถุประสงค์และขอบเขตของงานวิจัยนี้ จะดำเนินงานวิจัยโดยเริ่มต้นจากการจำแนกความเสียหายของกลุ่มปืนหลังจากที่ผ่านการใช้งานมาแล้ว 6 ปี และนำกลับไปใช้อีกครั้งหลังจากนั้นจะทำการตรวจสอบเพื่อวิเคราะห์ความเสียหายด้วยวิธีการวิเคราะห์การสั่นสะเทือนและประเมินอายุการใช้งานของกลุ่มปืน รูปที่ 3.1 แสดงขั้นตอนการดำเนินงานวิจัยโดยรวม



รูปที่ 3.1 ขั้นตอนการดำเนินงานวิจัยโดยรวม

3.1 การจำแนกระดับความเสี่ยหาย

รถไฟฟ้าที่ผ่านการใช้งานมาแล้วในระยะหนึ่งจำเป็นจะต้องทำการบำรุงรักษาเพื่อให้การใช้งานเป็นไปอย่างมีประสิทธิภาพ และรักษามาตรฐานความปลอดภัยของรถไฟฟ้า ซึ่งรถไฟฟ้า BTS [19] ได้มีการบำรุงรักษาและการตรวจสอบสภาพอยู่สม่ำเสมอแล้วนั้น เมื่อระยะเวลาการใช้งานถึง 6 ปี จะต้องมีการบำรุงรักษาครั้งใหญ่ (*Overhaul*) เนื่องจากชิ้นส่วนบางชิ้นอาจเกิดข้อบกพร่อง หรือชำรุดก่อนเวลาอันควร หรือจำเป็นที่จะต้องเปลี่ยนเพราถึงระยะเวลาที่ผู้ผลิตได้แนะนำไว้ [20] ดังนั้นจึงจำเป็นที่จะต้องมีการศึกษาเพื่อที่จะจำแนกความเสี่ยหาย และหาช่วงอายุการใช้งานของตัวลูกปืน ซึ่งตัวลูกปืนล้วนนั้นจะต้องมีการตรวจสอบเมื่อถึงระยะเวลาที่กำหนด ก่อนที่จะนำกลับไปใช้งานอีกรอบ ในการจำแนกความเสี่ยหายนั้นจากการศึกษาข้อมูลที่ได้จากการเอกสารของผู้ผลิตตัวลูกปืน (FAG) พบว่าได้มีการแบ่งแยกระดับความเสี่ยหายออกเป็น 3 ระดับ คือ Class A, B และ C ซึ่งในระดับต่างๆ ได้ระบุอายุการใช้งานไว้ดังนี้ Class A มีอายุการใช้งานได้อีกประมาณ 1-3 ปี Class B มีอายุการใช้งานประมาณ 6 เดือนถึง 1 ปี ส่วน Class C นั้นไม่นำมาใช้งาน ในงานวิจัยนี้จะได้นำวิธีการดังกล่าวมาวิเคราะห์ตัวลูกปืนที่ใช้ในรถไฟฟ้าของประเทศไทยในการจำแนกระดับความเสี่ยหายและหาอายุการใช้งาน นอกเหนือนี้ยังมีวิธีการวิเคราะห์ทางสถิติที่เกี่ยวข้องโดยอาศัยการเก็บข้อมูลการชำรุดที่ซ้ำๆ กัน (*Repetitive Failures*) มาทำการวิเคราะห์

-การหาค่าเฉลี่ยของการชำรุดแต่ละครั้ง (*Mean Time Between Failures: MTBF*) แสดงในสมการที่ 3.1

$$MTBF = \frac{t_1 + t_2 + \dots + t_n}{n} \quad (3.1)$$

t_1 คือเวลาการใช้งานที่บันทึกไว้ก่อนที่ชิ้นส่วนจะเกิดการชำรุดครั้งที่ 1

t_2 คือเวลาการใช้งานที่บันทึกไว้ก่อนที่ชิ้นส่วนจะเกิดการชำรุดครั้งที่ 2

t_n คือเวลาการใช้งานที่บันทึกไว้ก่อนที่ชิ้นส่วนจะเกิดการชำรุดครั้งที่ n

n คือจำนวนครั้งในการบันทึก

-การกระจายทางสถิติแบบไนyuลล์เป็นการวิเคราะห์ข้อมูลทางสถิติเพื่อกำหนดรูปแบบการชำรุด ว่า เป็นช่วงเริ่มต้น ช่วง ใช้งาน หรือเป็นช่วงการสึกหรอ รูปที่ 3.2 แสดงความสัมพันธ์ระหว่างอัตราการชำรุดและเวลาการใช้งาน โดยจะสังเกตเห็นว่าถ้าค่า γ ที่คำนวณได้น้อยกว่า 1 ซึ่งบ่งบอกว่าเป็นการชำรุดในช่วงการใช้งานเริ่มต้น ถ้าค่า γ ที่คำนวณได้เท่ากับ 1 จะเป็นช่วงใช้งานปกติ และถ้าค่า γ ที่คำนวณได้มีค่ามากกว่า 1 ซึ่งจะเป็นช่วงการสึกหรอ โดยสมการที่ 3.2 เป็นการกระจายทางสถิติแบบไนyuลล์ [21]

$$F(t) = 1 - e^{\left(\frac{t-\beta}{\alpha}\right)^{\gamma}} \quad (3.2)$$

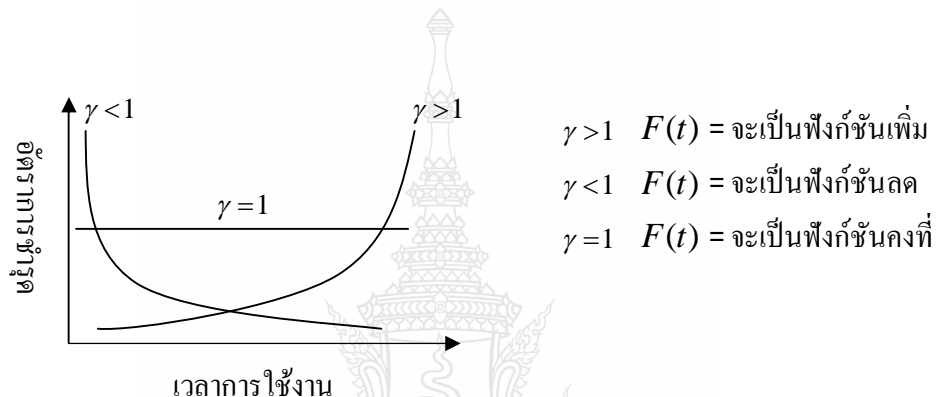
$F(t)$ คือเปอร์เซ็นต์สะสมการชำรุด

t คือเวลาการใช้งานจนขึ้นงานชำรุด

α คือ Scale Parameter หรือ MTBF (มาจากการที่ 3.1)

β คือ Location Parameter หรือค่าเวลาปลดการชำรุด

γ คือ Shape Parameter หรือ Weibull Index



รูปที่ 3.2 ความสัมพันธ์ระหว่างอัตราการชำรุดและเวลาการใช้งาน

ในกรณีที่ขึ้นส่วนนี้ไม่มี Shape Life หรือช่วงเวลาปลดการชำรุดรักษา เมื่อนำมาใช้งาน จะมีการชำรุดได้ทันที $t = 0$ และ β จะเท่ากับ 0

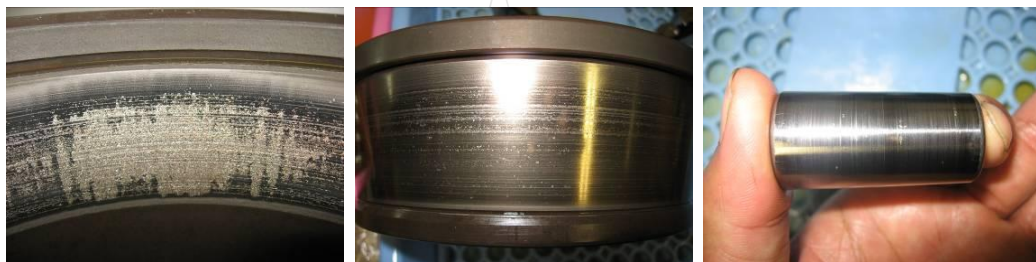
3.2 วิธีการดำเนินงานในการจำแนกความเสี่ยหายน

สำหรับขั้นตอนในการดำเนินงานวิจัยนี้ ได้แบ่งเป็น 4 ขั้นตอนดังนี้ โดยเริ่มจาก (1) การวิเคราะห์สภาพความเสี่ยหายนเบื้องต้น เพื่อที่จะหาว่าความเสี่ยหายนส่วนใหญ่มีลักษณะใดบ้าง (2) การตรวจค่าเคลียร์เร็นซ์ เป็นการวัดค่าการสึกหรอของชุดคลับลูกปืน (3) การตรวจสอบโดยการขยายภาพ เพื่อที่จะคุบบริเวณความเสี่ยหายนโดยการขยายภาพเพื่อวิเคราะห์คุณภาพในระดับโครงสร้าง (4) การจำแนกระดับความเสี่ยหายน เป็นการจำแนกลักษณะความเสี่ยหายนโดยอาศัยการระบุเป็นเปอร์เซ็นต์

3.2.1 การวิเคราะห์สภาพความเสียหายเบื้องต้น

จากการศึกษาและพบว่าความเสียหายของตัวลับลูกปืนในล้อรถไฟฟ้าที่เกิดขึ้นส่วนใหญ่ที่พบจะเกิดขึ้นจากสาเหตุหลักดังนี้

ก. ความเสียหายเนื่องจากความล้า (**Normal Fatigue**) สาเหตุเกิดจากตัวลับลูกปืนมีการใช้งานที่ยาวนานเกินอายุการใช้งานหรือรับภาระมากเกินไป [22] โดยผิวของแหวนใน แหวนนอก หรือ เม็ดลูกปืน จะหลุดร่อนออกทำให้เกิดรอยเล็กๆ ขึ้นในไม้ชาก็จะสามารถไปทั่วตัวลับลูกปืน ลักษณะเช่นนี้ มักทำให้เกิดการสั่นสะเทือนของตัวลับลูกปืนในขณะทำงาน รูปที่ 3.3 แสดงลักษณะความเสียหายในขึ้นส่วนต่างๆ ของตัวลับลูกปืนเนื่องจากความล้า



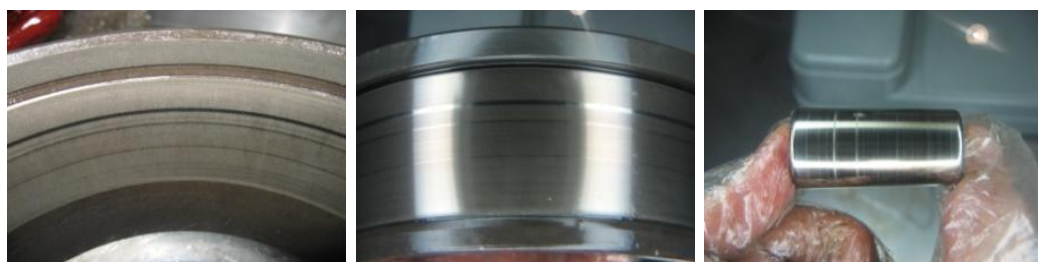
(ก) Outer Ring

(ข) Inner Ring

(ค) Roller

รูปที่ 3.3 ลักษณะความเสียหายที่ผิวมีการหลุดออกเป็นชิ้นเล็กๆ เนื่องจากความล้า

ข. ความเสียหายเนื่องจากสิ่งปนเปื้อน (**Contamination**) สาเหตุเกิดจากฝุ่นในอากาศ หรือ สิ่งสกปรกอื่นๆ ที่มาจากการริเวณสถานที่ทำงาน ความสกปรกของอุปกรณ์ที่ใช้ในการติดตั้ง สิ่งสกปรก เป็นปัจจัยในการสกปรก หรือเป็นแหล่งของตัวลับลูกปืนเอง ลักษณะความเสียหายจะเป็น รอยขีดหรือเป็นหลุมลึกบนเม็ดลูกปืนและบนรางวิ่งของทั้งแหวนในและแหวนนอกเมื่อใช้เล็บชุดเช็ค จะสะดวกมือรู้สึกได้ชัดเจนอันเป็นสาเหตุของการสั่นสะเทือนดังแสดงในรูปที่ 3.4



(ก) Outer Ring

(ข) Inner Ring

(ค) Roller

รูปที่ 3.4 ลักษณะความเสียหายเนื่องจากสิ่งปนเปื้อน

จ. ความเสียหายเนื่องจากขาดสารหล่อลื่น (**Lubrication Failure**) สาเหตุเกิดจากการไม่หล่อลื่น ไม่ทั่วถึง หรือทำงานในลักษณะอุณหภูมิที่สูงเกินไปทำให้คุณสมบัติของสารหล่อลื่นมีคุณภาพลดลงลักษณะของความเสียหายจะสังเกตได้จากการเปลี่ยนสีของเม็ดลูกปืน แหวนในและแหวนนอก รูปที่ 3.5 แสดงลักษณะความเสียหายของชิ้นส่วนต่างๆ (เป็นสีน้ำเงิน หรือสีน้ำตาล) การสึกหรอของเม็ดลูกปืน แหวนใน แหวนนอก เป็นผลทำให้เกิดความร้อนสูง



(ก) Outer Ring

(ข) Inner Ring

(ค) Roller

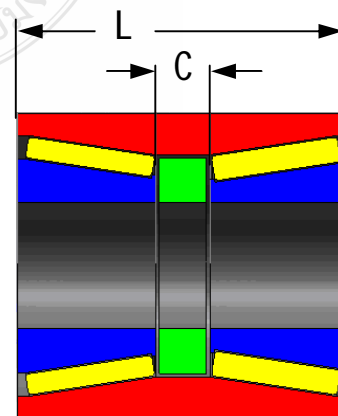
รูปที่ 3.5 ลักษณะความเสียหายจากการขาดสารหล่อลื่น โดยมีการเปลี่ยนสีของผิว

3.2.2 การตรวจวัดค่าเคลียร์แรนซ์ (Clearance)

การวัดค่าเคลียร์แรนซ์ของตลับลูกปืนเป็นการวัดค่าการสึกหรอ รูปที่ 3.6 แสดงเครื่องวัดเคลียร์แรนซ์ โดยจะวัดระยะในแนวแกนของชุดตลับลูกปืนสองตัวซึ่งค่าที่ได้จาก Dial Gage ต้องมีค่าไม่เกิน $700 \mu\text{m}$ ถ้าค่ามากกว่านี้แสดงว่าตลับลูกปืนเกิดการสึกหรอมาก ซึ่งจะทำให้ตลับลูกปืนมีระยะเคลื่อนตัวค่อนข้างมากลักษณะเช่นนี้ส่งผลทำให้ตลับลูกปืนเสียหายเร็วขึ้น รูปที่ 3.7 แสดงระยะ C ที่วัดค่าในแนวแกน เมื่อทำการวัดโดยเครื่องวัดค่าเคลียร์แรนซ์แล้วค่าจะต้องลดลงจากค่าเดิมไม่เกิน $700 \mu\text{m}$



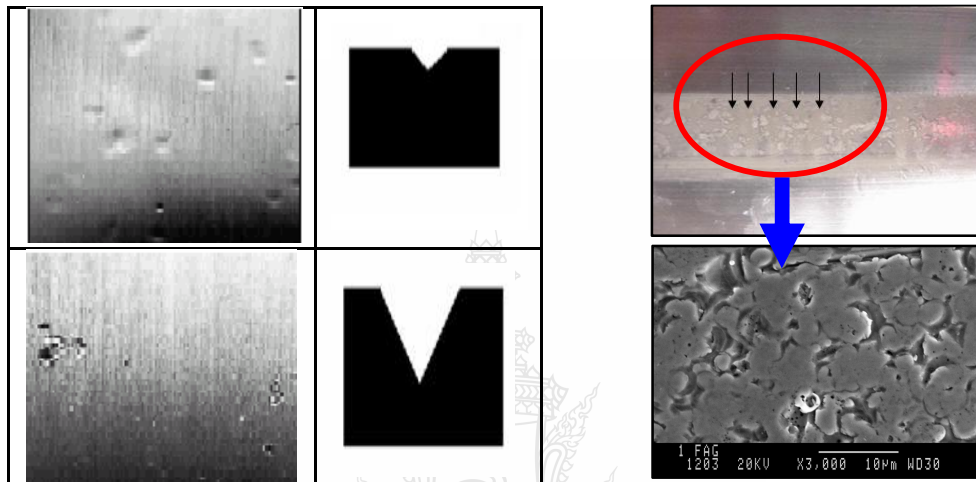
รูปที่ 3.6 เครื่องวัดเคลียร์แรนซ์



รูปที่ 3.7 ภาพวัดตลับลูกปืน

3.2.3 การตรวจสอบโดยการขยายภาพ

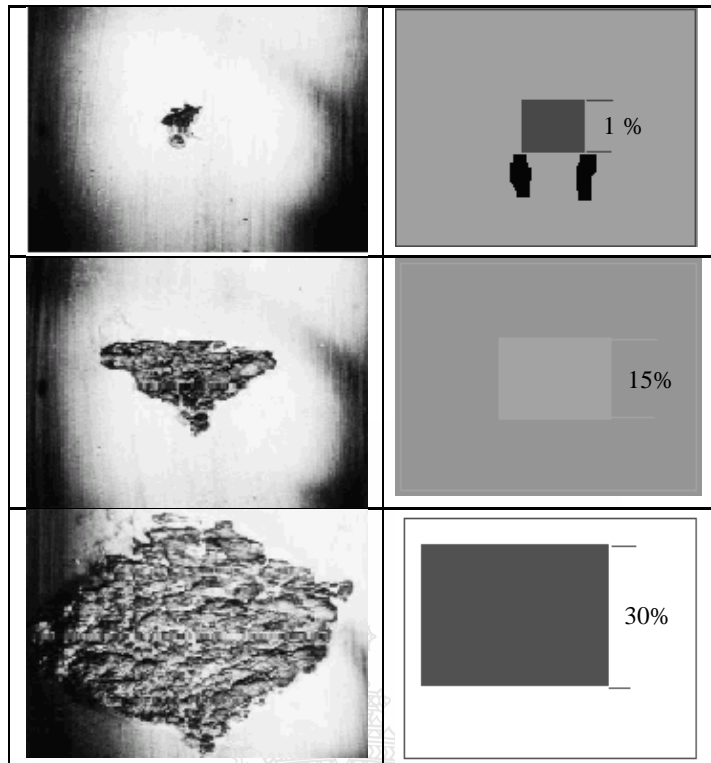
รูปที่ 3.8 แสดงการตรวจดูบริเวณความเสียหายโดยการขยายภาพเพื่อวิเคราะห์ดูความเสียหายโดยรวม และรูปที่ 3.9 แสดงภาพขยายทำให้สามารถมองเห็นความเสียหายได้อย่างชัดเจนบนเนื้อวัสดุ แต่ในการตรวจสอบวัสดุที่มีจำนวนมากทำได้ยากเนื่องจากต้องใช้เวลานาน จากศึกษาพบว่าความเสียหายที่ไม่สามารถมองเห็นด้วยตาเปล่าของตลับลูกปืนมักจะมีอายุการใช้งานเหลืออยู่ประมาณ 300,000-500,000 กิโลเมตร ซึ่งจัดอยู่ในระดับของ Class A ซึ่งจะได้อธิบายในหัวข้อ 3.4



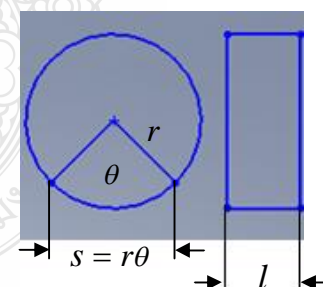
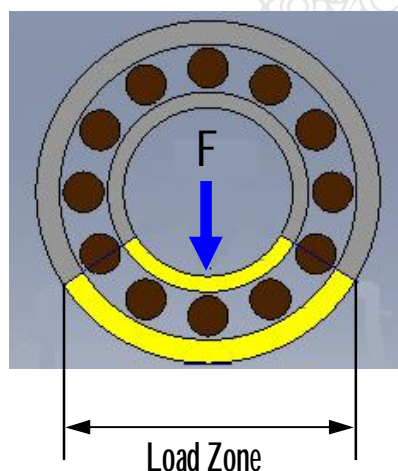
รูปที่ 3.8 ภาพถ่ายแสดงความลึกและการมองด้านข้าง [23] รูปที่ 3.9 ภาพขยายความละเอียดขนาด $10 \mu\text{m}$ [23]

3.2.4 การจำแนกระดับความเสียหายโดยอาศัยการระบุเป็นปอร์เช็นต์

หลักการที่ใช้พิจารณาันนี้จะให้ความสำคัญกับตัวแurenนอก ตัวแurenใน และตัวเม็ดลูกปืนตามลำดับเนื่องจากความเสียหายที่เกิดขึ้นของแurenนอกจะเปอร์เซ็นต์ความเสียหายมากที่สุด รูปที่ 3.10 แสดงให้เห็นบริเวณความเสียหายของพื้นผิวนบนตลับลูกปืน โดยเทียบเป็นเปอร์เซ็นต์ เพราะบริเวณรับภาระไม่มีการเปลี่ยนแปลง รูปที่ 3.11 ภาพแสดงบริเวณ Load Zone ส่วนแurenในนั้นจะเกิดขึ้นตลอดเดือนร้อนเนื่องมาจากการหมุน และตัวเม็ดลูกปืนเองก็เหมือนกันกับตัวแurenในและมีความคล้ายคลึงกันทุกเม็ด การแบ่งแยกระดับนั้นได้อ้างอิงข้อมูลการใช้งานในต่างประเทศและบริษัทผู้ผลิตตลับลูกปืน โดยจำแนกความเสียหายออกเป็น 3 ระดับ คือระดับ A, B และ C ซึ่งระดับ A เปอร์เซ็นต์ความเสียหายต่อพื้นที่ผิวที่รับภาระโดยโดยอยู่ที่ 1-15% ระดับ B เปอร์เซ็นต์อยู่ที่ 15-30% และระดับ C มีเปอร์เซ็นต์อยู่ที่ 30-50% ซึ่งระดับ C มีความเสียหายค่อนข้างมากจึงไม่นำกลับไปใช้งาน เนื่องจากไม่คุ้มค่ากับการบำรุงรักษา รูปที่ 3.12 แสดงการหาพื้นที่ความเสียหายบริเวณ Load Zone โดยใช้สมการที่ 3.3



(ก) รูปจากกล้องขยายที่แสดงความเสียหาย [24] (ข) วิธีการประเมินความเสียหายเป็นปลอร์เซ็นต์
รูปที่ 3.10 ภาพขยายบริเวณความเสียหายโดยเทียนเบอร์เซ็นต์ความเสียหายต่อพื้นที่ผิวที่รับการ



$$A = ls \quad (3.3)$$

A คือพื้นที่ความเสียหาย

s คือความยาวบริเวณ Load Zone

l คือความกว้างของหน้าสัมผัส

r คือรัศมีของตลับลูกปืน

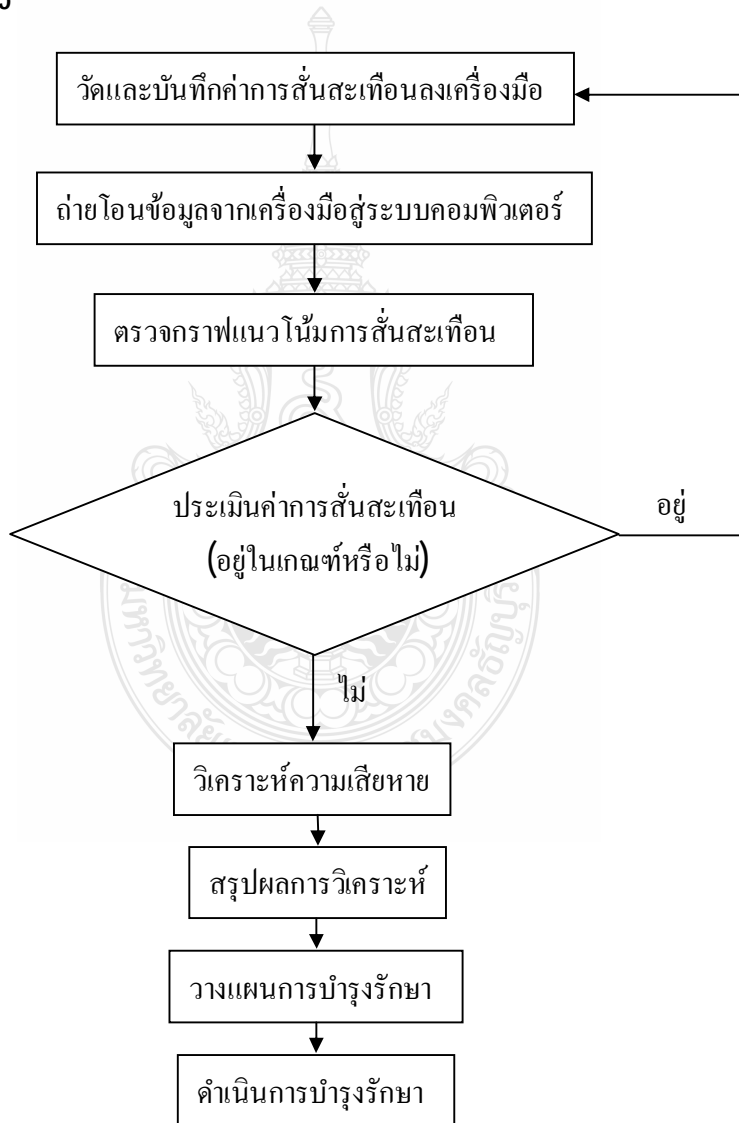
θ คือองศาบริเวณ Load Zone

รูปที่ 3.11 บริเวณ Load Zone

รูปที่ 3.12 การหาพื้นที่ความเสียหายบริเวณ Load Zone

3.3 การวิเคราะห์การสั่นสะเทือน (Vibration Analysis)

การวิเคราะห์การสั่นสะเทือนของตัวบล็อกปีนในหัวข้อนี้ จะอธิบายถึงวิธีการในการบำรุงรักษาแบบพยากรณ์ตามสภาพโดยวิธีการวิเคราะห์การสั่นสะเทือน ซึ่งในการวัดนั้นจำเป็นที่จะต้องใช้เครื่องมือที่มีประสิทธิภาพ พร้อมทั้งบุคลากรที่มีความรู้และเข้าใจในวิธีการวัดการสั่นสะเทือน เพื่อที่จะทำให้การดำเนินงานบรรลุผลสำเร็จ เมื่อดำเนินการตรวจวัดและเก็บข้อมูลมาแล้ว ขั้นตอนไปก็จะเป็นการถ่ายโอนข้อมูลเข้าสู่ระบบคอมพิวเตอร์ หลังจากนั้นผู้วิเคราะห์จะทำการตรวจสอบและประเมินค่าการสั่นสะเทือน ถ้าเกินค่ามาตรฐานก็จะดำเนินการวิเคราะห์หาสาเหตุพร้อมสรุปทำเป็นรายงานต่อไป สำหรับขั้นตอนในการวิเคราะห์การสั่นสะเทือนนั้น จะลำดับเป็นขั้นตอนเพื่อให้เข้าใจได้ง่ายดังรูปที่ 3.13



รูปที่ 3.13 ขั้นตอนในการวิเคราะห์การสั่นสะเทือน

3.4 วิธีดำเนินการวัดการสั่นสะเทือน

สำหรับวิธีดำเนินการวัดการสั่นสะเทือนในหัวข้อนี้ ซึ่งในการทดลองนั้นจะประกอบไปด้วย เครื่องมือ อุปกรณ์ และขั้นตอนในการทดลอง ตามขอบเขตและวัตถุประสงค์ของงานวิจัย ซึ่งจะแสดงรายละเอียดต่างๆ ดังต่อไปนี้

3.4.1 เครื่องกลึงล้อ (Under Floor Wheel Lathe)

การวัดการสั่นสะเทือนในงานวิจัยนี้ซึ่งจะทำการวัดและทดสอบภายในโรงช่องบารุงโดยใช้เครื่องกลึงล้อ รูปที่ 3.14 แสดงเครื่องกลึงล้อ (**Under Floor Wheel Lathe**) เป็นต้นกำลังที่ใช้ในการขับเคลื่อนล้อให้หมุนเพื่อวัดค่าการสั่นสะเทือน โดยที่ไม่ต้องถอดล้อออกจากวัสดุงานออกแบบ ซึ่งจะทำให้ลดผลกระทบจากการรับภาระมีความใกล้เคียงกับการใช้งานจริง รูปที่ 3.15 แสดงชุดต้นกำลังในการขับเคลื่อน และรูปที่ 3.16 แสดงชุดอุปกรณ์ในการควบคุมเครื่องกลึงล้อ



รูปที่ 3.14 เครื่องกลึงล้อ (**Under Floor Wheel Lathe**)



รูปที่ 3.15 ชุดต้นกำลังในการขับเคลื่อน



รูปที่ 3.16 ชุดอุปกรณ์ในการควบคุมเครื่องกลึงล้อ

3.4.2 เครื่องมือวัดค่าการสั่นสะเทือน

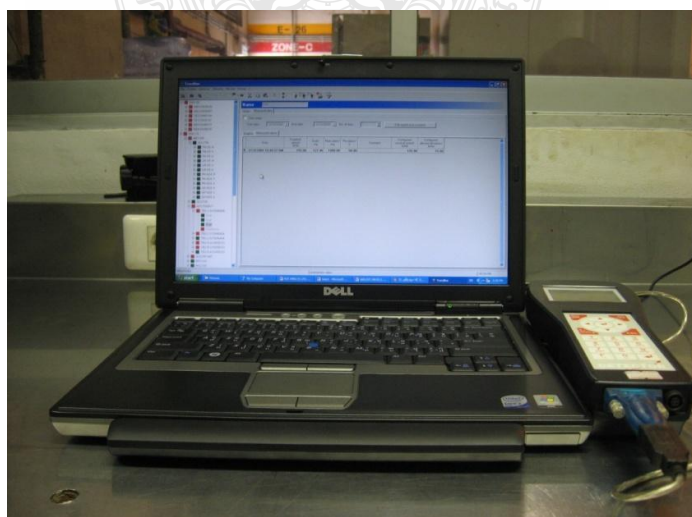
เครื่องมือวัดและบันทึกผลการสั่นสะเทือน ยี่ห้อ FAG รุ่น Detector III ซึ่งประกอบด้วย อุปกรณ์ต่างๆ ดังแสดงในรูปที่ 3.17



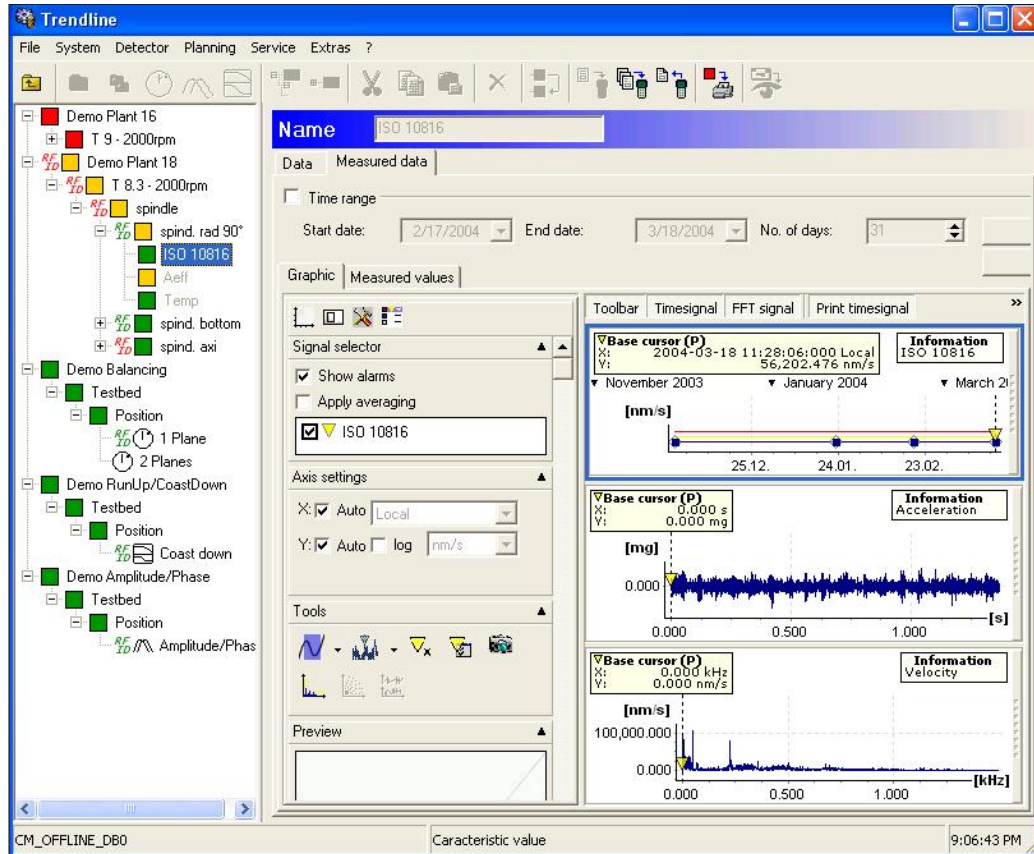
รูปที่ 3.17 เครื่องมือวัดและบันทึกผลการสั่นสะเทือน

3.4.3 คอมพิวเตอร์และซอฟแวร์ในการวิเคราะห์

โดยจะทำหน้าที่รับข้อมูลจากเครื่องมือวัดและบันทึกผล ซึ่งสามารถที่จะวิเคราะห์ผลในภาษาหลังได้ รูปที่ 3.18 แสดงคอมพิวเตอร์ที่ใช้ในงานวิจัย และรูปที่ 3.19 แสดงซอฟแวร์ที่ใช้ในการวิเคราะห์ผลของ FAG Detector III ซึ่งโปรแกรม Trendline เวอร์ชัน 3.4.0.25



รูปที่ 3.18 คอมพิวเตอร์ที่ใช้ในงานวิจัย



รูปที่ 3.19 ซอฟแวร์ที่ใช้ในการวิเคราะห์ผล

3.4.4 การวัดการสั่นสะเทือน

โดยจะเริ่มจากการกำหนดจุดวัดในตำแหน่งที่มีการส่งผ่านสัญญาณการสั่นสะเทือนได้ดีที่สุด จากนั้นทำการทดสอบบริเวณที่จะติดตั้งหัววัด และติดตั้งหัววัดแบบความเร่ง โดยยึดติดแบบแม่เหล็กที่ตำแหน่งฝาครอบและเสื้อตัวลับลูกปืน รูปที่ 3.20 แสดงการติดตั้งหัววัดในแนวแกนและแนวรัศมี (Axial, Radial) รูปที่ 3.21 และคงตำแหน่งที่ติดตั้งตัวลับลูกปืนในบานรถ ตารางที่ 3.1 แสดงข้อ มูลที่ใช้วัด

ก. การกำหนดจุดวัด (Measurement Point) แนวแกนและแนวรัศมี (Axial, Radial)

บ. ทำความสะอาดบริเวณที่จะติดตั้งหัววัด

ง. ติดตั้งหัววัดแบบความเร่ง โดยยึดติดแบบแม่เหล็ก

จ. ความเร็วรอบที่ใช้ในการวัด 50, 100, 150 รอบต่อนาที

ฉ. กำหนดช่วงความถี่ในการวัด 2 ช่วง

การวัดในช่วงความถี่ต่ำ

- ในฟังก์ชัน Velocity ช่วงความถี่ที่ทำการวัดคือ 10 - 1000 Hz
- ในฟังก์ชัน Acceleration ช่วงความถี่ที่ทำการวัดคือ 0.6 - 2000 Hz
- ในฟังก์ชัน Demodulation ช่วงความถี่ที่ทำการวัดคือ 0.3 - 500 Hz

การวัดในช่วงความถี่สูง

- ในฟังก์ชัน Velocity ช่วงความถี่ที่ทำการวัดคือ 37.5 - 20000 Hz
- ในฟังก์ชัน Acceleration ช่วงความถี่ที่ทำการวัดคือ 12.5 - 20000 Hz
- ในฟังก์ชัน Demodulation ช่วงความถี่ที่ทำการวัดคือ 12.5 - 20000 Hz

ช. กำหนดความละเอียดในการแสดงผลของความถี่ในกราฟ 1600 และ 3200 Lines

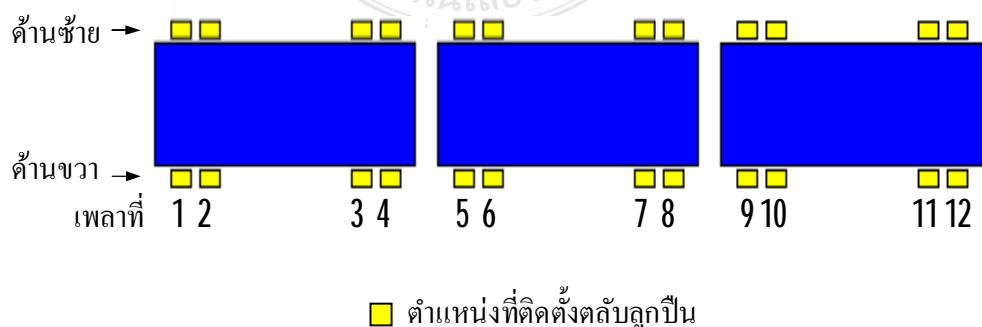
ชช. กำหนดค่าเฉลี่ยในการวัดของฟังก์ชัน Averaging 2 ครั้ง และไม่ต้อง Averaging

ณ. ดำเนินการทดสอบกับรถไฟฟ้าจำนวน 10 ขบวน

ญ. เก็บสัญญาณของตลับลูกปืนที่ยังไม่มีการสึกหรอ และตลับลูกปืนที่สึกหรอ



รูปที่ 3.20 การติดตั้งหัววัดในแนวแกนและแนวรัศมี (Axial, Radial)



รูปที่ 3.21 ตำแหน่งที่ติดตั้งตลับลูกปืนในขบวนรถ

ตารางที่ 3.1 ข้อมูลที่ใช้ในการวัดตลับลูกปืน

ฟังก์ชัน	ความถี่ (Hz)	ความเร็วรอบ (RPM)	ความละเอียดในการแสดงผล (Lines)	จุดวัด
Velocity	10-1000 37.5-20000	150	3200	Axial
		100	1600	Radial
		50		
Acceleration	0.6-2000 12.5-20000	150	3200	Axial
		100	1600	Radial
		50		
Demodulation	0.3-500 12.5-20000	150	3200	Axial
		100	1600	Radial
		50		

3.4.5 ข้อมูลทั่วไปของตัวรถไฟฟ้าและตลับลูกปืน

โดยข้อมูลที่จะนำมาประกอบการวิเคราะห์นี้จะมีข้อมูลทางด้านเทคนิคของตัวรถไฟฟ้า และข้อมูลของตลับลูกปืนจากผู้ผลิต เพื่อที่จะทำให้การวิเคราะห์นี้มีความถูกต้องและแม่นยำมากขึ้น

ก. ข้อมูลของตัวรถไฟฟ้าซึ่งเป็นข้อมูลการใช้งานทั่วไปที่นักออกแบบ ขนาด ความเร็ว และ การรับภาระ ตารางที่ 3.2 แสดงข้อมูลของตัวรถไฟฟ้า

ตารางที่ 3.2 ข้อมูลของตัวรถไฟฟ้า

ใน 1 ขบวนประกอบด้วยตู้โดยสาร	จำนวน 3 ตู้
ความกว้างและความสูง	กว้าง 3.20 สูง 3.8 เมตร
ความยาวทั้ง 3 ตู้ รวมกันประมาณ	65 เมตร
จำนวนเพลาล้อ	12 เพลา
ใน 1 ขบวนมีตลับลูกปืนจำนวน	24 ลูก
ตัวรถรวมน้ำหนักบรรทุกประมาณ	155 ตัน
ความเร็วสูงสุด	80 กม./ชม.
ความเร็วเฉลี่ย	35 กม./ชม.
ขับเคลื่อนโดยใช้มอเตอร์จำนวน	8 ตัวๆ ละ 230 กิโลวัตต์
รับกระแสไฟฟ้า	750 VDC จากแรงที่สาม
rang กว้าง	1.435 เมตร
ล้อใหม่มีเส้นผ่านศูนย์กลาง	0.850 เมตร

ข. ข้อมูลของตลับลูกปืน โดยจะแบ่งเป็นข้อมูลทั่วไปของตลับลูกปืนที่ใช้ในสอร์คไฟฟ้า ซึ่งบอกถึงรายละเอียดต่างๆ ของการใช้งาน ตารางที่ 3.3 แสดงข้อมูลทั่วไปของตลับลูกปืนจากผู้ผลิต

ตารางที่ 3.3 ข้อมูลทั่วไปของตลับลูกปืนจากผู้ผลิต SKF เบอร์ 1639590A แบบ Taper Roller Bearing Unit (TBU) [25]

การรับภาระ โหลดสูงสุด	32 ตัน
การรับภาระปกติ	ประมาณ 7 ตัน
อุณหภูมิการใช้งานปกติของภาระนี้	75 องศาเซลเซียส
ทิศทางในการรับน้ำหนัก	แนวแกนและแนวรัศมี
ค่าตัวประกอบความถี่ธรรมชาติของเหวนใน (BPFI)	11.70
ค่าตัวประกอบความถี่ธรรมชาติของเหวนนอก (BFO)	9.30
ค่าตัวประกอบความถี่ธรรมชาติของการหมุนเมื่อลูกปืน (BSF)	4.26
ค่าตัวประกอบความถี่ธรรมชาติของรังพื้นฐาน (FTF)	0.44

และข้อมูลของตลับลูกปืนที่ใช้ในการทดสอบจำนวน 10 ขบวน จากรถไฟฟ้าทั้งหมด 35 ขบวน และตลับลูกปืนที่ทำการทดสอบภายนอกตัวรถอีกจำนวน 6 ลูก โดยแบ่งเป็นทั้งหมด 4 Class ตารางที่ 3.4 แสดงรายละเอียดของตลับลูกปืนที่ใช้ในการทดสอบ

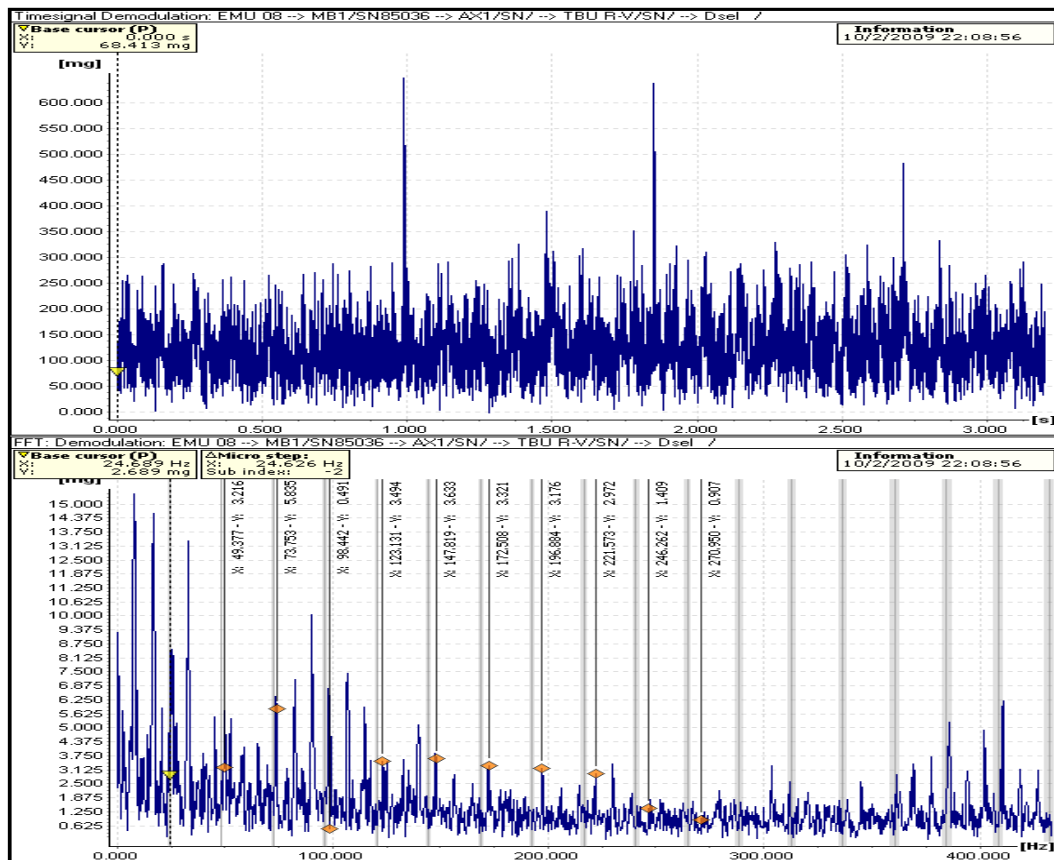
1. Class New เป็นตลับลูกปืนใหม่ที่ยังไม่มีการใช้งานมาก่อน จำนวน 96 ลูก
2. Class A เป็นตลับลูกปืนที่ผ่านการใช้งานมาแล้ว 6 ปี และได้รับการบำรุงรักษาแล้ว (สภาพดี) จำนวน 96 ลูก
3. Class B เป็นตลับลูกปืนที่ผ่านการใช้งานมาแล้ว 6 ปี และได้รับการบำรุงรักษาแล้ว (สภาพพอใช้) จำนวน 48 ลูก
4. Class C เป็นตลับลูกปืนที่ผ่านการทดสอบภายนอกตัวรถ จำนวน 6 ลูก เป็นตลับลูกปืนที่ทำการทดสอบภายนอกตัวรถ จำนวน 6 ลูก

ตารางที่ 3.4 รายละเอียดของตลับลูกปืนที่ใช้ในการทดสอบ

Class	จำนวน (ลูก)	การใช้งาน (ปี)	สภาพ
New	96	ไม่มีการใช้งานมาก่อน	ของใหม่
A	96	6	ดี
B	48	6	พอใช้
C	6	6	แย่

3.4.6 สัญญาณความถี่จากการวัด

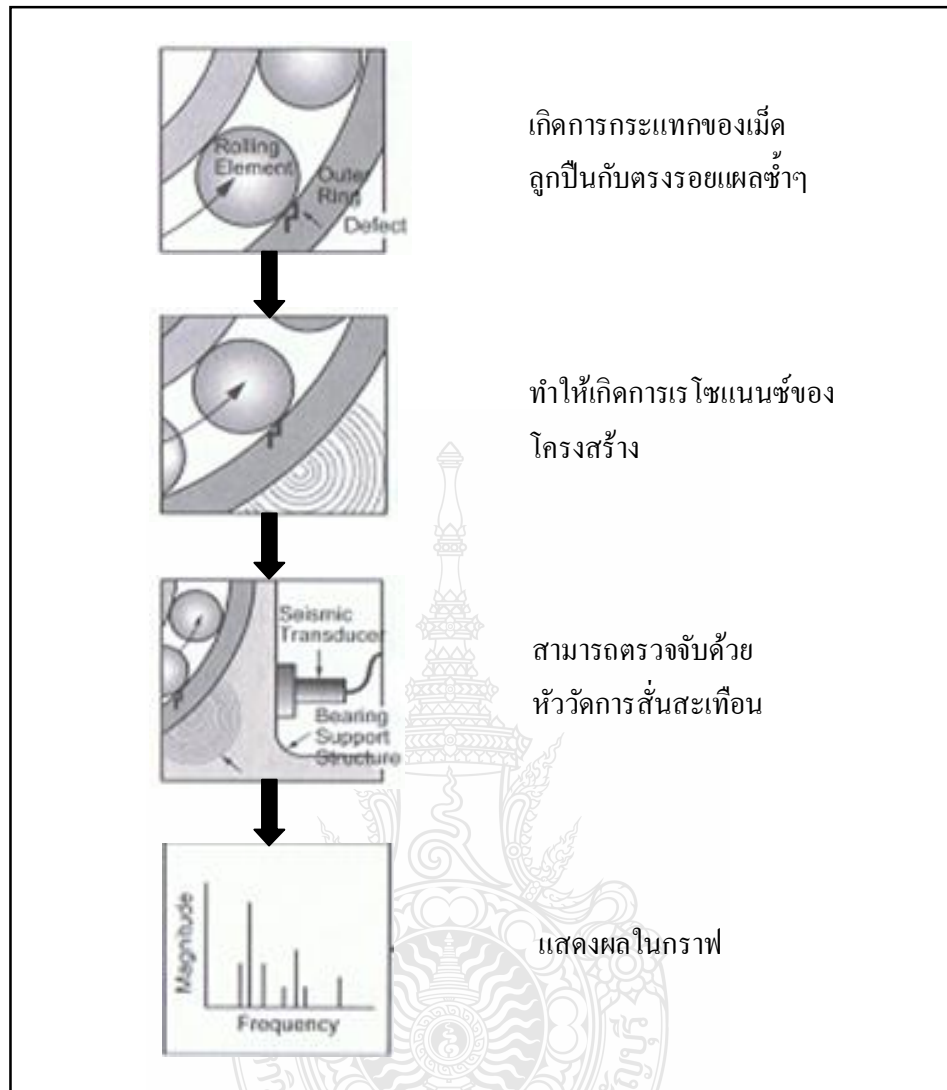
การสั่นสะเทือนเกิดขึ้นเมื่อเครื่องจักรนั้นมีการหมุน ซึ่งทำให้เกิดสัญญาณความถี่ของชิ้นส่วนภายใน และความถี่ของการเสียหายในรูปแบบต่างๆ รูปที่ 3.22 แสดงความถี่จากการวัด



รูปที่ 3.22 ความถี่จากการวัด

3.5 การวิเคราะห์ความเสียหาย

การวิเคราะห์ความเสียหายของตัวลับลูกปืนในที่นี้จะทำการวิเคราะห์ความเสียหายโดยมุ่งเน้นการวิเคราะห์ในรูปแบบของกราฟโดยเมนความถี่ (Frequency Analysis) หรือการแสดงผลในรูปแบบของกราฟสเปกตรัม (Spectrum Plot) โดยแกนตั้งจะเป็นขนาดของการสั่นสะเทือน (Amplitude) โดยจะใช้หน่วยวัดแบบระยะทาง ความเร็ว หรือความเร่ง และแกนนอนจะแสดงค่าความถี่ (Frequency) ของการสั่นสะเทือนที่เกิดจากตัวลับลูกปืนนั้น ในการวิเคราะห์แบบกราฟสเปกตรัมนี้ สามารถแปลความหมายโดยแกนตั้งจะบ่งบอกถึงความรุนแรงของการสั่นสะเทือน ส่วนแกนนอนจะบอกถึงลักษณะปัญหา หรือแหล่งที่มาของการสั่นสะเทือนนั้นว่าอยู่ตรงตำแหน่งไหนของตัวลับลูกปืน และอาจจะมีการวิเคราะห์ในรูปแบบกราฟอื่นๆ เพิ่มเติม เพื่อหาความสัมพันธ์ของสัญญาณการสั่นสะเทือนและระดับการสึกหรอของตัวลับลูกปืน รูปที่ 3.23 แสดงลักษณะสัญญาณความเสียหายของตัวลับลูกปืน



รูปที่ 3.23 สัญญาณความเสียง helyahayของลับลูกปืน

บทที่ 4

ผลการทดลอง

4.1 บทนำ

ในบทนี้จะกล่าวถึงผลที่ได้จากการจำแนกความเสียหายและวิธีการวิเคราะห์การสั่นสะเทือนจาก การทดลองซึ่งจะประกอบไปด้วย การเปรียบเทียบระดับการสั่นสะเทือนของตลับลูกปืน Class ต่างๆ การวิเคราะห์ใน Time Domain และ Spectrums Domain การประเมินอายุการใช้งาน ผลการทดลอง และวิจารณ์ผล ซึ่งในงานวิจัยขึ้นนี้ได้ทำการทดลองกับตลับลูกปืนจริง โดยการจำกัดความเร็วรอบ และการรับภาระให้คงที่ เพื่อที่จะได้เปรียบเทียบผลของสัญญาณจากการวัดแต่ละครั้งบนตลับลูกปืน เกิดความเสียหาย และจำกัดตัวแปรต่างๆ ให้เหมาะสมกับงานวิจัย ซึ่งได้ทำการวัดการสั่นสะเทือนภายในโรงชั่อมบำรุง โดยทำการวัดบนเครื่องกลึงล้อ (Under Floor Wheel Lathe) ซึ่งตลับลูกปืนนี้ได้ ติดตั้งอยู่กับตัวรถไฟฟ้าในลักษณะเหมือนการใช้งานจริงทุกประการ และทำการเก็บข้อมูลตั้งแต่เริ่มใช้งานไปจนตลับลูกปืนเกิดความเสียหาย โดยใช้เครื่องมือวัดการสั่นสะเทือนแบบพกพา และใช้ซอฟต์แวร์สำหรับวิเคราะห์ในผลการวิเคราะห์ผล

4.2 ผลจากการจำแนกตลับลูกปืน

จากการศึกษาพบว่าเมื่อทำการวิเคราะห์ความเสียหายของตลับลูกปืนที่ผ่านการใช้งานมาแล้ว และถึงระยะเวลาทำการบำรุงรักษาตามกำหนดของผู้ผลิต พบว่าสามารถที่จะแบ่งระดับของความเสียหายออกได้โดยอาศัยการเปรียบเทียบเปอร์เซ็นต์ความเสียหายที่เกิดขึ้นบนหน้าสัมผัสด้วยตลับลูกปืน ต่อพื้นที่ผิวที่รับภาระทั้งหมด จากการศึกษาพบว่าตลับลูกปืนที่ผ่านการใช้งานตามระยะเวลาที่กำหนด สามารถจำแนกออกได้เป็น 3 ระดับคือระดับ A, B และ C โดยระดับ A ซึ่งมีเปอร์เซ็นต์ความเสียหายต่อพื้นที่ผิวที่รับภาระอยู่ที่ 1-15% จะมีอายุการใช้งานได้อีกประมาณ 300,000-500,000 กิโลเมตร ระดับ B ซึ่งมีเปอร์เซ็นต์ความเสียหายอยู่ที่ 15-30% จะมีอายุการใช้งานได้อีกประมาณ 200,000-300,000 กิโลเมตร และระดับ C ซึ่งมีเปอร์เซ็นต์ความเสียหาย 30-50% จะมีอายุการใช้งานค่อนข้างน้อยจึงไม่นำไปใช้งาน เนื่องจากไม่คุ้มค่ากับการบำรุงรักษา ตารางที่ 4.1 แสดงอายุการใช้งานที่เหลืออยู่หลังจากการบำรุงรักษา โดยในตารางนี้จะบอกถึงอายุการใช้งานเป็นปี หรือระยะทางที่ใช้ได้อีกซึ่งเทียบมาจากใน 1 ปีรถไฟฟ้านั้นจะวิ่งได้ระยะทางประมาณ 100,000 กิโลเมตร (km)

ตารางที่ 4.1 อายุการใช้งานที่เหลืออยู่หลังจากผ่านการบำรุงรักษา

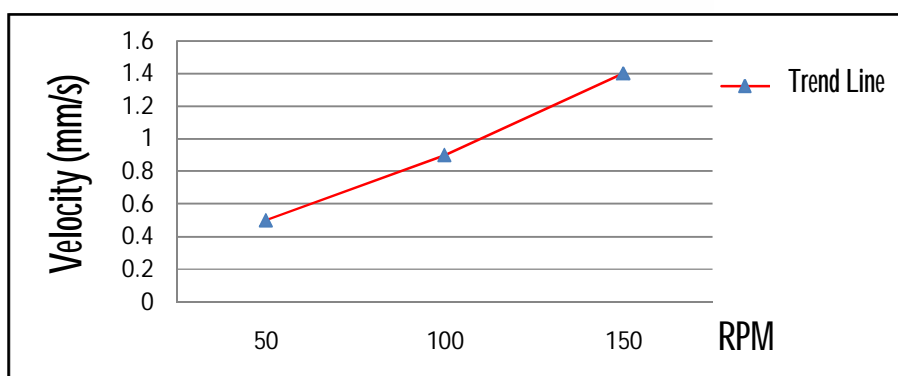
ระดับ (Class)	การใช้งานหลังจากผ่านการบำรุงรักษา	
	อายุการใช้งานที่เหลืออยู่	ระยะทางที่ใช้ได้อีก
A	3-5 ปี	300,000-500,000 km
B	2-3 ปี	200,000-300,000 km
C	ไม่แนะนำให้ใช้งาน	

4.3 ผลจากการวัดการสั่นสะเทือน

ในการวัดการสั่นสะเทือนนี้ได้มีการทดลองและกำหนดค่าตัวแปรต่างๆ ที่จะใช้ในการวิเคราะห์ผล เพื่อให้มีความเหมาะสมและสามารถแสดงรายละเอียดได้ชัดเจน ซึ่งผลที่ได้จากการกำหนดเงื่อนไขในการวัดค่าการสั่นสะเทือนเบื้องต้น ที่มีผลต่อการวิเคราะห์ความเสียหายโดยหลักๆ แล้วมีดังนี้

4.3.1 ผลจากความเร็วรอบ

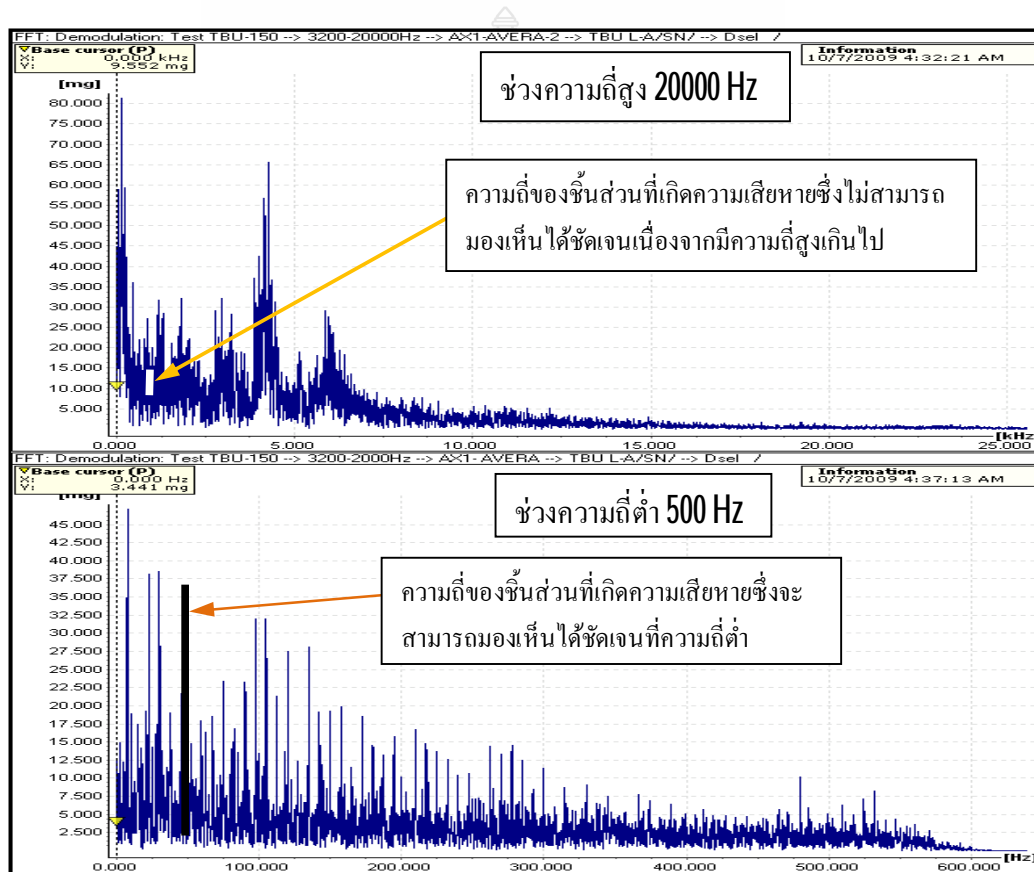
สำหรับความเร็วรอบที่ใช้ในการวัดนั้นมีอยู่ 3 ค่าคือ 50, 100 และ 150 รอบต่อนาที รูปที่ 4.1 แสดงความเร็วรอบที่มีผลต่อค่าการสั่นสะเทือน โดยขึ้นกับขีดจำกัดของเครื่องกลึงล้อซึ่งเป็นต้นกำลังในการขับล้อให้หมุน จากผลที่ได้ในการวัดที่ความเร็วรอบต่างๆ นั้นจะเห็นถึงระดับการสั่นสะเทือนที่เพิ่มขึ้นเมื่อความเร็วรอบสูงขึ้น โดยจะทำให้เห็นรายละเอียดในกราฟแสดงผลได้ชัดเจน ซึ่งส่งผลดีในการวิเคราะห์ความเสียหาย ในงานวิจัยนี้จะเน้นใช้ความเร็วรอบสูงสุดในการวิเคราะห์คือ 150 รอบต่อนาที ซึ่งเท่ากับความเร็ว 48 กิโลเมตรต่อชั่วโมงในขณะรถวิ่ง แต่ถึงกระนั้นถ้าหากทำได้ ควรจะวัดที่ความเร็วรอบสูงกว่า หรือประมาณ 300 รอบต่อนาที หรือเท่ากับความเร็ว 96 กิโลเมตรต่อชั่วโมงในขณะรถวิ่ง ซึ่งจะໄกัดเคียงกับความเร็วสูงสุดของตัวรถเพื่อให้ได้สัญญาณที่ชัดเจนมากขึ้น และง่ายต่อการวิเคราะห์ความเสียหาย



รูปที่ 4.1 ความเร็วรอบที่มีผลต่อค่าการสั่นสะเทือน

4.3.2 ผลกระทบความถี่ที่ใช้ในการวัดค่าการสั่นสะเทือน

ช่วงค่าความถี่ที่ใช้ในการวัดนั้นแบ่งออกเป็น 2 ช่วง คือที่ช่วงความถี่สูงและช่วงความถี่ต่ำ รูปที่ 4.2 แสดงผลในช่วงความถี่สูงและช่วงความถี่ต่ำ โดยในช่วงความถี่สูงนั้นใช้สำหรับการวิเคราะห์ความเสียหายในช่วงเริ่มต้นที่ย่านความถี่หนึ่งเสียง (**Ultrasonic**) จากการวิเคราะห์เบื้องต้นพบว่าการแยกแยะความถี่ของคลับลูกปืนที่เกิดความเสียหายทำได้ยากเนื่องจากมีสัญญาณรบกวนจำนวนมาก และประกอบกับความเร็วรอบที่ใช้ในการวัดค่อนข้างต่ำ ดังนั้นในการวิเคราะห์ความเสียหายจะเน้นวิเคราะห์ในช่วงความถี่ต่ำ ซึ่งจะมีความเหมาะสมสำหรับการวิเคราะห์และประเมินอายุก่อนที่คลับลูกปืนนั้นจะเกิดความเสียหายขึ้นรุนแรง

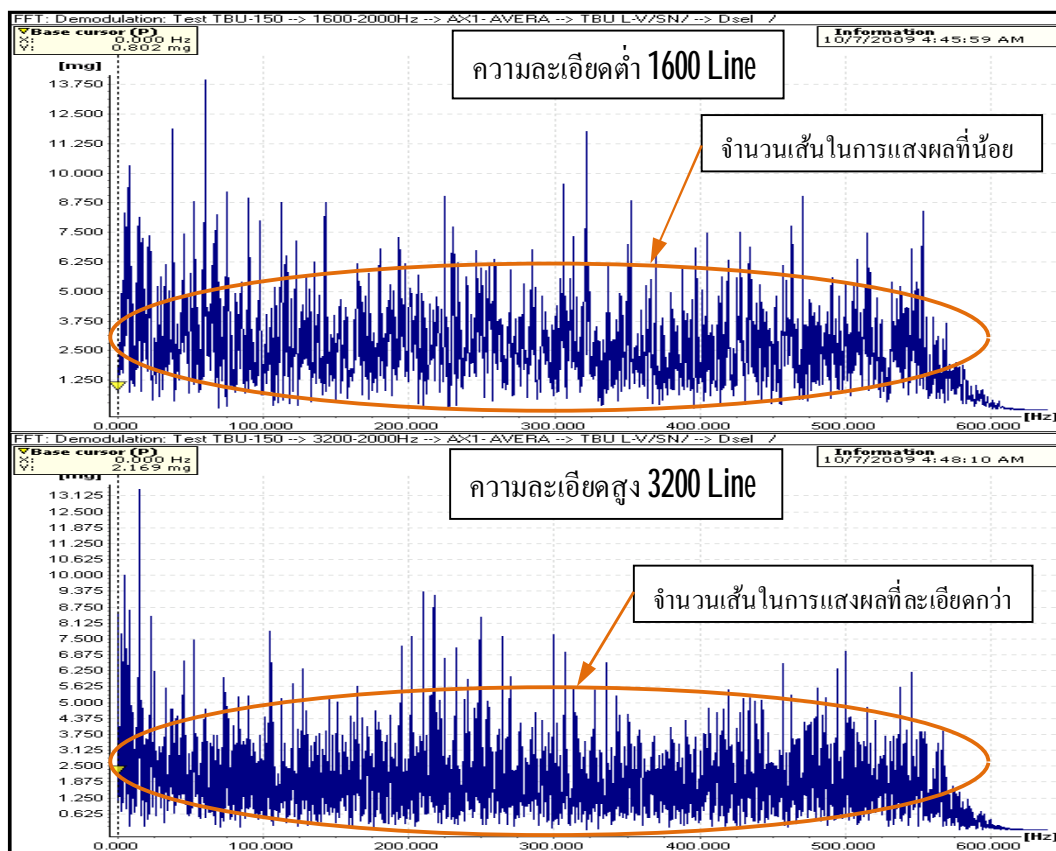


รูปที่ 4.2 ผลในช่วงความถี่สูงและช่วงความถี่ต่ำ

4.3.3 ผลกระทบความละเอียดในการแสดงผล

ความละเอียดในการภาพแสดงผลนั้นจะขึ้นอยู่กับค่าจำนวนเส้น (**Line**) ที่ได้มีการกำหนดไว้ในตอนแรกจากเงื่อนไขในการวัด รูปที่ 4.3 แสดงความละเอียดในการภาพแสดงผล ทั้งนี้ในการตั้งค่าให้

มีความละเอียดสูงนั้นก็จะต้องใช้ระยะเวลาในการวัดเพิ่มขึ้น เช่นกัน ซึ่งในงานวิจัยนี้จะเน้นใช้ความละเอียดที่ 3200 Line เพื่อความชัดเจนในการวิเคราะห์ผล



รูปที่ 4.3 ความละเอียดในการแสดงผล

4.4 ผลจากการเปรียบเทียบระดับการสั่นสะเทือนของตลับลูกปืน Class ต่างๆ

ผลของการวัดการสั่นสะเทือนนั้น ได้มีการวัดอยู่หลายรูปแบบรวมถึงตัวแปรที่มีการกำหนดไว้ในตอนแรก เพื่อที่จะนำค่าต่างๆ มาใช้ในการวิเคราะห์ความเสียหาย อาทิเช่น พังก์ชันที่ใช้ในการวัดความถี่ที่ใช้ ความเร็วรอบ ตำแหน่งที่ติดตั้งหัววัด ฯลฯ โดยข้อมูลดังกล่าวจะเป็นข้อมูลที่จะนำมาเปรียบเทียบความแตกต่างของสัญญาณที่มีการเปลี่ยนแปลง และแสดงให้เห็นถึงลักษณะความเสียหายที่เพิ่มขึ้นในหน่วยความเร็ว (mm/s) ตารางที่ 4.2 แสดงค่าการสั่นสะเทือนของตลับลูกปืน Class New ตารางที่ 4.3 แสดงค่าการสั่นสะเทือนของตลับลูกปืน Class A ตารางที่ 4.4 แสดงค่าการสั่นสะเทือนของตลับลูกปืน Class B และตารางที่ 4.5 แสดงค่าการสั่นสะเทือนของตลับลูกปืน Class C สำหรับลักษณะของตัวรถและการติดตั้งตลับลูกปืนนั้นสามารถดูได้จากรูปที่ 3.21 โดยที่ ($R = \text{ค้านซ้าย}$ $L = \text{ค้านขวา}$) ที่ความเร็วรอบ 150 RPM

ตารางที่ 4.2 ค่าการสั่นสะเทือนของตับลูกปืนในหน่วยความเร็ว (mm/s) Class New จำนวน 96

ลูก หรือรถไฟฟ้า 4 ขบวน

เพลา ขบวน		1	2	3	4	5	6	7	8	9	10	11	12
1	L	0.53	0.60	0.66	0.50	0.57	0.52	0.49	0.73	0.60	0.53	0.50	0.64
	R	0.48	0.55	0.68	0.82	0.61	0.58	0.81	0.62	0.74	0.96	0.77	0.63
2	L	0.71	0.73	0.67	0.59	0.55	0.67	0.81	0.52	0.63	0.58	0.67	0.89
	R	0.64	0.56	0.50	0.62	0.71	0.52	0.64	0.68	0.50	0.76	0.82	0.46
3	L	0.90	0.54	0.62	0.71	0.51	0.48	0.55	0.53	0.56	0.64	0.48	0.59
	R	0.65	0.62	0.71	0.63	0.66	0.56	0.62	0.52	0.67	0.73	0.42	0.67
4	L	0.66	0.82	0.77	0.50	0.46	0.55	0.58	0.51	0.62	0.78	0.68	0.71
	R	0.62	0.74	0.59	0.66	0.82	0.78	0.48	0.59	0.50	0.61	0.63	0.53

ตารางที่ 4.3 ค่าการสั่นสะเทือนของตับลูกปืนในหน่วยความเร็ว (mm/s) Class A จำนวน 96 ลูก

หรือรถไฟฟ้า 4 ขบวน

เพลา ขบวน		1	2	3	4	5	6	7	8	9	10	11	12
1	L	0.90	0.82	0.98	0.79	0.84	0.96	0.78	0.96	0.84	0.99	0.86	0.77
	R	0.60	0.88	0.76	0.62	0.85	0.94	0.96	0.65	0.69	0.84	0.99	0.91
2	L	1.10	0.83	0.84	0.76	0.82	0.83	0.97	0.67	0.63	1.11	0.91	0.99
	R	0.69	0.96	0.87	0.86	0.66	0.63	0.52	0.90	0.95	0.84	0.72	0.70
3	L	0.88	0.97	0.90	0.96	1.20	0.69	0.88	0.97	1.23	0.82	0.67	0.99
	R	0.68	0.76	0.91	0.75	0.86	0.97	0.93	0.88	0.86	0.73	1.00	1.01
4	L	0.90	0.86	0.94	1.02	0.97	0.99	0.86	0.73	0.77	0.82	0.91	1.11
	R	0.69	0.82	0.97	0.93	0.94	0.99	0.91	0.92	0.82	0.94	0.96	0.88

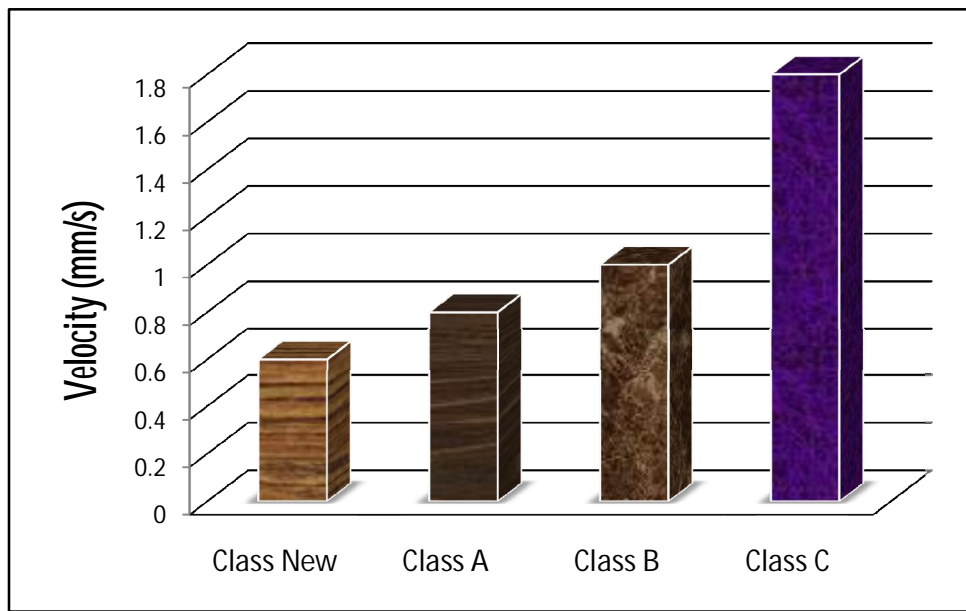
ตารางที่ 4.4 ค่าการสั่นสะเทือนของตลับลูกปืนในหน่วยความเร็ว (mm/s) Class B จำนวน 48 ลูก
หรือรถไฟฟ้า 2 ขบวน

เพลา ขบวน		1	2	3	4	5	6	7	8	9	10	11	12
1	L	1.20	1.23	1.00	0.82	1.04	1.60	0.96	0.74	0.99	1.30	1.21	1.11
	R	1.02	0.94	0.98	1.12	1.69	2.00	0.89	1.56	1.61	1.22	0.79	1.00
2	L	0.96	1.10	1.23	0.99	0.78	1.30	1.25	1.00	1.59	1.05	0.89	1.20
	R	0.79	0.97	1.50	1.11	1.13	0.96	1.20	0.86	1.25	1.74	0.96	1.22

ตารางที่ 4.5 ค่าการสั่นสะเทือนของตลับลูกปืนในหน่วยความเร็ว (mm/s) Class C จำนวน 6 ลูก

เพลา ขบวน		1	2	3
L	1.50	1.35	2.2	
	R	1.2	1.78	1.89

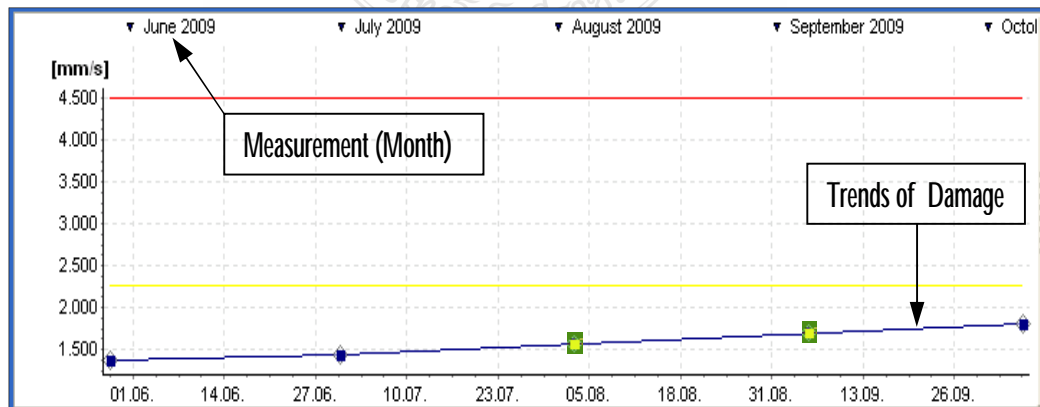
จากตารางที่ 4.2, 4.3, 4.4 และ 4.5 จะประกอบด้วยตลับลูกปืนทั้งหมด 4 Class ซึ่งทำการวัดภายในได้เงื่อนไขเดียวกัน โดยใช้ค่าการสั่นสะเทือนในมาตรฐาน ISO 10816 (10 - 1000 Hz) ในหน่วย mm/s (ค่าความเร็ว) จากนั้นนำค่าที่ได้มาทำการพล็อตกราฟเพื่อเปรียบเทียบค่าการสั่นสะเทือนในหน่วย mm/s ของตลับลูกปืนแต่ละ Class รูปที่ 4.4 แสดงการเปรียบเทียบตลับลูกปืนแต่ละ Class จะเห็นว่า Class C มีระดับการสั่นสะเทือนสูงที่สุด ซึ่งเป็นตลับลูกปืนที่เกิดความเสียหายและไม่เหมาะสมที่จะใช้งานต่อไปอีก ส่วน Class B และ A นั้นยังสามารถที่จะใช้งานต่อไปได้แต่จะต้องทำการตรวจสอบเป็นระยะ เพื่อประเมินอาชุกริการใช้งานที่เหลืออยู่มากกว่าที่ได้ในการวัดแต่ละครั้ง ทั้งนี้ค่าที่ได้ในรูปด้านล่างจะมีการเปลี่ยนแปลงถ้าหากทำการวัดภายในได้เงื่อนไขที่แตกต่าง ซึ่งจะทำให้การประเมินมีความคาดเดือนและไม่ตรงกับความเสียหายจริง ส่วนในเรื่องของวิธีการประเมินนั้นจะได้อธิบายต่อไปในหัวข้อการวิเคราะห์ความเสียหายและประเมินอายุการใช้งาน



รูปที่ 4.4 การเปรียบเทียบระดับการสั่นสะเทือนของตลับลูกปืนแต่ละ Class ที่ความเร็วอยู่ 150 RPM

4.4.1 ผลจากการทดสอบโน้ม

เป็นการเปรียบเทียบกันระหว่างการวัดแต่ละครั้งเพื่อดูค่าการสั่นสะเทือนที่เพิ่มขึ้น จากการวัดตลับลูกปืนที่เกิดความเสียหายจะเห็นว่ามีการเปลี่ยนแปลงไปจากค่าเดิม โดยกราฟมีแนวโน้มที่สูงขึ้นเรื่อยๆ จนตลับลูกปืนเกิดความเสียหาย รูปที่ 4.5 แสดงกราฟแนวโน้ม ทั้งนี้ขึ้นอยู่กับสภาพโดยรวมที่ใช้ในการวัด เช่น ส่อจะต้องมีการกลึงก่อนที่จะทำการวัด การสั่นสะเทือนของตันกำลังจะต้องน้อย จากเหตุผลดังกล่าวซึ่งจะเป็นข้อจำกัดของการประเมินค่าwhythis



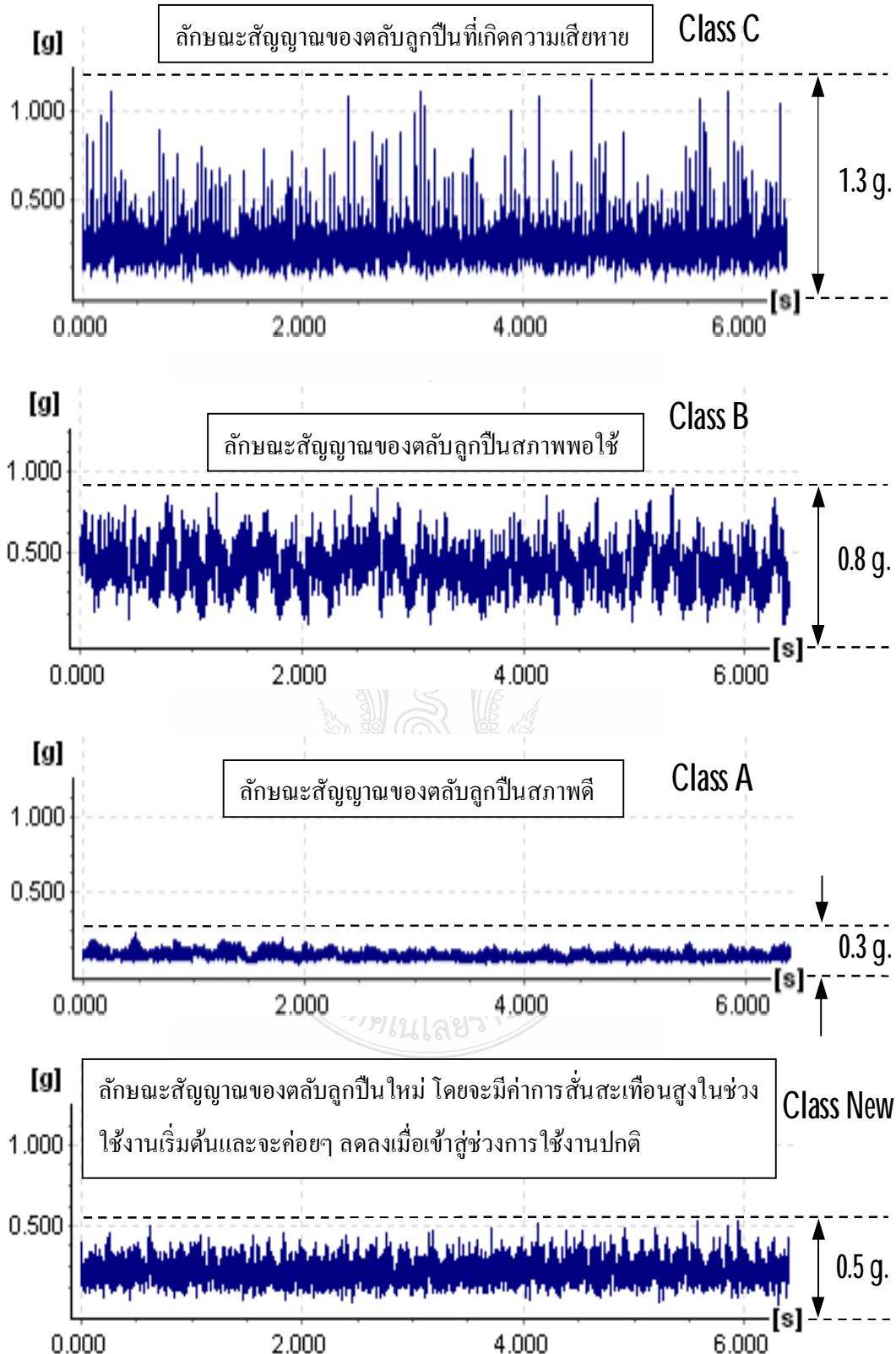
รูปที่ 4.5 กราฟแนวโน้ม

4.5 การวิเคราะห์ความเสียหายและประเมินหาอายุการใช้งาน

จากค่าการสั่นสะเทือนในมาตรฐาน ISO 10816 ดังที่ได้กล่าวก่อนหน้านี้เป็นการสั่นสะเทือนแบบโดยรวม (Overall Vibration) ซึ่งจะไม่ระบุสาเหตุที่ชัดเจนของความเสียหาย เป็นเพียงการตรวจสอบสภาพโดยรวมของตลับลูกปืนทั้งลูก และจะตรวจสอบกีดอเมื่อตลับลูกปืนเกิดความเสียหายในระดับที่สูงแล้ว ดังนั้นในการวิเคราะห์ความเสียหายจำเป็นที่ต้องใช้วิธีการวิเคราะห์แบบเจาะจงไปที่ชิ้นส่วนต่างๆ สำหรับงานวิจัยชิ้นนี้ได้มีการวัดด้วยฟังก์ชันหลักๆ 3 ฟังก์ชันด้วยกันคือ Velocity, Acceleration และ Demodulation แต่จะเน้นเฉพาะการวิเคราะห์ด้วยฟังก์ชัน Demodulation เป็นหลัก เนื่องจากเป็นการปรับแต่งสัญญาณความเสียหายของตลับลูกปืนที่มีขนาดต่ำให้มีขนาดสูงขึ้น ซึ่งจะทำให้เห็นสัญญาณความเสียหายได้ชัดเจนยิ่งขึ้น และในฟังก์ชันก็จะประกอบไปด้วยกราฟต่างๆ อาทิ เช่น กราฟแนวโน้ม (Trend Line) กราฟความถี่ในโดเมนเวลา (Time Domain) กราฟความถี่ในโดเมนสเปกตรัม (Spectrums Domain) โดยการวิเคราะห์ความถี่การสั่นสะเทือนผิดปกติของตลับลูกปืน เป็นการวิเคราะห์สาเหตุที่เป็นจุดเริ่มต้นและที่มาของความเสียหาย ว่ามาจากชิ้นส่วนใดของตลับลูกปืน ส่วนระดับความรุนแรงนั้นจะดูได้จาก Time Domain และ จำนวน Harmonics ใน Spectrums Domain ซึ่งจะสามารถวิเคราะห์ได้ดังนี้

4.5.1 การวิเคราะห์ใน Time Domain

เป็นวิธีการตรวจวัดการสั่นสะเทือนโดยถูกยักยอกและการเปลี่ยนแปลงขนาดการสั่นในเวลาหนึ่งๆ ซึ่งเป็นสัญญาณการสั่นจริงตามลักษณะสภาพตลับลูกปืน รูปที่ 4.6 แสดงกราฟความถี่ในโดเมนเวลาของตลับลูกปืนแต่ละ Class ที่ความเร็วรอบ 150 RPM ซึ่งจะเห็นว่าตลับลูกปืนใน Class C นั้นจะมีคลื่นเวลาของการสั่นที่มีการกระแทกในบางขณะระหว่างเม็ดลูกปืนกับบริเวณที่เกิดความเสียหาย ซึ่งจะมีระดับการสั่นสะเทือนที่สูง โดยมีค่าประมาณ 1.3 g ส่วน Class B นั้นจะเป็นตลับลูกปืนสภาพพอใช้ โดยมีค่าการสั่นสะเทือนในระดับปานกลางประมาณ 0.8 g และ Class A จะมีสัญญาณการสั่นสะเทือนที่น้อย ซึ่งเป็นตลับลูกปืนสภาพดีโดยมีค่าประมาณ 0.3 g สำหรับ Class New นั้นจะเป็นตลับลูกปืนใหม่ที่ยังไม่มีการใช้งานมาก่อน โดยจะมีค่าการสั่นสะเทือนสูงในช่วงการใช้งานเริ่มต้นและจะค่อยๆ ลดลงเมื่อเข้าสู่ช่วงการใช้งานปกติ ซึ่งระดับความรุนแรงนั้นๆ ได้จากการวัด Amplitude หน่วยเป็น g หรือ mg (ค่าความเร่ง) ในแนวแกนตั้ง โดยสัญญาณใน Time Domain นั้นจะเป็นความถี่จากการวัดที่ยังไม่ได้มีการปรับปรุงสัญญาณ ซึ่งเป็นความถี่โดยรวมของตลับลูกปืน



รูปที่ 4.6 กราฟความถี่ใน Time Domain ของตลับลูกปืนแต่ละ Class ที่ความเร็วอยู่ 150 RPM

4.5.2 การวิเคราะห์ใน Spectrums Domain

เป็นการแสดงความสัมพันธ์ระหว่างขนาดการสั่นสะเทือนกับความถี่แต่ละตำแหน่ง โดยการจำแนกสัญญาณคลื่นความถี่ที่เกิดขึ้นจากการสั่นสะเทือนในส่วนประกอบต่างๆ ของตัวลับลูกปืนจากคลื่นไซน์ไปเป็นสเปกตรัมตามวิธีการของ **FFT Demodulation** และสำหรับชิ้นส่วนในตัวลับลูกปืนประกอบไปด้วย แหวนนอก แหวนใน เม็ดลูกปืน และรัง โดยการวิเคราะห์ชิ้นส่วนสำหรับตัวลับลูกปืนที่ใช้อยู่ในล้อรถไฟฟ้านี้ เราจะให้ความสำคัญกับตัวแหวนนอกก่อนเนื่องมาจากแหวนนอกจะยึดอยู่กับที่ซึ่งเป็นผลทำให้เกิดความเสียงหายบิเรเวนที่รับผลกระทบจากความถี่ตัวแหวนใน เม็ดลูกปืน และรัง ตามลำดับ จากชิ้นส่วนต่างๆ ที่ได้กล่าวมานี้จะมีความถี่เฉพาะของแต่ละชิ้นส่วนซึ่งจะทำให้เราสามารถทราบว่าชิ้นส่วนไหนเกิดความเสียงหาย โดยบิเรเวนที่เกิดความเสียงหายนี้จะส่งสัญญาณการสั่นสะเทือนจากการกระทบกันระหว่างเม็ดลูกปืนที่วิ่งผ่านบิเรเวนที่เกิดความเสียงหาย ออกระดับต่ำลงให้เกิดการเรโซแนนซ์ (Resonance) ของชิ้นส่วนนั้นๆ และสามารถที่จะตรวจจับด้วยเครื่องมือวัดการสั่นสะเทือน โดยความเสียงของแต่ละชิ้นส่วนจะหาได้จากการคำนวณแล้วจะนำค่าที่ได้นั้นไปใช้ในการหาตำแหน่งความถี่ของแต่ละชิ้นส่วนจากการทดสอบผล ซึ่งความถี่เฉพาะของตัวลับลูกปืนที่ใช้ในล้อรถไฟฟ้านี้จะไม่มีในโปรแกรมสำเร็จรูป โดยจะต้องขอค่าตัวประกอบจากบริษัทผู้ผลิตและคำนวณหาความถี่เอง รูปที่ 4.7 แสดงการคำนวณหาความถี่ของชิ้นส่วน

-ค่าตัวประกอบความถี่ธรรมชาติโดยสารลดลงจากสมการที่ 2.10, 2.11, 2.12, 2.13 และตารางที่ 3.3 สำหรับความถี่ที่ได้จากการคำนวณจะนำไปใช้ในโปรแกรมวิเคราะห์ผล ดังขั้นตอนในรูปที่ 4.8 ในส่วนความถี่จากการคำนวณ

$$\frac{N_b}{2} \left(1 - \frac{B_d}{P_c} \cos \theta \right) = \boxed{\text{ค่าตัวประกอบความถี่ธรรมชาติของแหวนนอก} = 9.30} \quad (4.1)$$

$$\frac{N_b}{2} \left(1 + \frac{B_d}{P_c} \cos \theta \right) = \boxed{\text{ค่าตัวประกอบความถี่ธรรมชาติของแหวนใน} = 11.70} \quad (4.2)$$

$$\frac{P_d}{2B_d} \left(1 - \left(\frac{B_d}{P_c} \right)^2 \cos^2 \theta \right) = \boxed{\text{ค่าตัวประกอบความถี่ธรรมชาติของการหมุนเม็ดลูกปืน} = 4.26} \quad (4.3)$$

$$\frac{1}{2} \left(1 - \frac{B_d}{P_c} \cos \theta \right) = \boxed{\text{ค่าตัวประกอบความถี่ธรรมชาติของรังพื้นฐาน} = 0.44} \quad (4.4)$$

-ค่าตัวประกอบความถี่ธรรมชาติของเหวานอก = 9.30

-ความเร็วรอบ 150 RPM

$$BPFO = \frac{N_b}{2} \left(1 - \frac{B_d}{P_c} \cos \theta \right) RPM$$

$$BPFO = \frac{(9.30)150}{60}$$

$$= 23.25 Hz$$

-ค่าตัวประกอบความถี่ธรรมชาติของเหวานใน = 11.70

-ความเร็วรอบ 150 RPM

$$BPFI = \frac{N_b}{2} \left(1 + \frac{B_d}{P_c} \cos \theta \right) RPM$$

$$BPFI = \frac{(11.70)150}{60}$$

$$= 29.25 Hz$$

-ค่าตัวประกอบความถี่ธรรมชาติของการหมุนเม็ดลูกปืน = 4.26

-ความเร็วรอบ 150 RPM

$$BSF = \frac{P_d}{2B_d} \left(1 - \left(\frac{B_d}{P_c} \right)^2 \cos^2 \theta \right) RPM$$

$$BSF = \frac{(4.26)150}{60}$$

$$= 10.65 Hz$$

-ค่าตัวประกอบความถี่ธรรมชาติของรังพื้นฐาน = 0.44

-ความเร็วรอบ 150 RPM

$$FTF = \frac{1}{2} \left(1 - \frac{B_d}{P_c} \cos \theta \right) RPM$$

$$FTF = \frac{(0.44)150}{60}$$

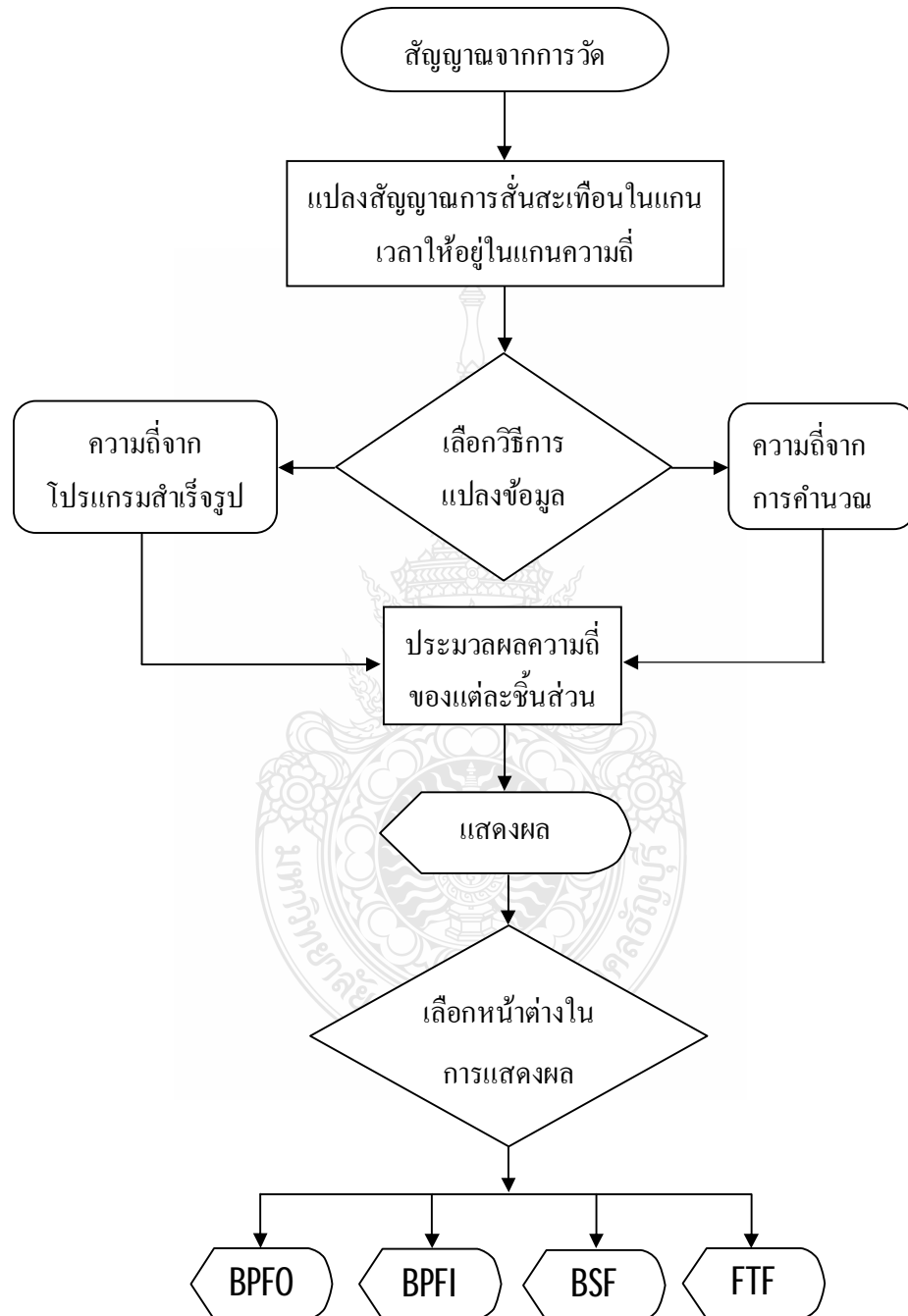
$$= 1.1 Hz$$

$BPFO = 23.25 Hz$
 $BPFI = 29.25 Hz$
 $BSF = 10.65 Hz$
 $FTF = 1.1 Hz$

นำความถี่ที่ได้จากการคำนวณไปใช้ในโปรแกรมวิเคราะห์ผลในรูปที่ 4.8 ในส่วน ความถี่จากการคำนวณ

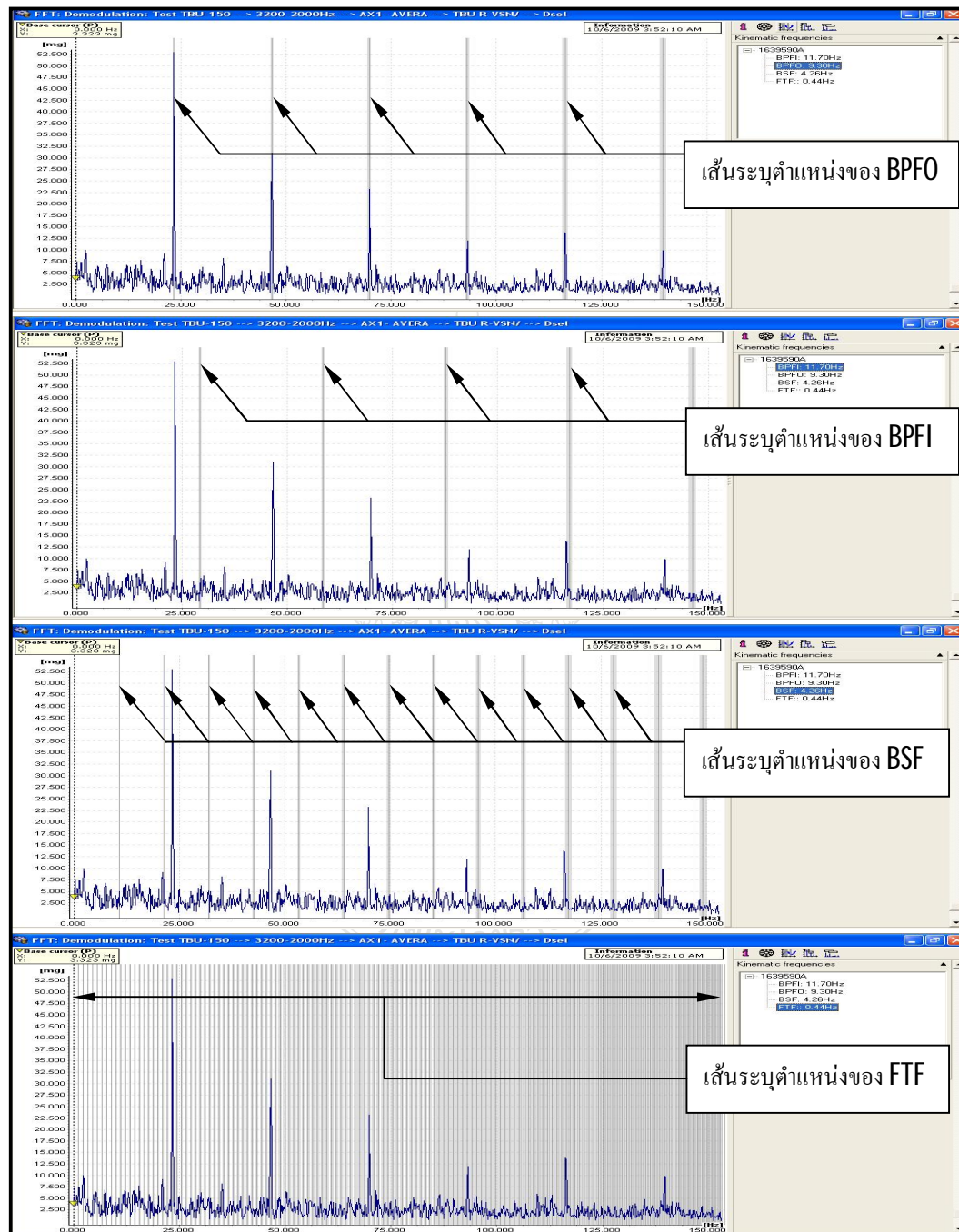
รูปที่ 4.7 การคำนวณหาความถี่ของชิ้นส่วน

ขั้นตอนในการแสดงความถี่ของชีนส่วนต่างๆ โดยในส่วนนี้จะทำหน้าที่ระบุตำแหน่งความถี่ของแต่ละชีนส่วนในกราฟแสดงผล รูปที่ 4.8 แสดงขั้นตอนในการแสดงความถี่ของชีนส่วน



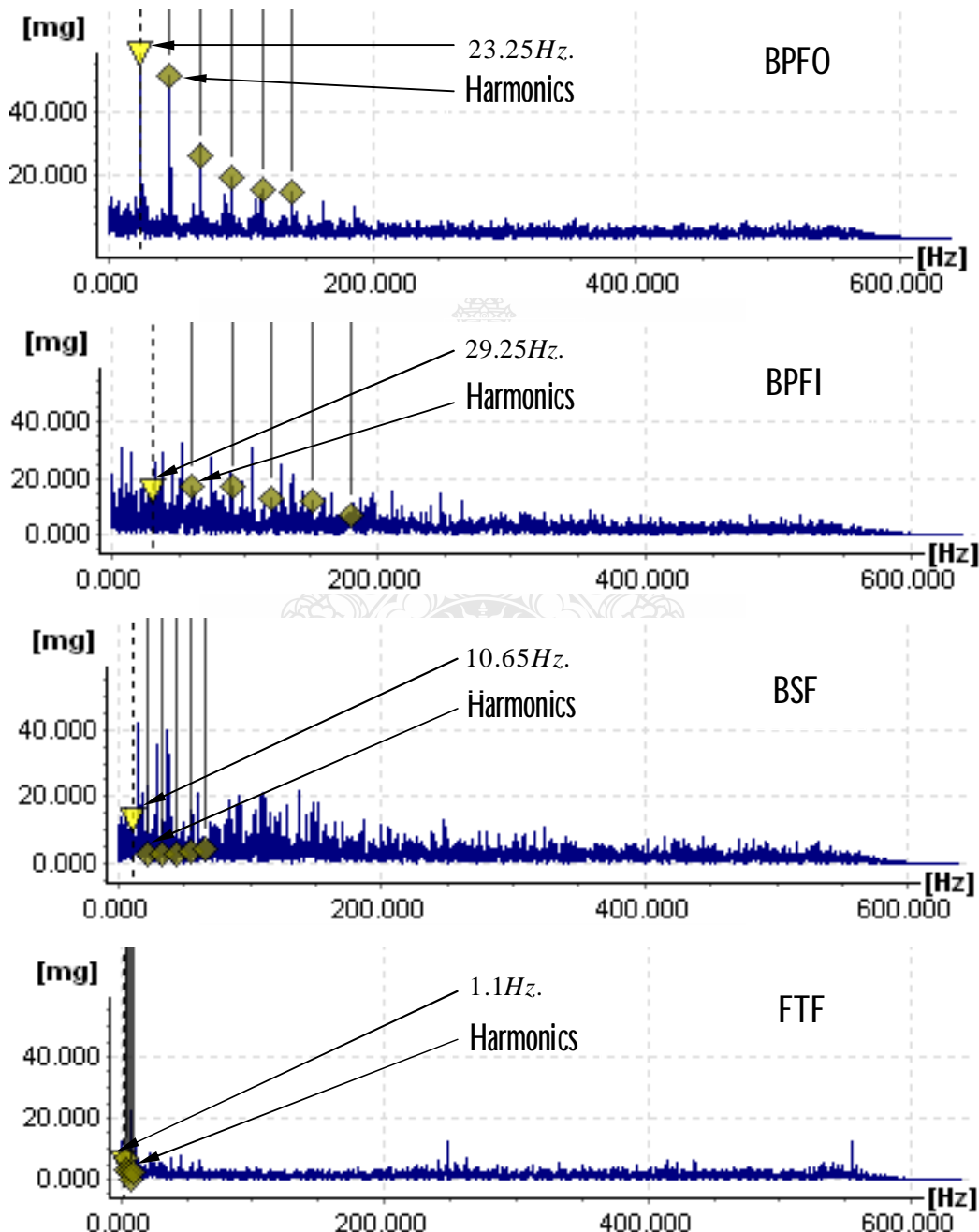
รูปที่ 4.8 ขั้นตอนในการแสดงความถี่ของชีนส่วน

สำหรับการอ่านผลความถี่ของชิ้นส่วนในกราฟแสดงผลนั้น เมื่อทำการป้อนความถี่ที่ได้จากการคำนวณแล้ว โปรแกรมจะประมวลผลและแสดงเส้นระบุตำแหน่งของความถี่ในชิ้นส่วนต่างๆ ดังในรูปที่ 4.9 แสดงการอ่านค่าความถี่ของชิ้นส่วนในกราฟแสดงผล



รูปที่ 4.9 การอ่านค่าความถี่ของชิ้นส่วนในกราฟแสดงผล

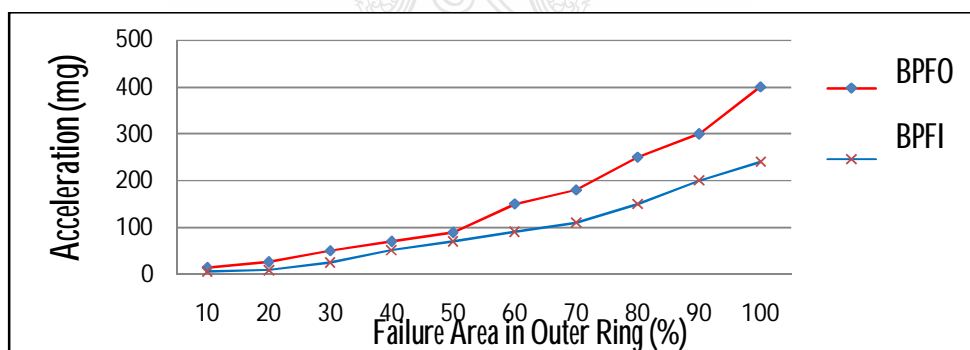
ในส่วนของความรุนแรงนั้นขึ้นอยู่กับจำนวน Harmonics และค่า Amplitude ในแกนตั้ง รูปที่ 4.10 แสดงกราฟความถี่ในโดเมนสเปกตรัมของชิ้นส่วนต่างๆ จากกราฟด้านล่างนี้จะแสดงให้เห็นความถี่ของแต่ละชิ้นส่วน โดยสามารถที่จะสังเกตเห็นความถี่เฉพาะและจำนวน Harmonics ของตัวบล็อกปีนที่เกิดความเสียหาย ซึ่งความถี่เฉพาะของ BPFO, BPFI นั้นจะเห็นได้ชัดเจน ส่วน BSF, FTF จะมีค่าค่อนข้างต่ำทำให้ไม่สามารถมองเห็นความถี่ได้ชัดเจนที่ระดับความเสียหายเดียวกัน



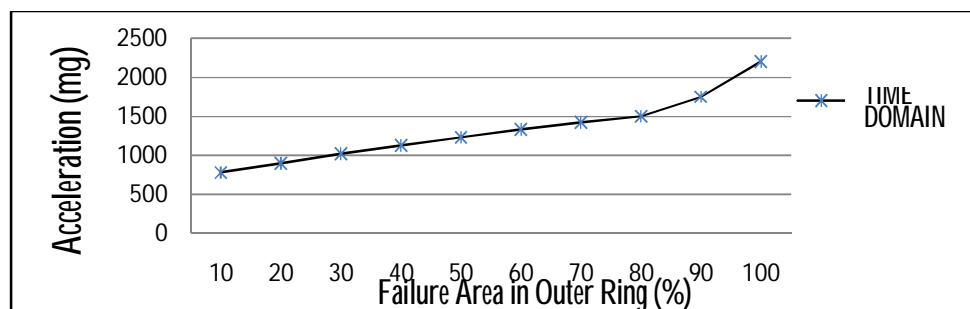
รูปที่ 4.10 กราฟความถี่ใน Spectrums Domain ของชิ้นส่วนต่างๆ ที่ความเร็วรอบ 150 RPM

4.5.3 ผลการประเมินอายุการใช้งาน

ผลจากการวิเคราะห์ในวิธีข้างต้นสามารถที่จะนำมาเปรียบเทียบค่าสัญญาณของความเสียหายที่เพิ่มขึ้นกับอายุการใช้งานที่เหลืออยู่ โดยจะมีค่าที่นำมาประเมินอยู่ 3 ค่าหลักๆ คือค่า BPFO, BPFI และ Time Domain สาเหตุที่นำเฉพาะค่าเหล่านี้มาประเมินจากค่าห้องหมุดที่ได้กล่าวมานั้นเป็น เพราะว่าค่า BPFO จะเกิดการเสียหายมากที่สุด และค่า BPFI จะเสียหายรองลงมาประมาณครึ่งหนึ่งของ BPFO ส่วน Time Domain นั้นจะเป็นด้านงบoko Class ของคลับลูกปืน ซึ่งการใช้งานคลับลูกปืนในล้อรถไฟฟ้านั้นจะตั้งค่าความปลอดภัยไว้ที่ประมาณ 50,000 กิโลเมตร ก่อนที่คลับลูกปืนจะเกิดความเสียหายขึ้นrunแรง คือมีความเสียหายต่อพื้นที่ผิวที่รับภาระเลย 50% ขึ้นไปถือเป็นขั้นrunแรง รูปที่ 4.11 แสดงความสัมพันธ์ระหว่างความถี่ของชิ้นส่วนกับพื้นที่ความเสียหายบริเวณผิวที่รับภาระ (Load Zone) จากรูปจะแสดงให้เห็นความสัมพันธ์ระหว่างความถี่ของชิ้นส่วนที่เพิ่มขึ้นกับพื้นที่ความเสียหายที่คิดเป็นเปอร์เซ็นต์ของบริเวณผิวที่รับภาระ โดยค่าความถี่จะเพิ่มขึ้นอย่างรวดเร็วในช่วง 30% ของพื้นที่ความเสียหาย และจะเป็นระดับของคลับลูกปืน Class C ซึ่งมีอายุการใช้งานค่อนข้างน้อย และไม่ควรใช้งานคลับลูกปืนอีกด่อไป และรูปที่ 4.12 แสดงความสัมพันธ์ระหว่างความถี่ใน Time Domain กับพื้นที่ความเสียหายบริเวณผิวที่รับภาระ ซึ่งจะมีความสัมพันธ์ในลักษณะเช่นเดียวกันกับกราฟความถี่ของชิ้นส่วนโดยเมื่อมีพื้นที่ความเสียหายมากขึ้นค่าสัญญาณใน Time Domain ก็จะสูงขึ้นตาม ซึ่งเป็นความถี่โดยรวมของคลับลูกปืนทั้งลูก



รูปที่ 4.11 ความสัมพันธ์ระหว่างความถี่ของชิ้นส่วนกับพื้นที่ความเสียหายบริเวณผิวที่รับภาระ



รูปที่ 4.12 ความสัมพันธ์ระหว่างความถี่ใน Time Domain กับพื้นที่ความเสียหายบริเวณผิวที่รับภาระ

ผลกระทบการวัดการสั่นสะเทือนของตลับลูกปืนที่เกิดความเสียหาย โดยจะแบ่งเป็นผลที่ได้ก่อนและหลังการบำรุงรักษา ซึ่งผลที่ได้นั้นจะแสดงให้เห็นถึงความถี่ของตลับลูกปืนที่เกิดความเสียหาย โดยจะคูณที่อายุการใช้งาน 50,000 กิโลเมตรหรือ 6 เดือน ซึ่งเทียบจากใน 1 ปี นั้นรถไฟฟ้าจะวิ่งได้ระยะทางประมาณ 100,000 กิโลเมตร ซึ่งเป็นเกณฑ์ที่ตั้งเอาไว้ก่อนที่ตลับลูกปืนจะเกิดความเสียหายขึ้นรุนแรงจากการระยะเวลาที่ทำการตรวจด้วยในช่วง 12 เดือนสำหรับการประเมิน โดยจะแบ่งเป็นช่วงการวัดก่อนถึงเกณฑ์และหลังเกณฑ์ที่ตั้งเอาไว้ สำหรับก่อนถึงเกณฑ์จะวัดทุกๆ 3 เดือน และสำหรับหลังเกณฑ์นั้นจะวัดทุกๆ 1 เดือน โดยค่าต่างๆ นั้นจะคิดมาจากการแผนในการบำรุงรักษาหลักของตัวรถไฟฟ้า และความเหมาะสมในด้านความคุ้มค่าของการใช้งานตลับลูกปืนรวมทั้งด้านความปลอดภัยด้วย ตารางที่ 4.6 แสดงค่าจากการวัดการสั่นสะเทือนของตลับลูกปืนที่เกิดความเสียหายก่อนการบำรุงรักษาโดยมีหน่วยเป็น mg (หน่วยความเร่ง) และตารางที่ 4.7 แสดงค่าจากการวัดการสั่นสะเทือนของตลับลูกปืนที่เกิดความเสียหายก่อนการบำรุงรักษาจะสูงกว่า เนื่องมาจากสภาพของจาระน้ำที่ใช้งานนานกว่า โดยค่าที่ได้นั้นจะนำไปพล็อตกราฟเพื่อประเมินหากายการใช้งาน

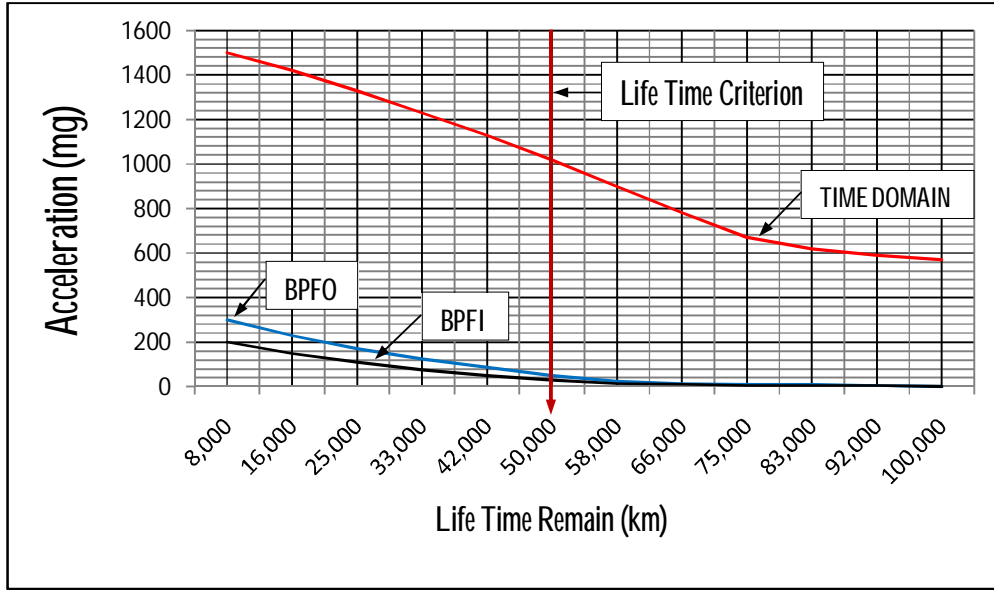
ตารางที่ 4.6 ค่าจากการวัดการสั่นสะเทือนของตลับลูกปืนที่เกิดความเสียหายก่อนการบำรุงรักษาโดยมีหน่วยเป็น mg (หน่วยความเร่ง)

ตัวแปรหลักในการประเมิน	BPFO (mg)	BPFI (mg)	Time Domain (mg)	อายุที่เหลือ (km)
ลำดับความเสียหาย	380	230	1840	8,000
	245	170	1750	16,000
	196	130	1590	25,000
ช่วงเตรียมการและบำรุงรักษา	150	82	1430	33,000
	92	57	1360	42,000
เกณฑ์ที่ตั้งไว้	63	32	1250	50,000
ใช้งานได้ตามปกติ	31	29	1120	58,000
	19	15	980	66,000
	15	9	820	75,000
	10	8	710	83,000
	9	8	630	92,000
	7	6	520	100,000

ตารางที่ 4.7 ค่าจากการวัดการสั่นสะเทือนของตลับลูกปืนที่เกิดความเสียหายหลังการบำรุงรักษาโดยมีหน่วยเป็น mg (หน่วยความเร่ง)

ตัวแปรหลักในการประเมิน ค่าดับความเสียหาย	BPFO (mg)	BPFI (mg)	Time Domain (mg)	อายุที่เหลือ (km)
เริ่มเกิดความเสียหายขึ้นรุนแรง โดยจะมีความเสียหายต่อพื้นที่ผิวที่รับภาระเฉลี่ย 50% ขึ้นไป	300	200	1500	8,000
	230	150	1420	16,000
	170	110	1330	25,000
ช่วงเตรียมการและบำรุงรักษา	125	75	1230	33,000
	87	52	1130	42,000
เกณฑ์ที่ตั้งไว้	45	22	1020	50,000
ใช้งานได้ตามปกติ	26	10	900	58,000
	14	8	780	66,000
	10	6	670	75,000
	9	5	600	83,000
	7	4	580	92,000
	6	3	480	100,000

จากตารางก่อนและหลังการบำรุงรักษาซึ่งมีค่าการสั่นสะเทือนที่เป็นไปในทิศทางเดียวกัน โดยทำการเฉลี่ยจากค่าความเสียก่อนและหลังการบำรุงรักษารวมทั้งจากประสบการณ์ในการใช้งานซึ่งผลที่ได้คือค่าความถี่ของแหวนนอก (BPFO) จะต้องมีค่าไม่เกิน 50 mg และค่าความถี่ของแหวนใน (BPFI) จะต้องมีค่าไม่เกิน 25 mg ส่วนค่าสัญญาณใน Time Domain นั้นถ้ามีค่าตั้งแต่ 1000 mg ขึ้นไป จะจัดให้ตลับลูกปืนนี้อยู่ในระดับของ Class C ซึ่งเป็นตลับลูกปืนที่เกิดความเสียหายและไม่เหมาะสมสำหรับการใช้งาน จากความสัมพันธ์ดังกล่าวนี้สามารถที่จะประเมินอายุได้โดยการพล็อตกราฟประเมินอายุการใช้งานด้านล่าง รูปที่ 4.13 และกราฟประเมินอายุการใช้งาน จากกราฟจะแสดงให้เห็นว่าตลับลูกปืนจะมีอายุการใช้งานอีกประมาณ 50,000 กิโลเมตร ก่อนที่ตลับลูกปืนนี้จะเกิดความเสียหายขึ้นรุนแรง โดยเป็นอายุการใช้งานในระยะสุดท้ายจากที่เคยได้กำหนดไว้ในวิธีการจำแนกนั้นซึ่งจะเป็นช่วงอายุการใช้งานแบบกว้างๆ จากช่วงระยะสุดท้ายของการใช้งานที่เหลืออยู่นั้นควรจะเตรียมการในการบำรุงรักษา และทางผู้วิจัยยังพบอีกว่าโดยส่วนใหญ่แล้วตลับลูกปืนที่เกิดความเสียหายนั้นมีสาเหตุมาจากความล้า

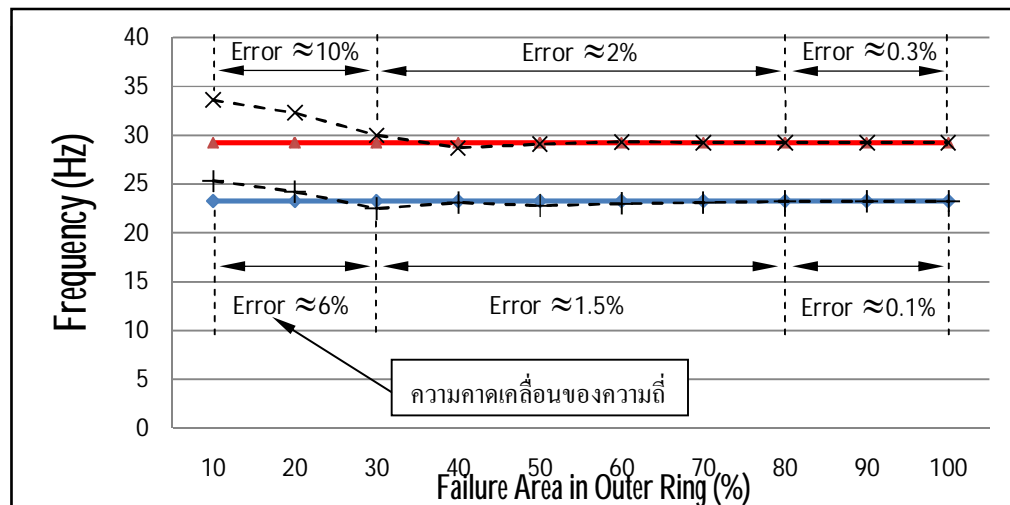


รูปที่ 4.13 กราฟประเมินอายุการใช้งาน

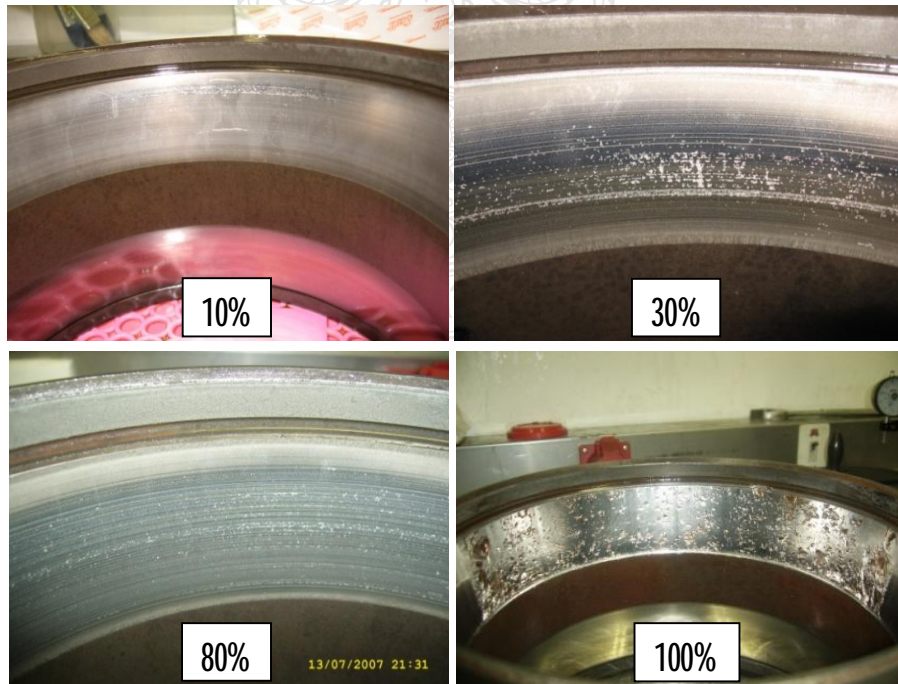
4.5.4 ความคาดเคลื่อนของความถี่ที่ได้จากการวัดค่าจริงและผลจากการคำนวณ

ในการวัดค่าการสั่นสะเทือนนั้น ซึ่งผลของความถี่ที่ได้จะมีความคาดเคลื่อนไปจากผลที่ได้จากการคำนวณสำหรับในช่วงความเสียหายเริ่มต้นและจะค่อยๆ ลดลงเมื่อมีระดับความเสียหายที่เพิ่มขึ้น โดยจะแบ่งเป็น 3 ช่วง ตามพื้นที่ความเสียหายบริเวณผิวที่รับภาระ รูปที่ 4.14 แสดงความคาดเคลื่อนของความถี่ที่ได้จากการวัดค่าจริงและผลจากการคำนวณ ซึ่งในช่วงแรกนั้นจะเป็นช่วงความเสียหายเริ่มต้นซึ่งจะเห็นว่ามีความคาดเคลื่อนค่อนข้างมากเมื่อเปรียบเทียบกับผลที่ได้ในการคำนวณ โดยจะมีความคาดเคลื่อน 10% สำหรับความถี่แหวนในและ 6% สำหรับความถี่แหวนนอก ในช่วงที่ 2 จะเป็นช่วงความเสียหายในระดับเริ่มรุนแรง ซึ่งในช่วงนี้ค่าความคาดเคลื่อนจะเริ่มเข้าใกล้ค่าที่ได้จากการคำนวณ โดยจะมีความคาดเคลื่อน 2% สำหรับความถี่แหวนในและ 1.5% สำหรับความถี่แหวนนอก ส่วนในช่วงที่ 3 นั้นจะเป็นช่วงความเสียหายในระดับที่รุนแรงมาก โดยจะมีความคาดเคลื่อน 0.3% สำหรับความถี่แหวนในและ 0.1% สำหรับความถี่แหวนนอก ซึ่งในช่วงนี้จะเป็นความเสียหายในระยะสุดท้ายหรือความเสียหายในระดับที่รุนแรง โดยจะสังเกตเห็นค่าความถี่ที่มีความคาดเคลื่อนน้อยลงจนเกือบจะตรงกับความถี่ที่ได้จากการคำนวณ จากค่าความคาดเคลื่อนที่ได้ก่อตัวมา นั้น จะแสดงให้เห็นว่าค่าความถี่เฉพาะของชิ้นส่วนจะนั่นกับขนาดของพื้นที่ความเสียหายบริเวณผิวที่รับภาระนั้นๆ รูปที่ 4.15 แสดงความเสียหายต่อพื้นที่ผิวที่รับภาระในแหวนนอกประมาณ 10, 30, 80 และ 100% และเนื่องจากข้อจำกัดของความเรื่ร้อนที่ใช้ก่อนข้างต่ำ ซึ่งทำให้สัญญาณความถี่ที่ได้นั้นมีความชัดเจนน้อยลง อีกทั้งมีสัญญาณรบกวนจากภายนอก ซึ่งเป็นเหตุผลสำคัญที่ทำให้เกิดค่าความคาดเคลื่อนที่ได้จากการวัดจริงกับผลการคำนวณในทางทฤษฎี

- ▲— ค่าความถี่แหวนใน (BPFI) ที่ได้จากการคำนวณ
- ×- ค่าความถี่แหวนใน (BPFI) ที่ได้จากการวัดจริง
- ◆— ค่าความถี่แหวนนอก (BPFO) ที่ได้จากการคำนวณ
- + - ค่าความถี่แหวนนอก (BPFO) ที่ได้จากการวัดจริง



รูปที่ 4.14 ความคาดเคลื่อนของความถี่ที่ได้จากการวัดค่าจริงและผลจากการคำนวณ



รูปที่ 4.15 ความเสียหายต่อพื้นที่ผิวที่รับภาระในแหวนนอกประมาณ 10, 30, 80 และ 100%

4.6 สรุปผลจากการทดลอง

4.6.1 จากการศึกษาเบื้องต้นของตลับลูกปืนที่ผ่านการใช้งานมาเป็นระยะเวลา 6 ปี พบร่วมกันที่จะจำแนกระดับของความเสียหายออกได้เป็น 3 ระดับคือ Class A, B และ C โดยมีตลับลูกปืนจำนวน 840 ลูก ที่ทำการบำรุงรักษาไปแล้ว และสามารถนำกลับไปใช้ได้ถึง 70% โดยแบ่งเป็น Class A 60% Class B 10% นอกจากนี้ข้อมูลที่ได้จากการวัดการสั่นสะเทือนและค่าเฉลี่ยของการชำรุดแตะครั้ง (MTBF) แสดงให้เห็นว่า อายุการใช้งานของตลับลูกปืน Class A สามารถใช้งานได้อีกในช่วง 300,000-500,000 กิโลเมตร โดยคิดเป็นเปอร์เซ็นต์จากจำนวนตลับลูกปืนที่นำกลับมาใช้งานทั้งหมด 60% ต่ำกว่า 30% เริ่มเสียหายในช่วงหลัง 300,000 กิโลเมตร นับจากเริ่มใช้งาน ประมาณกว่า 30% ที่ใช้งานได้ถึง 500,000 กิโลเมตร ส่วน Class B สามารถที่จะใช้งานได้ 200,000-300,000 กิโลเมตร จากจำนวนตลับลูกปืนที่นำกลับมาใช้งานทั้งหมด 10% ต่ำกว่า 5% เริ่มเสียหายในช่วง 200,000 กิโลเมตร นับจากเริ่มใช้งาน และมากกว่า 5% ที่สามารถใช้งานได้ถึง 300,000 กิโลเมตร จากข้อมูลดังกล่าวแสดงให้เห็นว่า จากสภาพการใช้งานของรถไฟฟ้าในประเทศไทยซึ่งมีความแตกต่างกับการใช้งานในต่างประเทศเป็นผลให้อายุการใช้งานของตลับลูกปืนลดลงที่ใช้งานภายใต้สภาพแวดล้อมที่แตกต่างกันเป็นสาเหตุสำคัญที่ทำให้อายุการใช้งานของตลับลูกปืนมีความแตกต่างกัน สำหรับข้อเสนอแนะในการจำแนกความเสียหาย โดยให้มีการเรียงลำดับความสำคัญของสาเหตุที่ทำให้เกิดความเสียหาย และควรให้ความสำคัญกับความเสียหายเนื่องจากความล้าเป็นอันดับต้นๆ ก่อน เพราะว่าความเสียหายในลักษณะนี้หลักๆ แล้วเกิดจากระยะเวลาในการใช้งาน ซึ่งไม่สามารถที่จะแก้ไขได้ ตามด้วยความเสียหายเนื่องจากสิ่งปนเปื้อน ซึ่งจะเกิดจากสิ่งสกปรกจากการใช้งานหรือการบำรุงรักษา โดยความเสียหายในลักษณะนี้สามารถแก้ไขได้โดยการทำความสะอาดและเปลี่ยนสารหล่อลื่นใหม่ และความเสียหายเนื่องจากขาดสารหล่อลื่น ก็สามารถที่จะแก้ไขได้โดยการเพิ่มสารหล่อลื่น เช่นเดียวกัน ส่วนการแบ่งระดับของความเสียหายนั้นควรมีการเพิ่มระดับความเสียหายออก เป็น 4 ระดับ โดยการเพิ่ม Class D ขึ้นมาอีกหนึ่งระดับกล่าวคือ ถ้าค่าเปอร์เซ็นต์ความเสียหายต่ำพื้นที่พิวท์รับภาระอยู่ในช่วง 30%-40% ให้จำแนกเป็น Class C ซึ่งสามารถนำกลับมาใช้ในการณ์นุกเฉินได้ในช่วง 10,000-30,000 กิโลเมตร ในระหว่างการออกจากภาระนั้นส่งตลับลูกปืนจากต่างประเทศ หรือการนำไปใช้ภายนอกตัวรถ อาทิเช่น การกลึงล้อภายนอกตัวรถและนำไปใช้ในกรณีทดสอบอื่นๆ และถ้ามีความเสียมากกว่า 40% ขึ้นไปให้เป็น Class D ซึ่งห้ามนำกลับไปใช้งาน และจากความเสียหายเนื่องจากความล้าบริเวณพื้นที่รับภาระจริงของตลับลูกปืน (**Load Zone**) ในการใช้งาน น่าจะมีความเป็นไปได้ในการทำวิจัยเพื่อยศึกษาอายุการใช้งานโดยการเปลี่ยนพื้นที่รับภาระของตลับลูกปืน ซึ่งน่าจะทำให้ตลับลูกปืนมีอายุการใช้งานที่เพิ่มขึ้น

4.6.2 จากการศึกษาโดยใช้วิธีการวิเคราะห์สัญญาณการสั่นสะเทือนของตลับลูกปืน ซึ่งทำการวัดด้วยหัววัดความเร่งแบบ **Piezoelectric** และวัดค่าการสั่นสะเทือนในฟังก์ชัน **Velocity, Acceleration** และ **Demodulation** แต่จะเน้นวิเคราะห์ไปที่ฟังก์ชัน **Demodulation** เป็นหลัก เนื่องจากเป็นการปรับ

แต่งสัญญาณความเสียหายของตับลูกปืนที่มีขนาดต่ำให้มีขนาดสูงขึ้น ซึ่งจะทำให้เห็นสัญญาณความเสียหายได้ชัดเจน โดยทำการทดสอบหาอัตราความเสียหายที่เพิ่มขึ้นต่อสัญญาณการสั่นสะเทือนของตับลูกปืน ซึ่งได้กำหนดช่วงการวัดที่เหมาะสมออกเป็น 2 ช่วง คือ ช่วงความถี่สูง 12.5-20000 Hz เพื่อตรวจสอบการเกิดเรโซแนนซ์ของโครงสร้างซึ่งจะเป็นความเสียหายในช่วงเริ่มต้นโดยผลที่ได้จาก การทดลองสำหรับการวัดในช่วงความถี่สูงนี้ ซึ่งในการวิเคราะห์ทำได้ยากลำบากเนื่องจากในย่านความถี่สูงมีสัญญาณรบกวนเป็นจำนวนมากประกอบกับความเร็วตอบที่ใช้วัดค่อนข้างต่ำจึงทำให้เห็นความถี่ของความเสียหายไม่ชัดเจน และช่วงความถี่ต่ำ 0.3-500 Hz เพื่อตรวจสอบความถี่ของชิ้นส่วนในตับลูกปืน โดยจะเห็นว่าผลที่ได้จากการวิเคราะห์ความเสียหานั้น เมื่อระดับความเสียหายมีค่ามากขึ้นค่าสัญญาณก็จะเพิ่มขึ้นด้วย ซึ่งสามารถที่จะประเมินอายุการใช้งานได้โดยการเบรย์บเทียนค่าการสั่นสะเทือนกับระดับความเสียหาย เมื่อสัญญาณความถี่ของแหวนนอก (BPFO) และแหวนใน (BPFI) จะต้องมีค่าไม่เกิน 50 mg และ 25 mg ตามลำดับ โดยที่สัญญาณใน Time Domain มีค่าตั้งแต่ 1000 mg ขึ้นไปนั้นจะจัดให้ตับลูกปืนนี้อยู่ในระดับของ Class C ซึ่งมีเปอร์เซ็นต์ความเสียหายต่อพื้นที่ผิวที่รับภาระ 30-50% จากความสัมพันธ์ดังกล่าวนี้สามารถที่จะประเมินอายุจากการฟประเมินอายุการใช้งาน ซึ่งผลที่ได้นั้นจะพบว่าตับลูกปืนจะมีอายุการใช้งานอีกประมาณ 50,000 กิโลเมตร ก่อนที่ตับลูกปืนจะเกิดความเสียหายขั้นรุนแรง (มีความเสียหายต่อพื้นที่ผิวที่รับภาระเลข 50% ขึ้นไป ถือเป็นระดับที่รุนแรง) ซึ่งอยู่ในเกณฑ์ที่จะต้องเฝ้าระวังเป็นพิเศษและควรจะเตรียมการในการบำรุงรักษาอย่างรุ่งค่วน ทั้งนี้จากลักษณะการใช้งานที่มีผลกระทบกับการประเมินอายุ เนื่องจากการใช้งานของตัวรถไฟฟ้านั้น ได้ส่งผลกระทบโดยตรงซึ่งทำให้ตับลูกปืนเกิดความเสียหายที่ไม่เท่ากัน ทั้งสองด้าน โดยส่วนใหญ่แล้วตับลูกปืนด้านขวาจะเสียหายมากกว่าด้านซ้าย สาเหตุหลักๆ เป็น เพราะว่าการวิ่งของรถไฟฟ้านั้นจะส่งผลกระแทกโดยตรงซึ่งทำให้ตับลูกปืนเกิดความเสียหายที่ไม่เท่ากัน ให้ชัดเจน อาทิเช่น โกรังค์อนุสารีร์ชั่นสมรภูมิ อิกหังตัวรถนั้นสามารถควบคุมได้ทั้งสองด้าน คือ ด้านหน้ากับด้านหลังดังนั้นจึงไม่มีการกลับทิศทางของตัวรถคืออยู่ในแนวเดิมตลอดจึงทำให้ล้อด้านขวาบีบตัวมากกว่า เช่นเดิมตลอด ดังนั้นจากอายุประเมินที่เหลือประมาณ 50,000 กิโลเมตร สำหรับตับลูกปืนด้านขวาจะใช้งานน้อยกว่าด้านซ้ายโดยให้เหลือน้อยกว่า 10,000 กิโลเมตร เพื่อความเหมาะสมในการวางแผนดำเนินการบำรุงรักษา และหลังจากที่ได้ค่าอายุการประเมินดังกล่าวตนั้นควรจะทำการบำรุงรักษาภายในช่วง 1-2 เดือน ซึ่งเป็นช่วงที่เหมาะสมสำหรับการใช้งานตับลูกปืนอย่างคุ้มค่าและมีค่าความปลอดภัยที่เชื่อถือได้ จากประสบการณ์ในการใช้งานตับลูกปืนในล้อรถไฟฟ้าพบว่าสามารถใช้งานได้ถึง 11 ปี

บทที่ 5

สรุปผลงานวิจัยและข้อเสนอแนะ

ในงานวิจัยนี้จะเป็นการวิเคราะห์ความเสียหาย โดยจะแบ่งขั้นตอนการดำเนินงานเป็นสองช่วง คือในช่วงแรกนี้จะเป็นการวิเคราะห์ความเสียหายด้วยวิธีการจำแนกตัวลักษณะปัจจัยการเบริกน้ำเพื่อปรับปรุงค่าความเสียหายที่เกิดขึ้นบนหน้าสัมผัสตัวลักษณะปัจจัยที่รับผลกระทบ ที่สองนั้นจะเป็นการวิเคราะห์เจาะจงไปในรายละเอียดของขั้นส่วนที่เกิดความเสียหายด้วยวิธีการวิเคราะห์การสั่นสะเทือนเพื่อเพิ่มเติมและเสริมผลที่ได้จากวิธีแรก

5.1 สรุปผลงานวิจัย

5.1.1 จากการศึกษาตัวลักษณะปัจจัยในล้อรถไฟฟ้าที่ผ่านการใช้งานมาแล้วเป็นระยะเวลา 6 ปีสามารถที่จะจำแนกระดับ โดยอาศัยการเบริกน้ำเพื่อปรับปรุงค่าความเสียหายที่เกิดขึ้นบนหน้าสัมผัสตัวลักษณะปัจจัยที่รับผลกระทบทั้งหมด จากการศึกษาพบว่าตัวลักษณะปัจจัยที่ผ่านการใช้งานตามระยะเวลาที่กำหนดสามารถจำแนกออกได้เป็น 3 ระดับคือระดับ A, B และ C กล่าวคือระดับ A ซึ่งมีปรับปรุงค่าความเสียหายต่อพื้นที่ผิวที่รับผลกระทบอยู่ที่ 1-15% จะมีอายุการใช้งานได้อีกประมาณ 300,000-500,000 กิโลเมตร ระดับ B ซึ่งมีปรับปรุงค่าความเสียหายอยู่ที่ 15-30% จะมีอายุการใช้งานได้อีกประมาณ 200,000-300,000 กิโลเมตร และระดับ C ซึ่งมีปรับปรุงค่าความเสียหาย 30-50% จะมีอายุการใช้งานค่อนข้างน้อยลง ไม่นำไปใช้งานเนื่องจากไม่คุ้มค่ากับการบำรุงรักษา จากการศึกษาข้างต้นโดยใช้วิธีการดึงกล่าวซึ่งผลที่ได้คือช่วงอายุการใช้งานของห้องที่ 3 ระดับ ในแบบกว้างๆ เพื่อใช้ในการวางแผนและกำหนดระยะเวลาในการบำรุงรักษาเบื้องต้น แต่เนื่องจาก การใช้งานจริงนั้นจะต้องใช้ตัวลักษณะปัจจัยที่อย่างคุ้มค่าและค่าความปลดภัยต้องอยู่ในระดับที่ยอมรับ ได้ ซึ่งเป็นเหตุผลสำคัญที่จะต้องทำการศึกษาเพิ่มเติม

5.1.2 จากการศึกษาเพิ่มเติมโดยใช้วิธีการวิเคราะห์สัญญาณการสั่นสะเทือนของตัวลักษณะปัจจัย โดยได้กำหนดช่วงการวัดที่เหมาะสมออกเป็น 2 ช่วง คือ ช่วงความถี่สูง $12.5-20000\text{ Hz}$ เพื่อตรวจสอบความเสียหายในช่วงเริ่มต้น และช่วงความถี่ต่ำ $0.3-500\text{ Hz}$ เพื่อตรวจสอบหาความถี่ของขั้นส่วนที่เกิดความเสียหายในตัวลักษณะปัจจัย พนวจว่าเมื่อระดับความเสียหายมีค่ามากขึ้นค่าสัญญาณก็จะเพิ่มขึ้นด้วย ซึ่งสามารถที่จะประเมินอายุการใช้งานได้โดยการเบริกน้ำเพื่อค่าการสั่นสะเทือนกับระดับความเสียหายจากกราฟประเมินอายุการใช้งาน ซึ่งเป็นผลของสัญญาณที่ได้จากพารามิเตอร์ในการวัดแบบเดียวกัน โดยแสดงให้เห็นว่าเมื่อค่าสัญญาณความถี่ของ BPFO และ BPFI มีค่าไม่เกิน 50 mg และ 25 mg ตามลำดับ โดยที่สัญญาณใน Time Domain ที่มีค่าตั้งแต่ 1000 mg ขึ้นไปนั้น จะเป็นตัวลักษณะปัจจัยที่อยู่ในระดับของ Class C โดยมีปรับปรุงค่าความเสียหายต่อพื้นที่ผิวที่รับผลกระทบประมาณ 30% โดยจะมีอายุ

การใช้งานเหลืออีกประมาณ 50,000 กิโลเมตร ก่อนที่จะเกิดความเสียหายขั้นรุนแรง คือมีเบอร์เซ็นต์ความเสียหายต่อพื้นที่ผิวที่รับภาระทั้งหมดตั้งแต่ 50% ขึ้นไปถือเป็นระดับรุนแรง ซึ่งอยู่ในเกณฑ์ที่จะต้องเฝ้าระวังเป็นพิเศษและควรจะเตรียมการในการบำรุงรักษาอย่างเร่งด่วน เพื่อป้องกันความเสียหายที่จะเกิดขึ้นจนส่งผลถึงขั้นทำให้ต้องหยุดเดินรถแบบกระทันหัน

5.2 ข้อเสนอแนะ

จากการวิจัยที่ผ่านมาจะเห็นว่า การวิเคราะห์ความเสียหายในทั้งสองวิธีนี้นั้น ยังมีอยู่หลายตัวแปร ที่ไม่สามารถควบคุม ได้ อีกทั้งผลผลอย่างใดนอกเหนือจากวัตถุประสงค์ที่ตั้งไว้ในข้างต้นและ ข้อเสนอแนะเพิ่มเติม เพื่อเป็นแนวทางสำหรับผู้ที่สนใจหรือผู้ที่จะนำไปทำการศึกษาเพิ่มเติม

5.2.1 ทางผู้วิจัยมีข้อเสนอแนะในการจำแนกความเสียหาย โดยให้มีการเรียงลำดับความสำคัญของสาเหตุที่ทำให้เกิดความเสียหาย และควรให้ความสำคัญกับความเสียหายเนื่องจากความล้ำเป็นอันดับต้นๆ ก่อน เพราะว่าความเสียหายในลักษณะนี้จะไม่มีทางแก้ไข ตามด้วยความเสียหายเนื่องจากความล้ำเป็นอันดับต้นๆ ก่อน เพราะว่าความเสียหายในลักษณะนี้สามารถแก้ไขได้โดยการทำความสะอาดและเปลี่ยนสารหล่อลื่นใหม่ และความเสียหายเนื่องจากขาดสารหล่อลื่น คือสามารถที่จะแก้ไขได้โดยการเพิ่มสารหล่อลื่น เช่นเดียวกัน ด้านการแบ่งระดับของความเสียหายนั้น ควรมีการเพิ่มระดับความเสียหายออก เป็น 4 ระดับ โดยการเพิ่ม Class D ขึ้นมาอีกหนึ่งระดับกล่าวคือ ค่าเบอร์เซ็นต์ความเสียหาย 30%-40% ให้จำแนกเป็น Class C ซึ่งสามารถนำกลับมาใช้ในการผิมนุกเงินได้ในช่วง 10,000-30,000 กิโลเมตร และถ้ามากกว่า 40% ขึ้นไปให้เป็น Class D ซึ่งห้ามนำกลับไปใช้งาน และจากความเสียหายเนื่องจากความล้ำบริเวณพื้นที่รับภาระจริงของคลบลูกปืน (Load Zone) ในการใช้งาน น่าจะมีความเป็นไปได้ในการทำวิจัยเพื่อยื่ดอายุการใช้งาน โดยการเปลี่ยนพื้นที่รับภาระของคลบลูกปืน

5.2.2 ทั้งนี้ทางผู้วิจัยมีข้อเสนอแนะเกี่ยวกับการวิเคราะห์การสั่นสะเทือน สำหรับในขั้นตอนการวัดและเก็บสัญญาณเนื่องจากมีสัญญาณและเสียงรบกวนจำนวนมากจากล้อที่มีการใช้งานจนเกิดการสึกหรอดังนั้นจึงจำเป็นอย่างยิ่งที่จะต้องทำการกรองล้อก่อนการวัดและเก็บสัญญาณทุกครั้ง และสำหรับการประเมินอายุการใช้งาน เนื่องจากลักษณะการใช้งานของตัวรถไฟฟ้านั้น ได้ส่งผลกระทบโดยตรงซึ่งทำให้คลบลูกปืนเกิดความเสียหายที่ไม่เท่ากันทั้งสองด้าน โดยคลบลูกปืนด้านขวาจะเสียหายมากกว่าด้านซ้าย เป็นเพราะว่าการวิ่งของรถไฟฟ้าในขณะเข้าโถงซึ่งล้อด้านขวาจะรับภาระมากกว่าด้านซ้าย โดยตัวอย่างที่เห็นได้ชัดเจน อาทิเช่น โถงอนุสาวรีย์ชัยสมรภูมิ อีกทั้งตัวรถไม่มีการกลับทิศทาง ดังนั้นจากอายุประเมินที่เหลือประมาณ 50,000 กิโลเมตร สำหรับคลบลูกปืนด้านขวาจะจะให้อายุการใช้งานน้อยกว่าด้านซ้าย 10,000 กิโลเมตรและควรเตรียมการในการบำรุงรักษาหลังจากได้อายุประเมินดังกล่าว

5.2.3 ควรจะวิเคราะห์ลึกลงไปอีกว่า ลักษณะความถี่ของความเสียหายเนื่องจากความล้ำ เนื่องจากสิ่งปนเปื้อน และจากการขาดสารหล่อลื่นนั้นมีลักษณะแตกต่างกันอย่างไร

เอกสารอ้างอิง

- [1] ก่อเกียรติ บุญชุกุล, "และคณะ" "การวิเคราะห์การสั่นสะเทือน: การฝึกตรวจสอบและการจัดการบำรุงรักษา" สมาคมส่งเสริมเทคโนโลยีไทย-ญี่ปุ่น 2540.
- [2] แผนกเทคโนโลยีการบำรุงรักษา สถาบันไทย-เยอรมัน www.tgipmt.com/vibration-analysis-services
- [3] Bearing Failure Analysis FAG industrial services <http://www.fag.com/content.fag.de/en/index.html> //Retrieved July 2008.
- [4] Tay Sheen, Yuh., "An Impulse-response Extracting Method From the Modulated Signal In a Roller Bearing," Measurement (Electronic), 2007 No.40. pp. 868-875. Available: Science Direct (20 July 2009).
- [5] "Force Vibration - damped" www-math.mit.edu/daimp/ForcedDampedVib.html.
- [6] อิสสารี หรรยาจรูญ ใจนน, "การสั่นสะเทือนเชิงกล" ภาควิชาวิศวกรรมเครื่องกล คณะวิศวกรรมศาสตร์ ศูนย์กลางสถาบันเทคโนโลยีราชมงคล 2543.
- [7] Taylor, J. I., Determination of Antifriction Bearing Condition by Spectral Analysis, Vibration Instituted, 1978.
- [8] Takafumi, N., "Measurement of Acoustic Emission and Vibration of Rolling Bearings With an Artificial Defect" Quarterly Report of RTRI 2000, Vol. 41 No. 3 pp.119-124. Available: Railway Technical Research Institute (18 Jul 2009).
- [9] Schaeffler Gruppe basis vibration analysis hands on with FAG detector III 2007.
- [10] Berry, J. E., Tracking of Rolling Element Bearing Failure Stages Using Both Vibration Signature
- [11] Takafumi Nagatomo and David G. Toth "Bearing Damage" Quarterly Report of RTRI Vol. 47 2006, No. 3 pp.119-124.
- [12] Cao, M. and Xiao. J., "A Comprehensive Dynamic Model of Double-row Spherical Roller Bearing Model Development and Case Studies on Surface Defects Preloads and Radial Clearance," Mechanical Systems and Signal Processing (Electronic), 2008, No. 22. pp. 467-489. Available: Science Direct (20 July 2009).
- [13] ปราสาท สุบรรพวงศ์ "การวิเคราะห์การสั่นสะเทือนของแบร์ิง แบบเม็คลูกปืนในปืนไชครอติกแบบเพียง" มหาวิทยาลัยเชียงใหม่ 2542: 1-2.
- [14] สมชาย เดชาธรรมสกิต "การศึกษาการวิเคราะห์สัญญาณการสั่นสะเทือนของชุดเพื่องด้วยสเปกตรัมและเซปส์ตรัม" จุฬาลงกรณ์มหาวิทยาลัย 2540: 1.

เอกสารอ้างอิง (ต่อ)

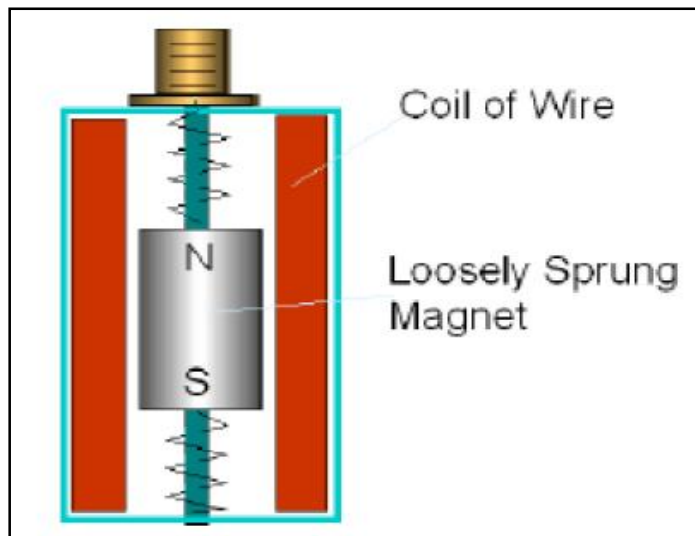
- [15] กมลวรรณ พงศ์พิชญ์ “การวิเคราะห์ความสัมพันธ์ระหว่างสัญญาณการสั่นสะเทือนและระดับการสึกหรอของเพื่อง” จุฬาลงกรณ์มหาวิทยาลัย 2544: 2-4.
- [16] จุติโรจน์ เบญจลักษณ์ “การพัฒนาโปรแกรมวิเคราะห์การสั่นสะเทือนของเครื่องจักรหมุน” จุฬาลงกรณ์มหาวิทยาลัย 2545: 21-23.
- [17] ประดิษฐ์ หมู่เมืองสอง, สุชัญญา ธรรมสุข “การวิเคราะห์การสั่นสะเทือน” ชีเอ็คยูเคชั่น 2550. หน้า 86-99.
- [18] วินัย เวชวิทยาลัง “เทคนิคการวัดและวิเคราะห์การสั่นสะเทือนเพื่องานบำรุงรักษา” เอ็มแอนด์อี 2552. หน้า 11-22.
- [19] BTS บริษัทระบบขนส่งมวลชนกรุงเทพ <http://www.bts.co.th/th/index.asp>
- [20] Siemens Ltd. ศูนย์ซ่อมบำรุงรถไฟฟ้าจตุจักร 2551.
- [21] ปานเพชร ชินนิทร อเอกสารการสอน “เทคโนโลยีการบำรุงรักษา (Maintenance Technology)” มหาวิทยาลัยเทคโนโลยีราชมงคล 2548.
- [22] Viktor Gerdun. and Others “ Failures of Bearing ” Engineering Failure Analysis 2007. 884-894.
- [23] Rolling bearing damage “contamination of raceways” 2007.
- [24] “Normal fatigue of the running surfaces” <http://www.schaeffler.com> 2008.
- [25] “The commitment of SKF to the world rail industry”/2006.// [Online].//Available:/ Analysis as Well as High Frequency Enveloping and Demodulation Spectral Techniques 3rd Edition, Technical Associates of Charlotte, Inc., 1993.
- [26] International Standard ISO 10816-1 Mechanical Vibration-Evaluation of Machine Vibration by Measurements on Non-Rotating Parts. Part1: General Guidelines. 1st Ed. Geneva: ISO, 1995.
- [27] International Standard ISO 10816-3 Mechanical vibration -- Evaluation Machine Vibration by Measurements on Non-Rotating Parts. Part2: Land-based steam turbines and generators in excess of 50 MW with normal operating speeds of 1500 r/min, 1800 r/min, 3000 r/min and 3600 r/min. 2nd Ed. Geneva: ISO, 2001.
- [28] International Standard ISO 10816-3 Mechanical vibration -- Evaluation Machine Vibration by Measurements on Non-Rotating Parts. Part3: Industrial Machines with Nominal Power Above 15 kW and Nominal Speeds Between 120 r/min and 15000 r/min When Measured in situ. 1st Ed. Geneva: ISO, 1998.



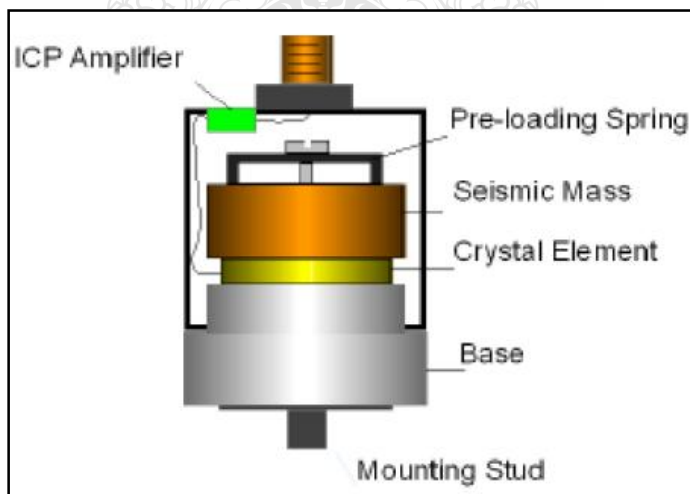
อุปกรณ์และมาตรฐานในการวัดการสั่นสะเทือน

ลักษณะของหัววัดการสั่นสะเทือน

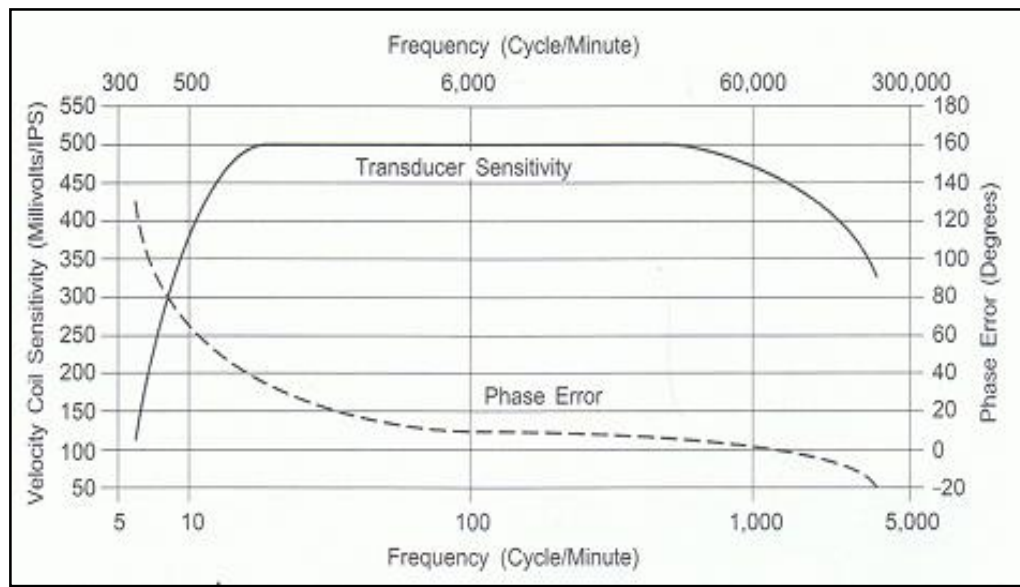
แสดงหัววัดการสั่นสะเทือน ค่าความไว (Sensitivity) และการเปลี่ยนแปลงของความเร่งตามวิธีการติดตั้งหัววัด



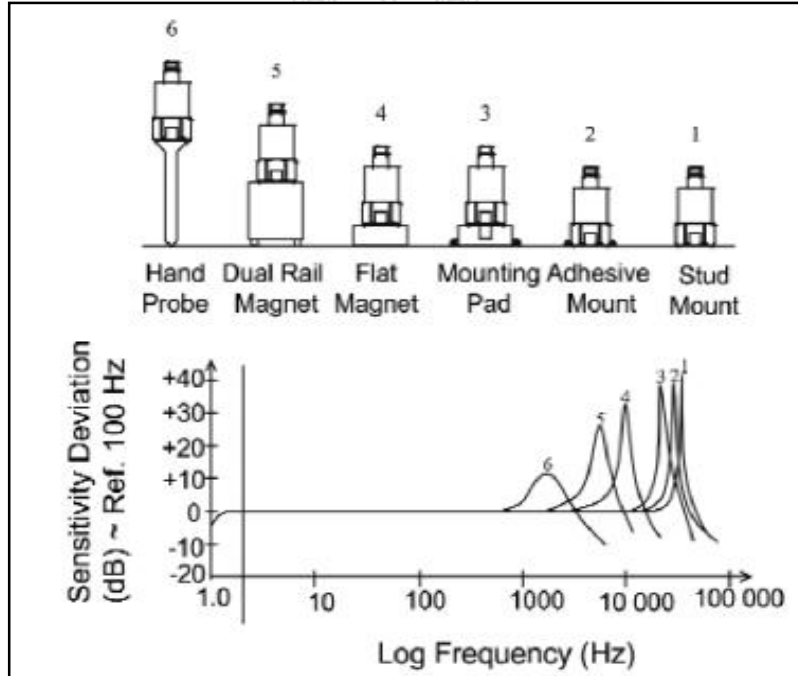
รูปที่ 1 หัววัดการสั่นสะเทือนแบบความเร็วที่ใช้หลักการขดคลื่นที่ติดสนามแม่เหล็ก



รูปที่ 2 หัววัดแบบความเร่งทั่วไป



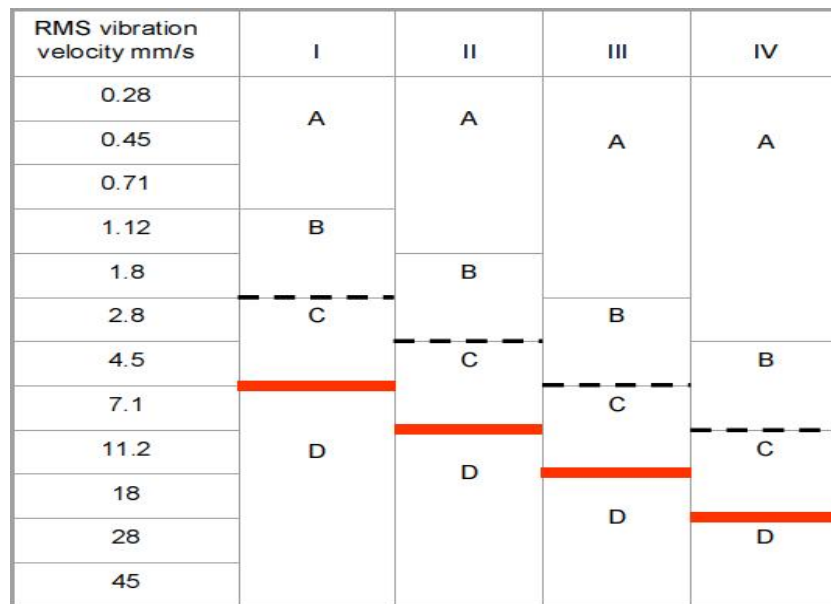
รูปที่ 3 ค่าความไว (Sensitivity) ของหัววัดการสั่นสะเทือน



รูปที่ 4 ความถี่ธรรมชาติของหัววัดความเร่งเปลี่ยนแปลงตามวิธีการติดตั้งหัววัด

มาตรฐานการสั่นสะเทือนสำคัญ (ISO Standards)

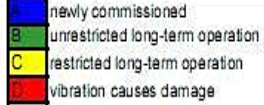
มาตรฐานสำคัญที่ใช้กันมากในส่วนของการผลิตการบำรุงรักษา รวมทั้งการทดสอบเครื่องจักร หลังจากการติดตั้งใหม่และหลังจากการซ่อมบำรุง ซึ่งประกอบไปด้วย ISO 10816-1, 10816-2, 10816-3



รูปที่ 5 ตารางมาตรฐาน ISO 10816-1 [26]

ISO 10816-2		Steam Turbines and Generators	
Velocity		Speed (rpm)	
CMVP 40 in/sec eq. Peak	CMVP 50 mm/sec RMS	1500 or 1800	3000 or 3600
0.66	11.8		DAMAGE OCCURS
0.56	10.0		
0.47	8.5		
0.42	7.5	RESTRICTED OPERATION	
0.29	5.3		
0.21	3.8	UNRESTRICTED	OPERATION
0.16	2.8		
0.08	1.4	NEWLY COMMISSIONED MACHINERY	
0.00	0.0		

รูปที่ 6 ตารางมาตรฐาน ISO 10816-2 [27]

								Velocity	
								11	0.44
								7.1	0.28
								4.5	0.18
								3.5	0.11
								2.8	0.07
								2.3	0.04
								1.4	0.03
								0.71	0.02
								mm/s rms	inch/s rms
rigid	flexible	rigid	flexible	rigid	flexible	rigid	flexible	Foundation	
pumps > 15 kW radial, axial, mixed flow				medium sized machines 15 kW < M < 300 kW				Machine Type	
integrated driver		external driver		motors 160 mm H < 315 mm					
Group 4		Group 3		Group 2		Group 1		Group	
									

รูปที่ 7 ตารางมาตรฐาน ISO 10816-3 [28]



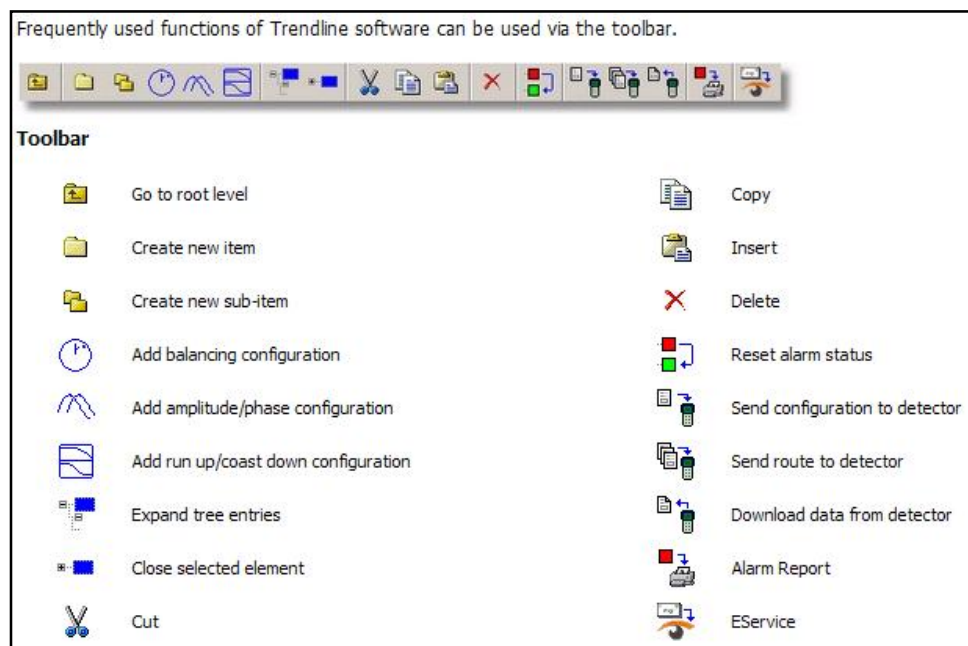
ภาคนวก ๖

วิธีการใช้งานโปรแกรมวิเคราะห์การสั่นสะเทือนเบื้องต้น



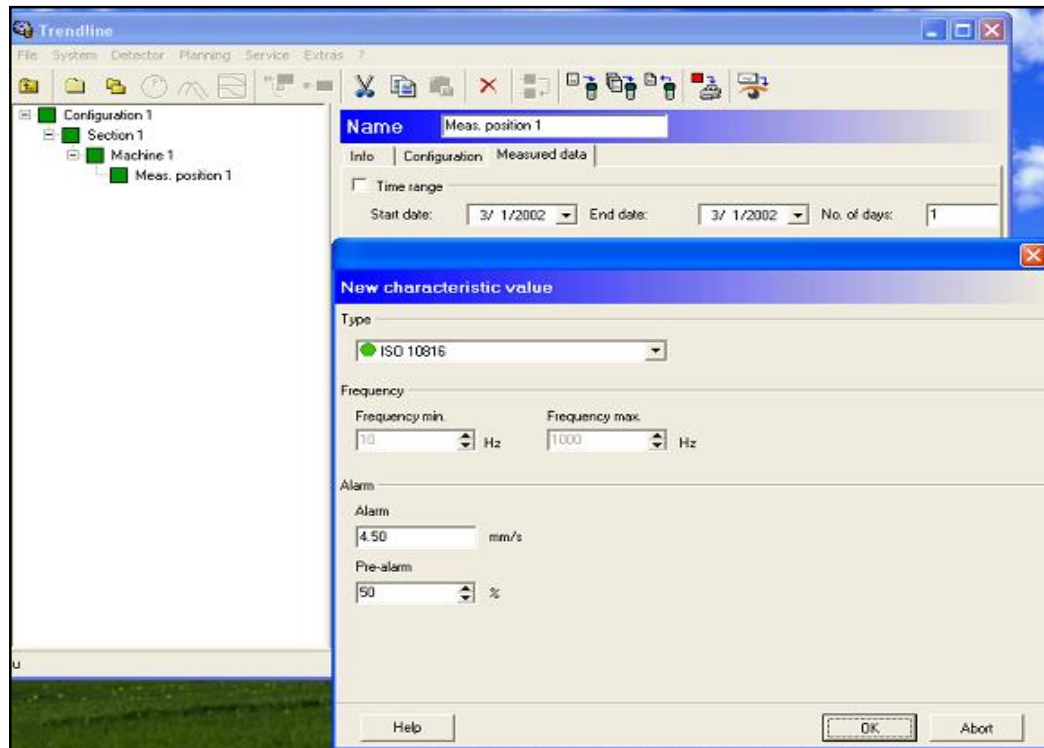
วิธีการใช้งานโปรแกรมวิเคราะห์การสั่นสะเทือนเบื้องต้น

ในการวิเคราะห์การสั่นสะเทือนนั้น นอกจากต้องทราบทฤษฎีพื้นฐานและการวิเคราะห์สัญญาณเบื้องต้นแล้ว ยังมีส่วนสำคัญอีกส่วนหนึ่งคือการใช้งานโปรแกรมในการเก็บข้อมูลและการวิเคราะห์ผล ซึ่งในหัวข้อนี้จะได้อธิบายวิธีการใช้งานเบื้องต้น อาทิเช่น วิธีการใช้เครื่องมือ (Toolbar) การเปิดโปรแกรมเฉพาะสำหรับงานนั้นๆ การสร้าง (Routes) และการวิเคราะห์ผล ซึ่งในงานวิจัยนี้ได้ใช้โปรแกรมสำเร็จรูปของ **FAG Detector III** ชื่อโปรแกรม **Trendline** เวอร์ชัน 3.4.0.25

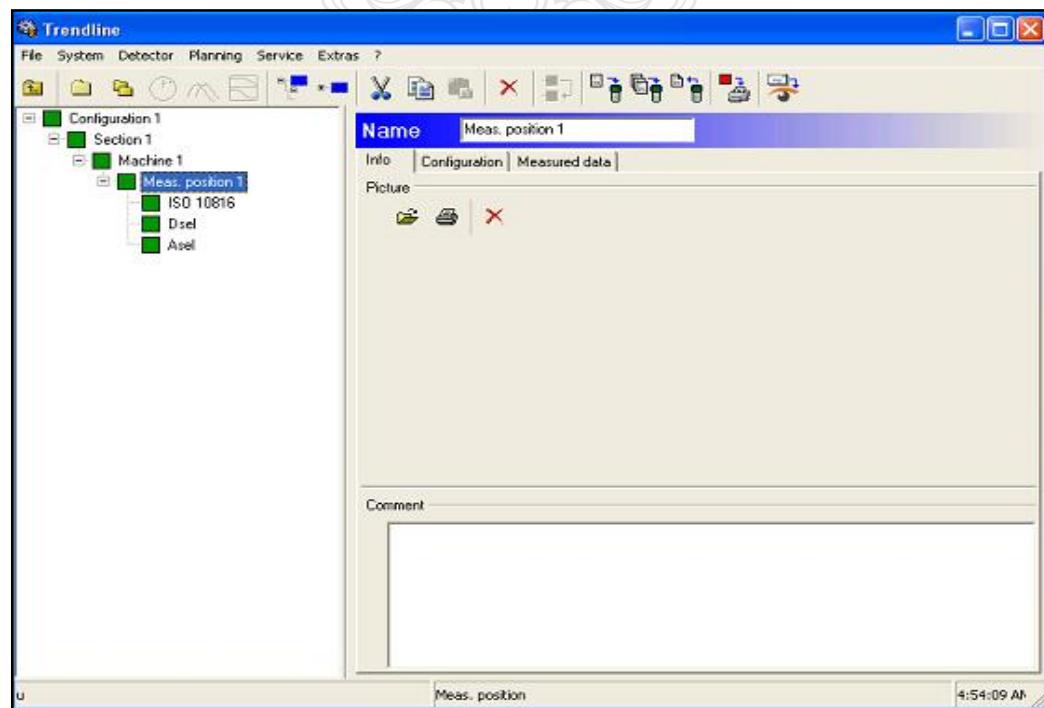


รูปที่ 1 สัญลักษณ์ของเครื่องมือและคำอธิบายต่างๆ

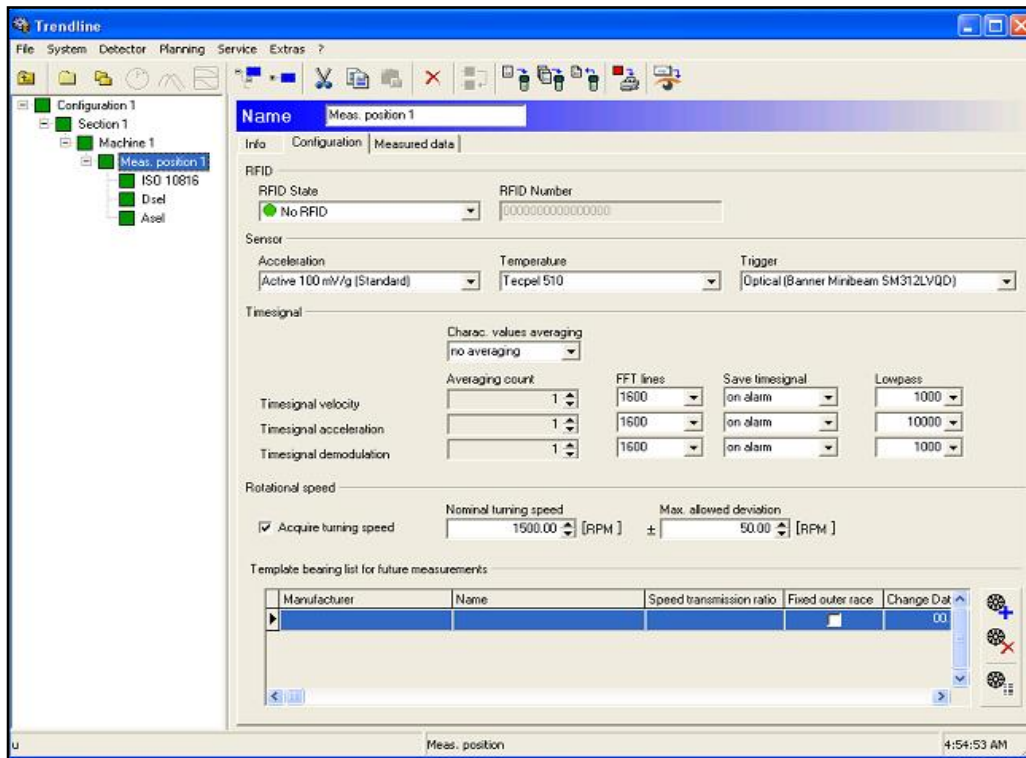
การสร้าง Routes ซึ่งจะเป็นการกำหนดค่าและรายละเอียดต่างๆ ที่ใช้ในการวัด



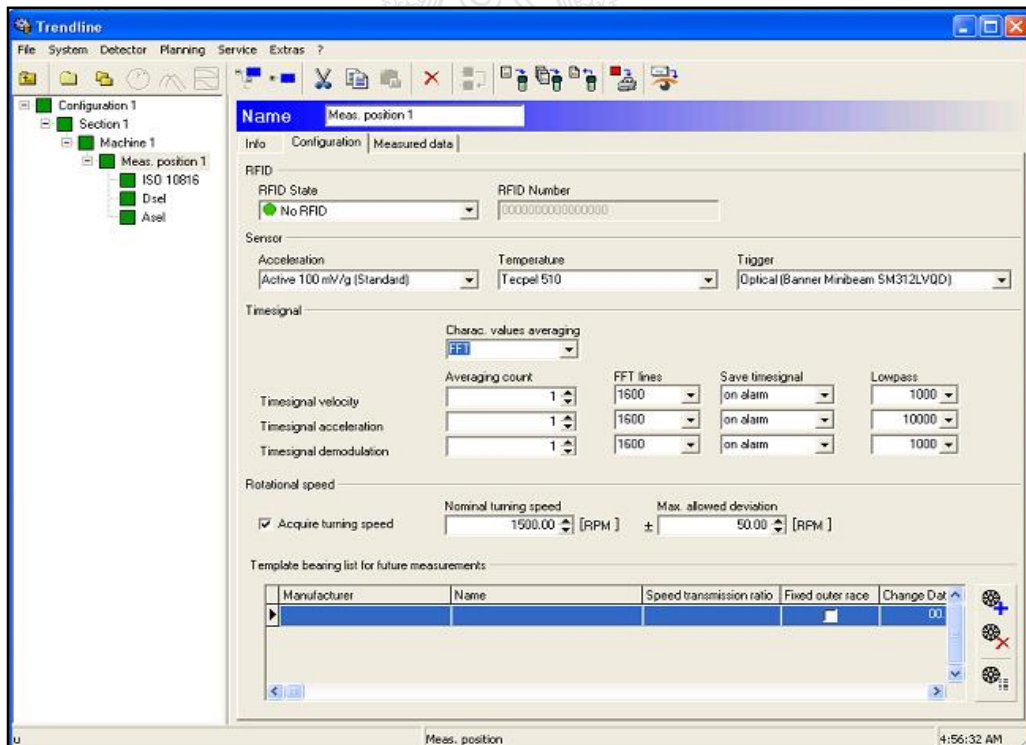
รูปที่ 2 การสร้าง Routes



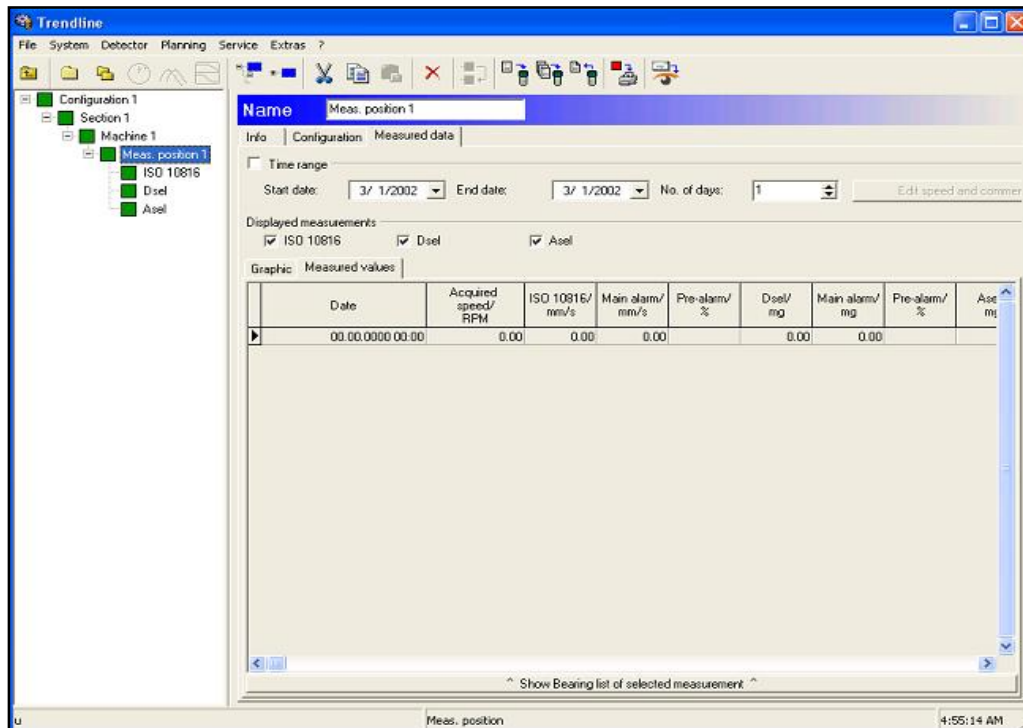
รูปที่ 3 การกำหนดพังก์ชันย่อ



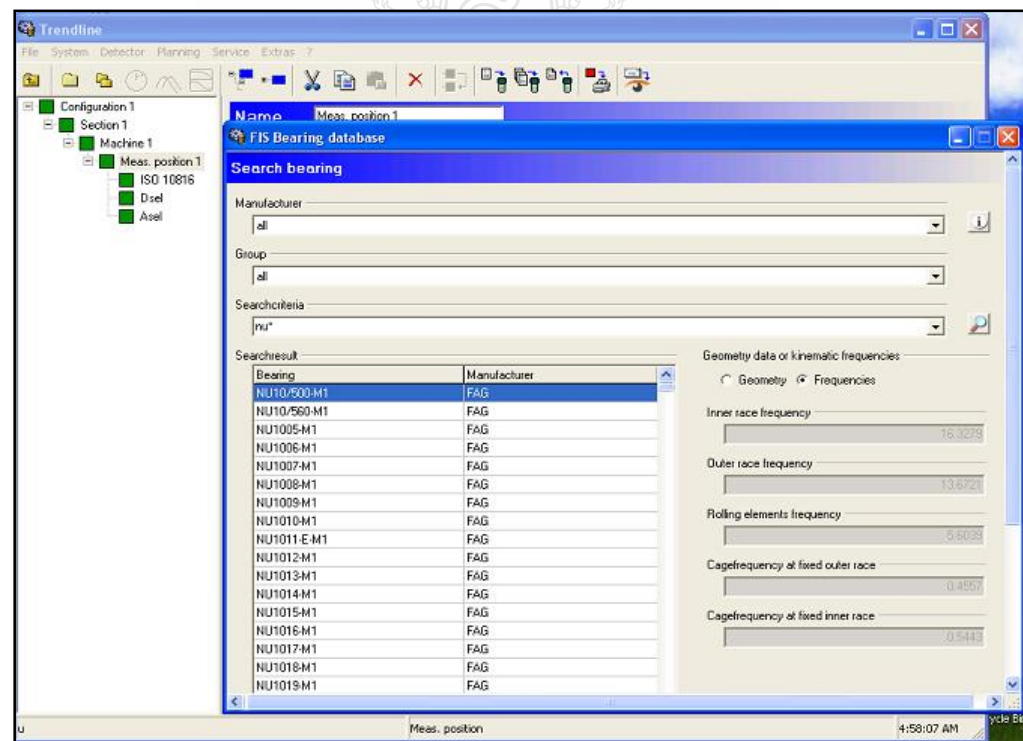
รูปที่ 4 การกำหนดความละเอียดในการแสดงผล ความเร็วรอบ และช่วงความถี่



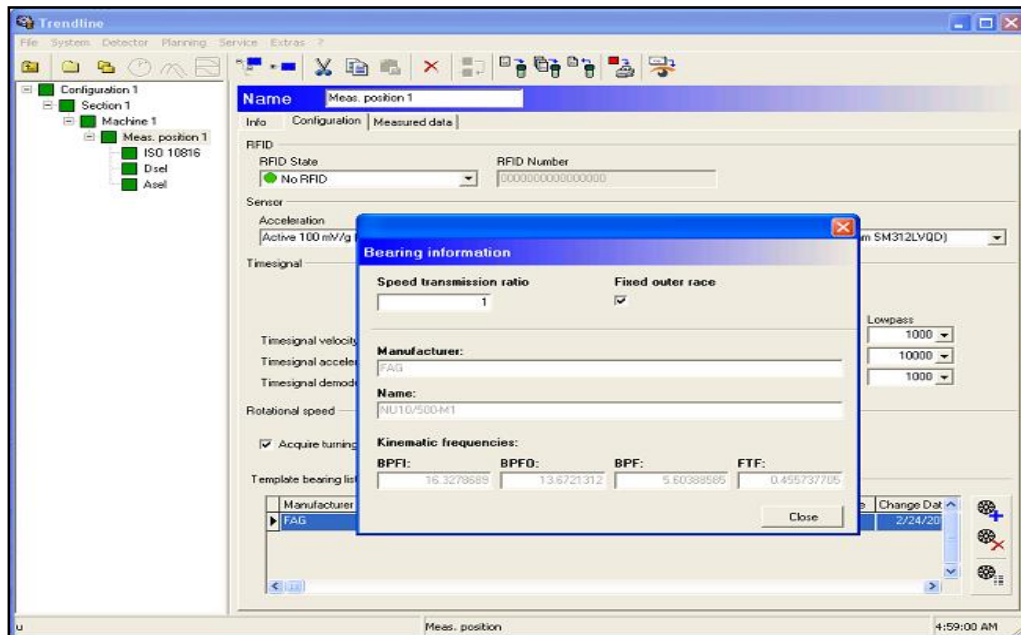
รูปที่ 5 เลือกวิเคราะห์สัญญาณเป็นแบบ FFT



รูปที่ 6 เลือกค่าที่จะแสดงผล

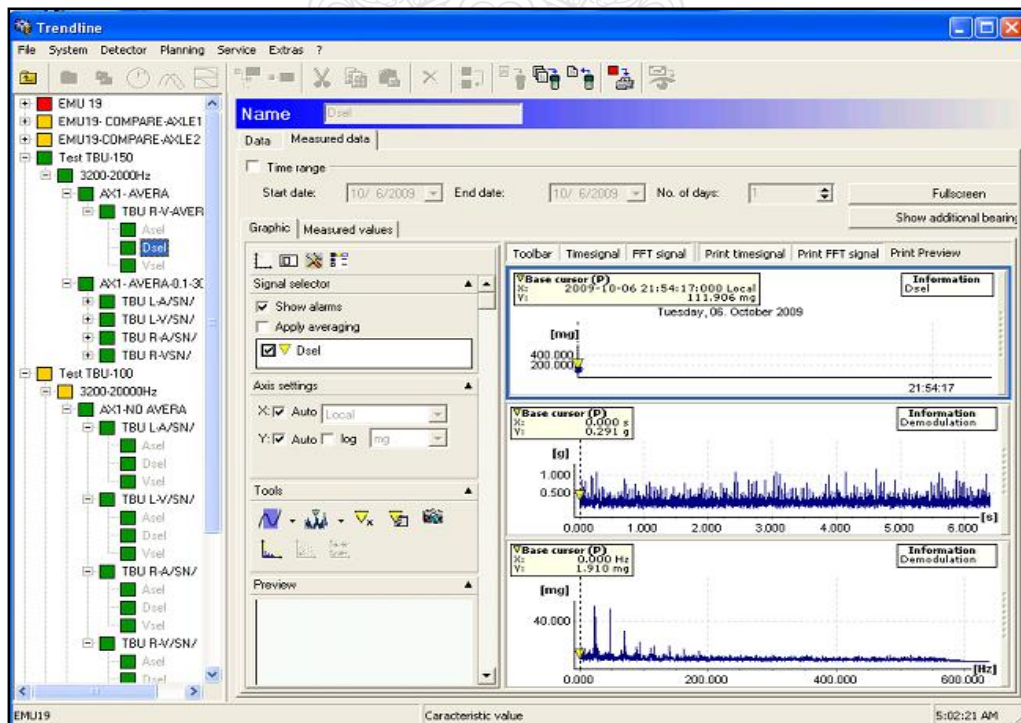


รูปที่ 7 เลือกตัวลับลูกปืน

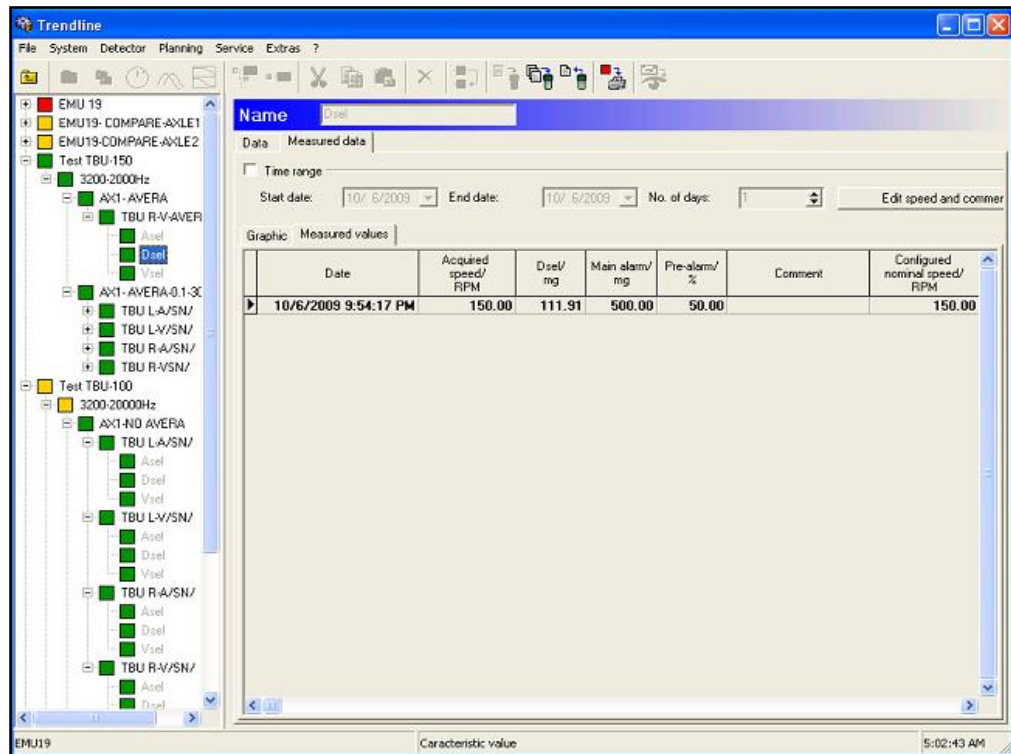


รูปที่ 8 ตรวจสอบความถี่

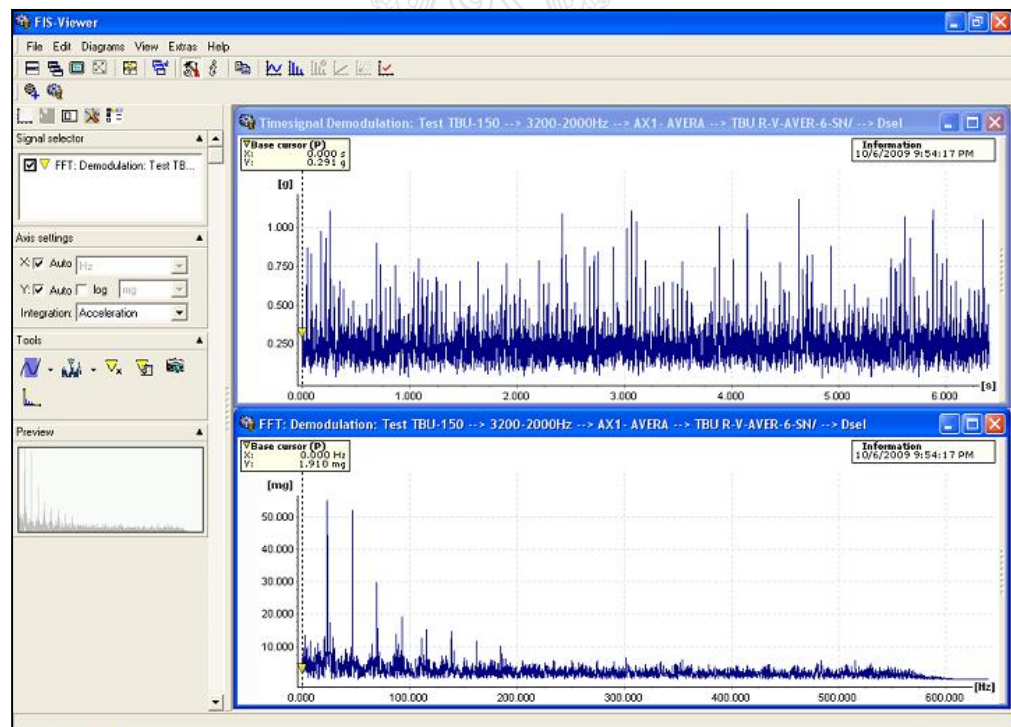
การวิเคราะห์ผลโดยจะแสดงค่าสัญญาณที่ได้จากการวัดในรูปแบบต่างๆ เพื่อตรวจสอบหาความผิดปกติ



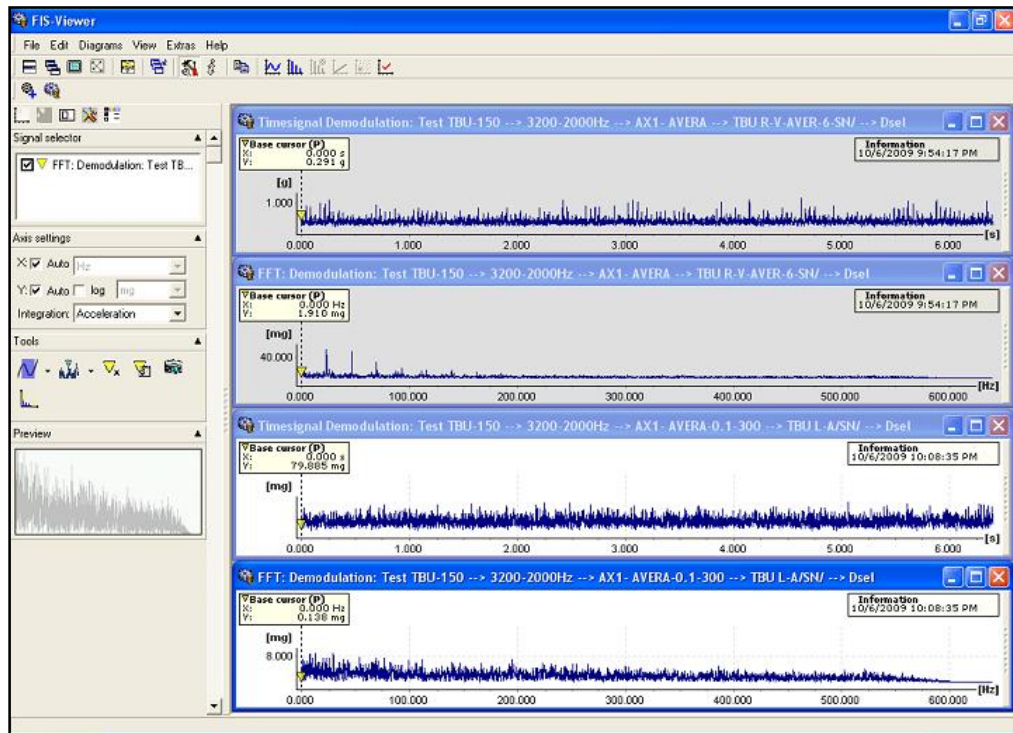
รูปที่ 9 ผลของความถี่



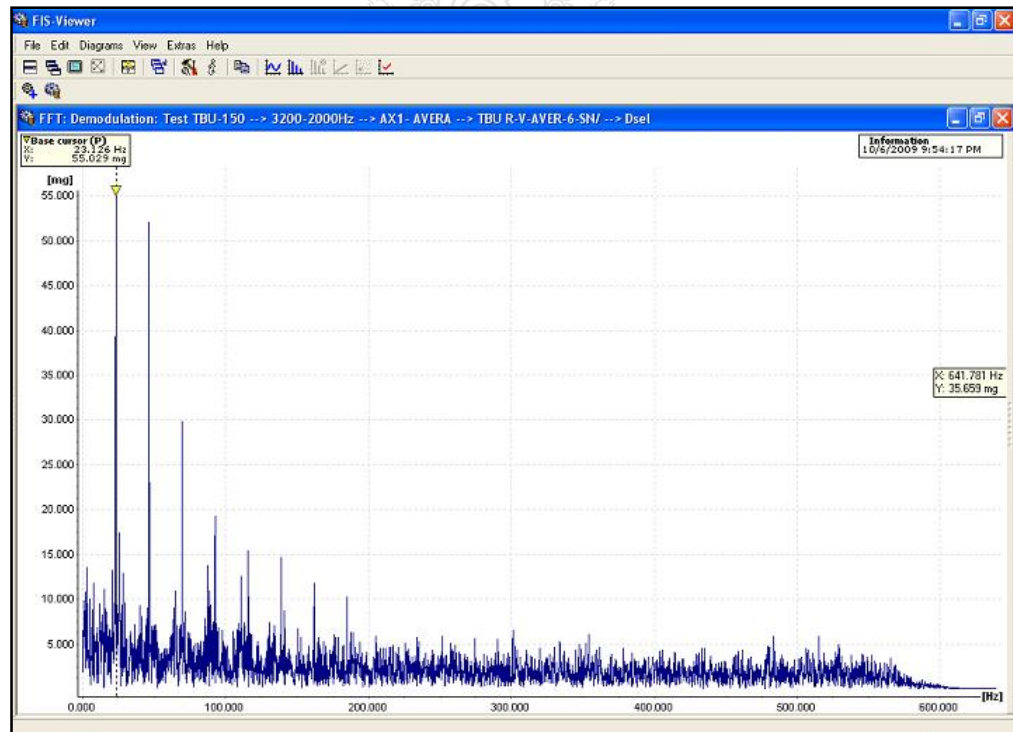
รูปที่ 10 การเลือกตำแหน่งที่จะแสดงผล



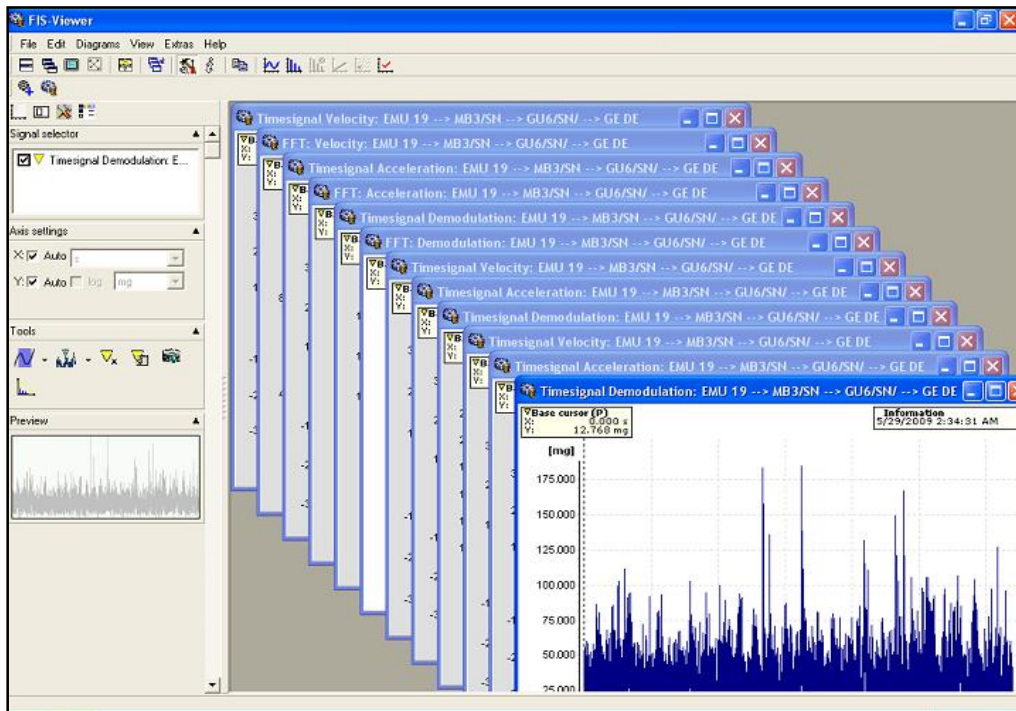
รูปที่ 11 การเปรียบเทียบกันระหว่างกราฟ Time Domain และ Spectrum Domain



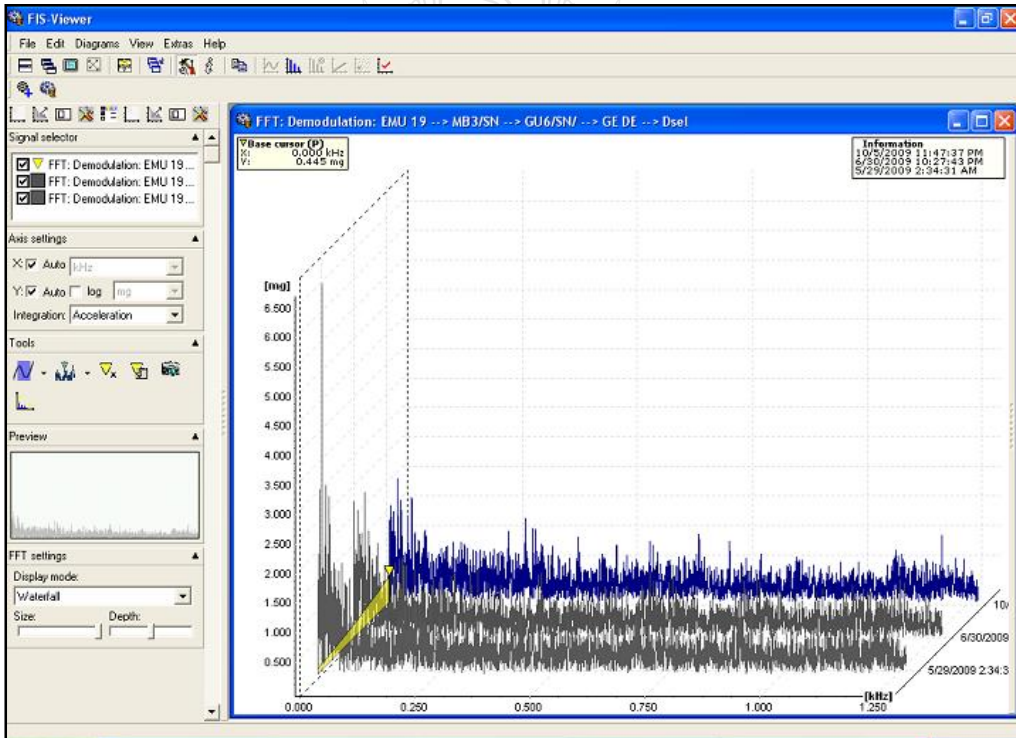
รูปที่ 12 การเปรียบเทียบความถี่ของคลับลูกปืน hairy ลูก



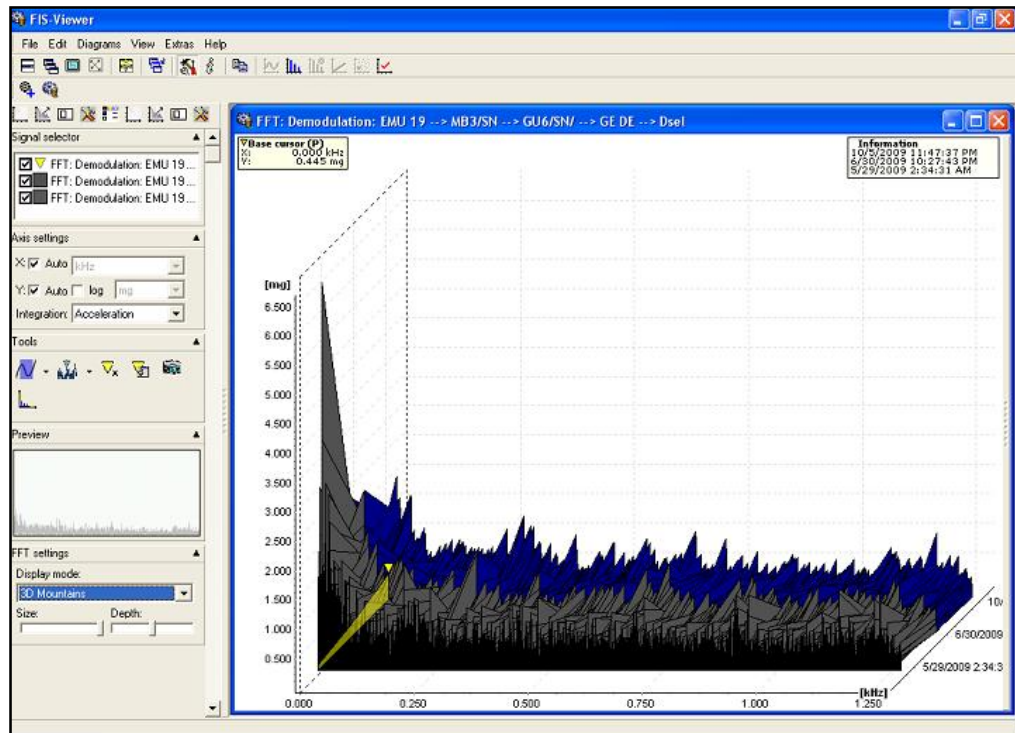
รูปที่ 13 การเลือกแสดงผลที่ละหน้าจอ



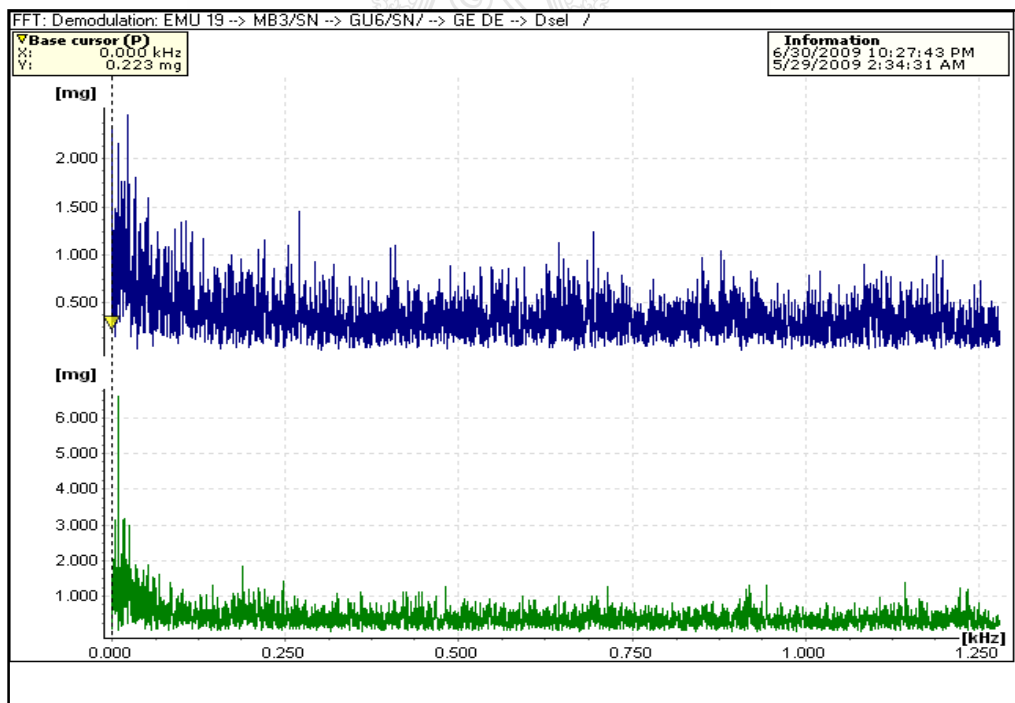
รูปที่ 14 การเลือกแสดงผลที่ละหายหน้าจอ



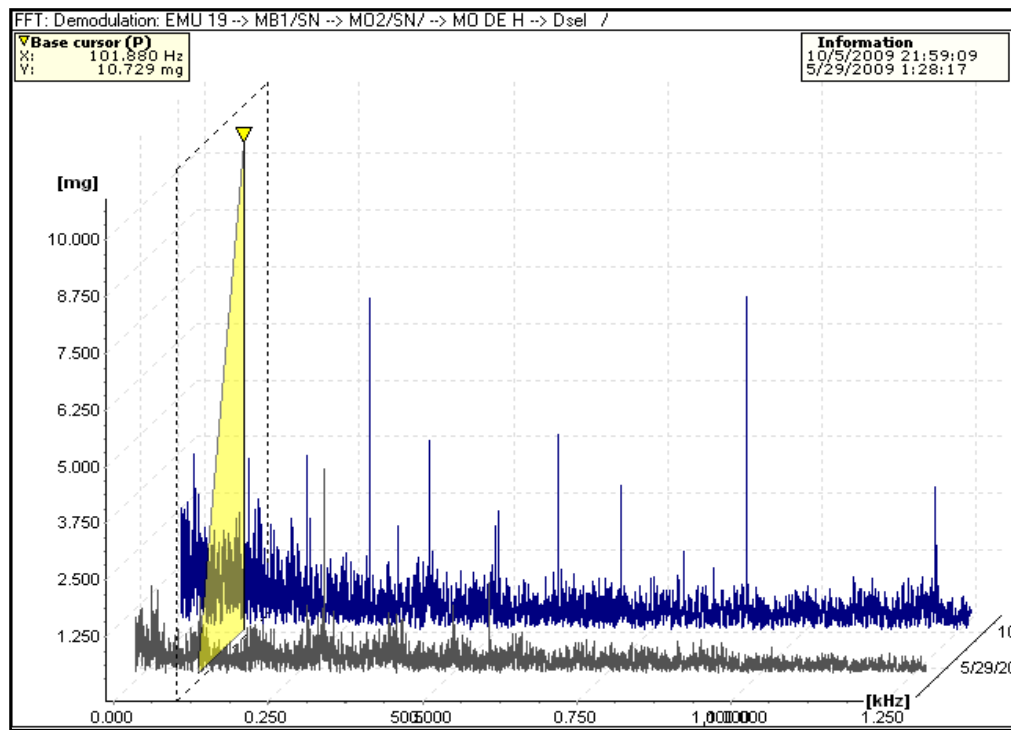
รูปที่ 15 การแสดงผลในรูปแบบ 3 มิติ



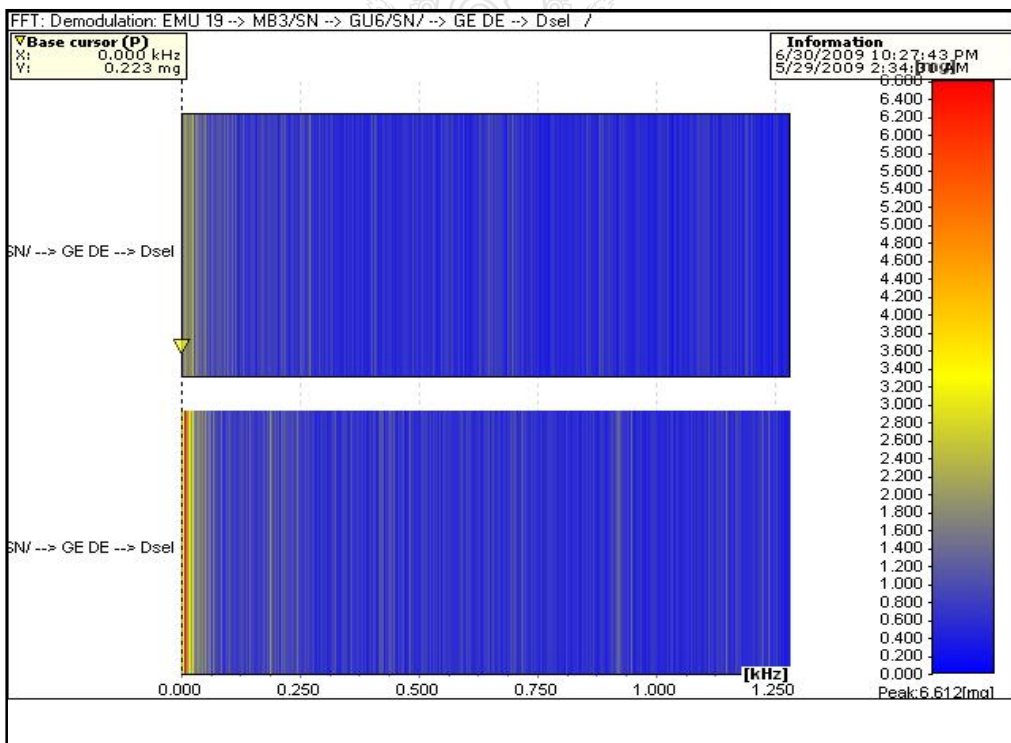
รูปที่ 16 การแสดงผลในรูปแบบ 3D Mountains



รูปที่ 17 การแสดงผลในรูปแบบ 2D Stacked



รูปที่ 18 การแสดงผลในรูปแบบ Waterfall



รูปที่ 19 การแสดงผลในรูปแบบ Sonagram

Characteristic value	Analog channel	Frequency range
a_{eff}	Acceleration	2 kHz - lowpass a
a_{sel}	Acceleration	$f_{\text{min_a}}$ - lowpass a (both frequencies adjustable, see table below)
ISO 10816	Speed	10 Hz - 1 kHz
v_{sel}	Speed	$f_{\text{min_v}}$ - lowpass v (both frequencies adjustable, see table below)
d_{eff}	Demodulation	f_{min} - lowpass d
d_{sel}	Demodulation	f_{min} - lowpass d (both frequencies adjustable, see table below)

รูปที่ 20 ข้อมูลทางค้านเทคนิค 1

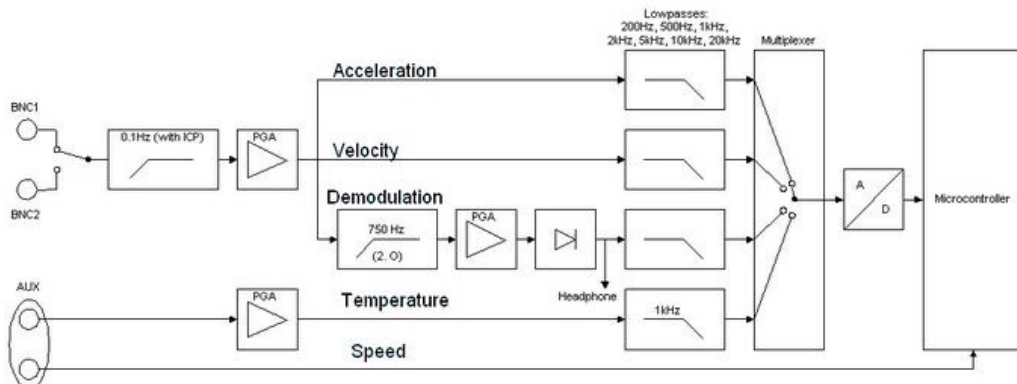


Lowpass	Sampling rate	FFT-length	f_{min}	$f_{\text{min_v}}^{(*)}$	Frequency resolution
200 Hz	512 SPS	1600 lines	0.125 Hz	0.375 Hz	0.125 Hz
200 Hz	512 SPS	3200 lines	0.1 Hz	0.19 Hz	0.0625 Hz
500 Hz	1.28 kSPS	1600 lines	0.3125 Hz	0.94 Hz	0.3125 Hz
500 Hz	1.28 kSPS	3200 lines	0.156 Hz	0.47 Hz	0.156 Hz
1 kHz	2.56 kSPS	1600 lines	0.625 Hz	1.875 Hz	0.625 Hz
1 kHz	2.56 kSPS	3200 lines	0.3125 Hz	0.94 Hz	0.3125 Hz
2 kHz	5.12 kSPS	1600 lines	1.25 Hz	3.75 Hz	1.25 Hz
2 kHz	5.12 kSPS	3200 lines	0.625 Hz	1.875 Hz	0.625 Hz
5 kHz	12.8 kSPS	1600 lines	3.125 Hz	9.375	3.125 Hz
5 kHz	12.8 kSPS	3200 lines	1.56 Hz	4.7 Hz	1.56 Hz
10 kHz	25.6 kSPS	1600 lines	6.25 Hz	18.75 Hz	6.25 Hz
10 kHz	25.6 kSPS	3200 lines	3.125 Hz	9.375 Hz	3.125 Hz
20 kHz	51.2 kSPS	1600 lines	12.5 Hz	37.5 Hz	12.5 Hz
20 kHz	51.2 kSPS	3200 lines	6.25 Hz	18.75 Hz	6.25 Hz

(SPS = Samples per second)

(*) In the case of characteristic values for speed the minimum frequency is the third line in the spectrum as the first lines may become overly large as a result of the integration.

รูปที่ 21 ข้อมูลทางค้านเทคนิค 2

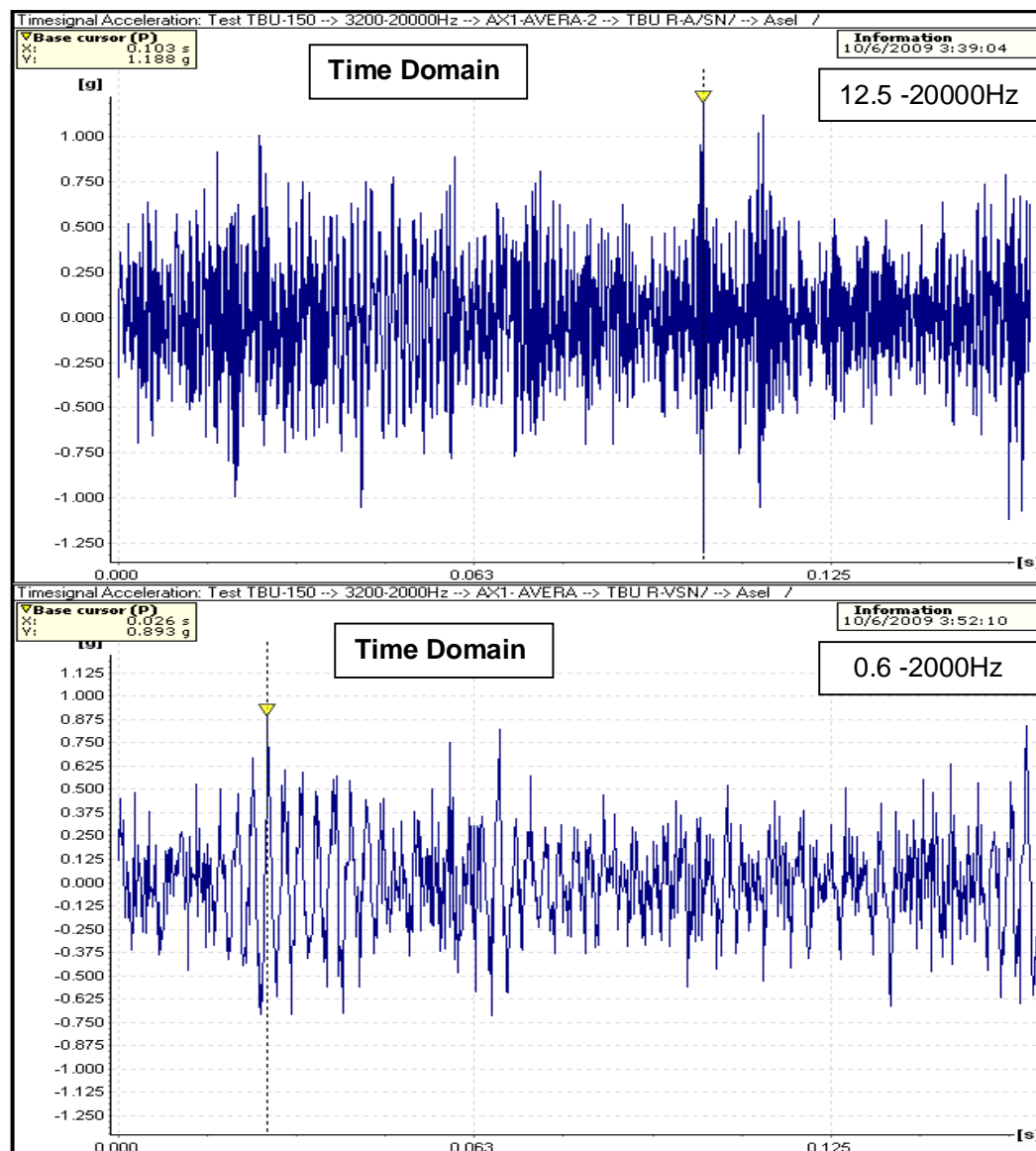


รูปที่ 22 วงจรของเครื่องวัด



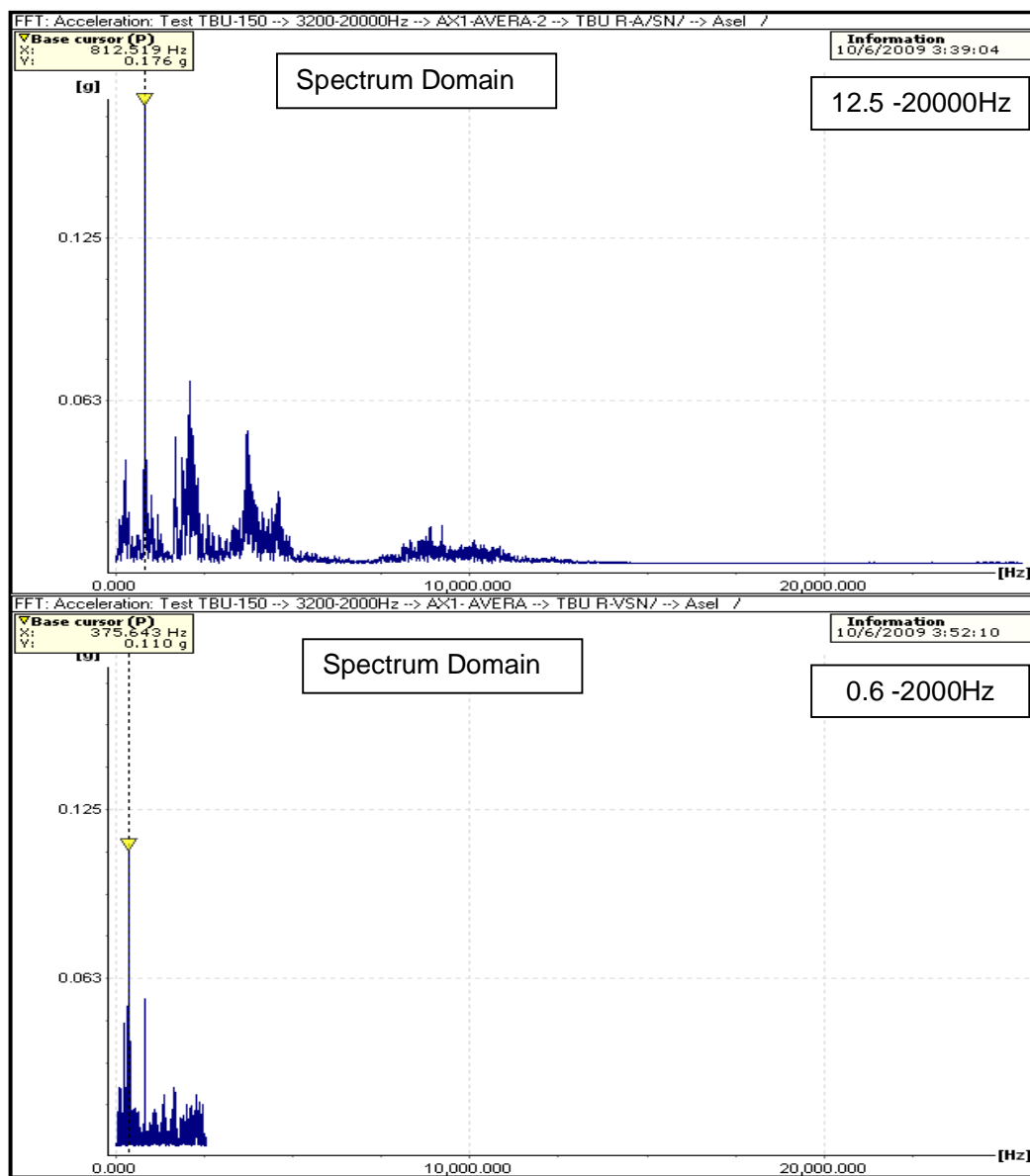
เปรียบเทียบกราฟในฟังก์ชัน Acceleration ในตัวลับลูกปืนตัวเดียวกัน

เปรียบเทียบกันระหว่าง การวัดในช่วงความถี่สูงกับต่ำ (12.5-20000 Hz กับ 0.6-2000 Hz) ใน Time Domain ที่ความเร็วรอบ 150 RPM แสดงให้เห็นความแตกต่างของความถี่ การวัดที่ความถี่สูงจะมีความละเอียดของสัญญาณมากจะเหมาะสมกับการเสียหายในระยะเริ่มต้น ส่วนการวัดในย่านความถี่ต่ำนั้นจะเหมาะสมกับการเสียหายในระยะที่เกิดความถี่ธรรมชาติของชิ้นส่วนตัวลับลูกปืน เพราะการเสียหายระยะนี้จะเกิดในย่านความถี่ต่ำ



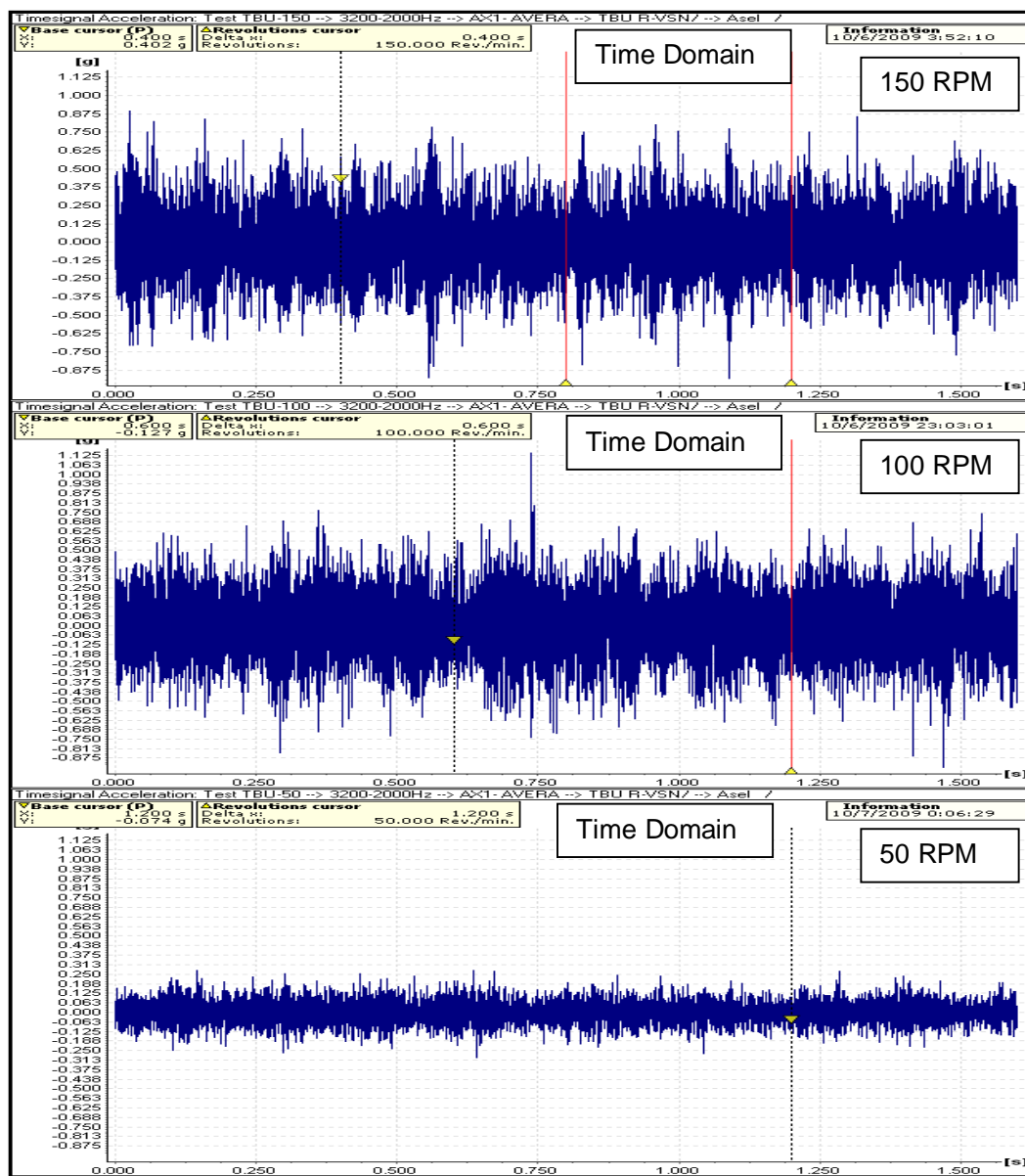
รูปที่ 1 กราฟ Time Domain ในฟังก์ชัน Acceleration

เปรียบเทียบกันระหว่าง การวัดในช่วงความถี่สูงกับต่ำ ($12.5\text{-}20000\text{ Hz}$ กับ $0.6\text{-}2000\text{ Hz}$) ใน Spectrum Domain ที่ความเร็วรอบ 150 RPM



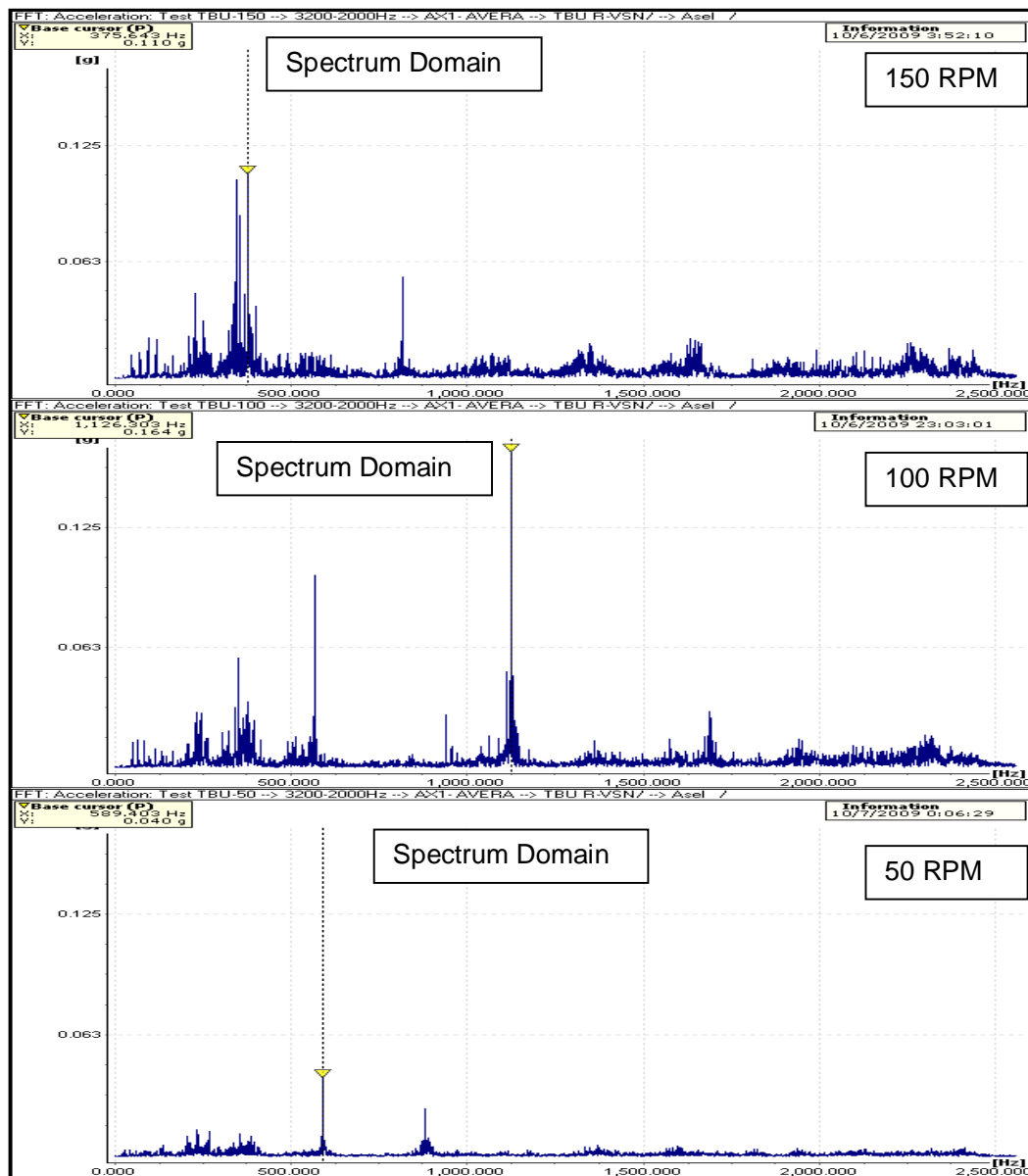
รูปที่ 2 กราฟ Spectrum Domain ในฟังก์ชัน Acceleration

เปรียบเทียบกันระหว่างการวัดที่ความเร็วรอบ 150, 100, 50 RPM ที่วัดในช่วงความถี่ต่ำ (0.6-2000 Hz) ใน Time Domain



รูปที่ 3 กราฟ Time Domain เปรียบเทียบกันระหว่างการวัดที่ความเร็วรอบ 150, 100, 50 RPM ใน พังก์ชัน Acceleration

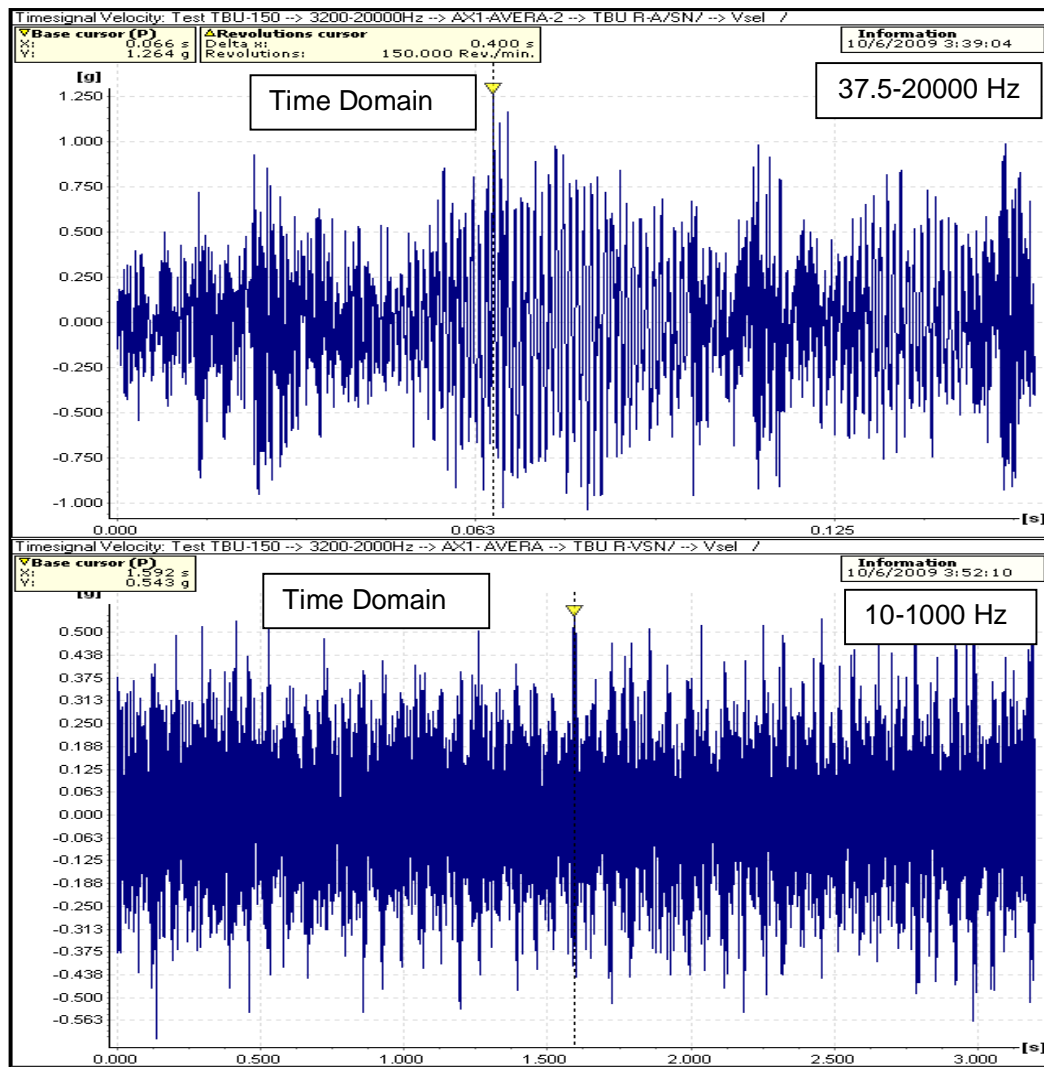
เปรียบเทียบกันระหว่างการวัดที่ความเร็วรอบ 150, 100, 50 RPM ที่วัดในช่วงความถี่ต่ำ (0.6-2000 Hz) ใน Spectrum Domain



รูปที่ 4 กราฟ Spectrum Domain เปรียบเทียบกันระหว่างการวัดที่ความเร็วรอบ 150, 100, 50 RPM
ในฟังก์ชัน Acceleration

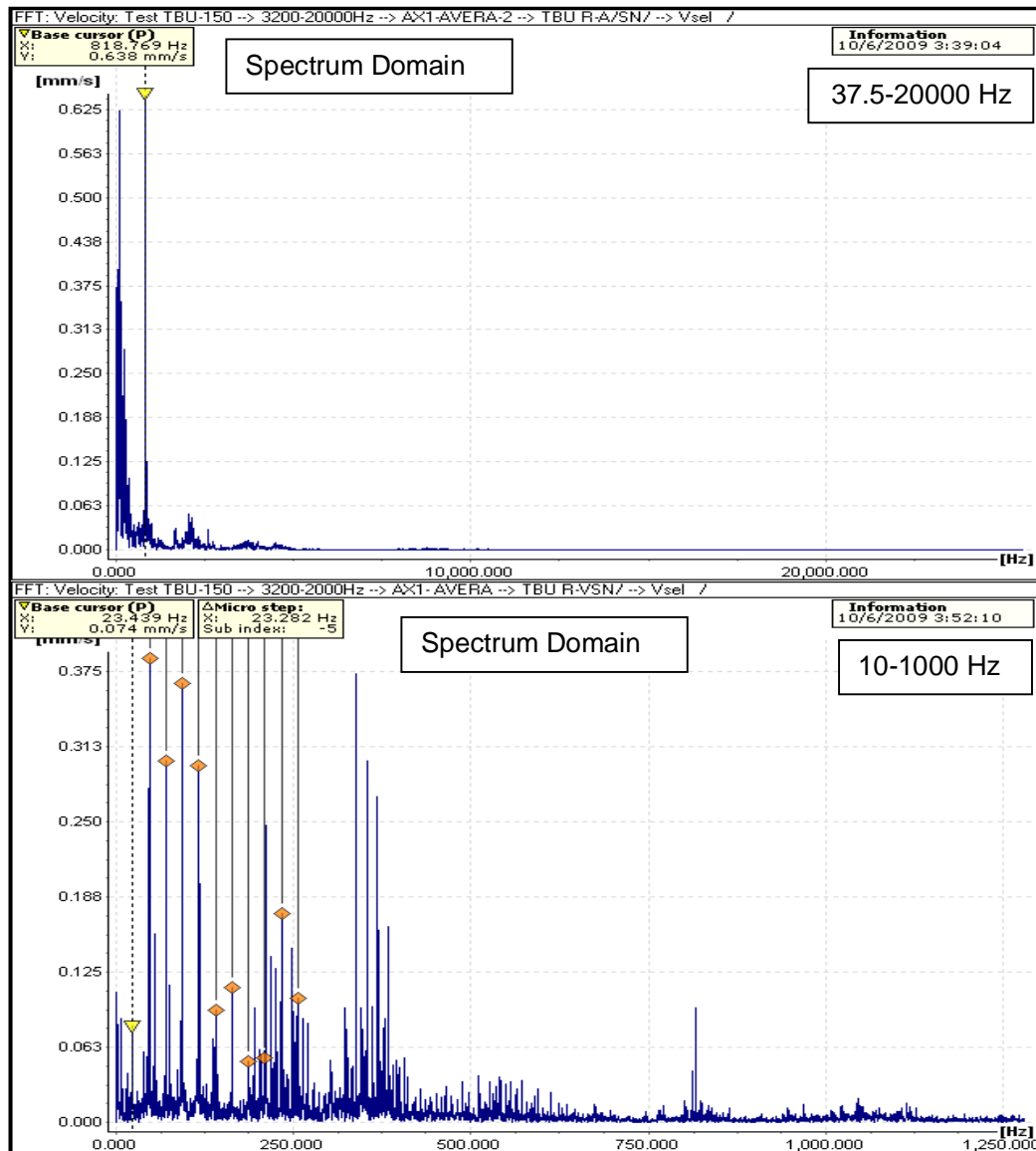
เปรียบเทียบกราฟในฟังก์ชัน Velocity ในตัวลับลูกปืนตัวเดียวกัน

เปรียบเทียบกันระหว่าง การวัดในช่วงความถี่สูงกับต่ำ (37.5-20000 Hz กับ 10-1000 Hz) ใน Time Domain ที่ความเร็วรอบ 150 RPM แสดงให้เห็นความแตกต่างของความถี่ การวัดที่ความถี่สูงจะมีความละเอียดของสัญญาณมากจะเหมาะสมกับการเสียหายในระยะเริ่มต้น ส่วนการวัดในย่านความถี่ต่ำนั้นจะเหมาะสมกับการเสียหายในระยะที่เกิดความถี่ธรรมชาติของชิ้นส่วนตัวลับลูกปืน เพราะการเสียหายระยะนี้จะเกิดในย่านความถี่ต่ำ



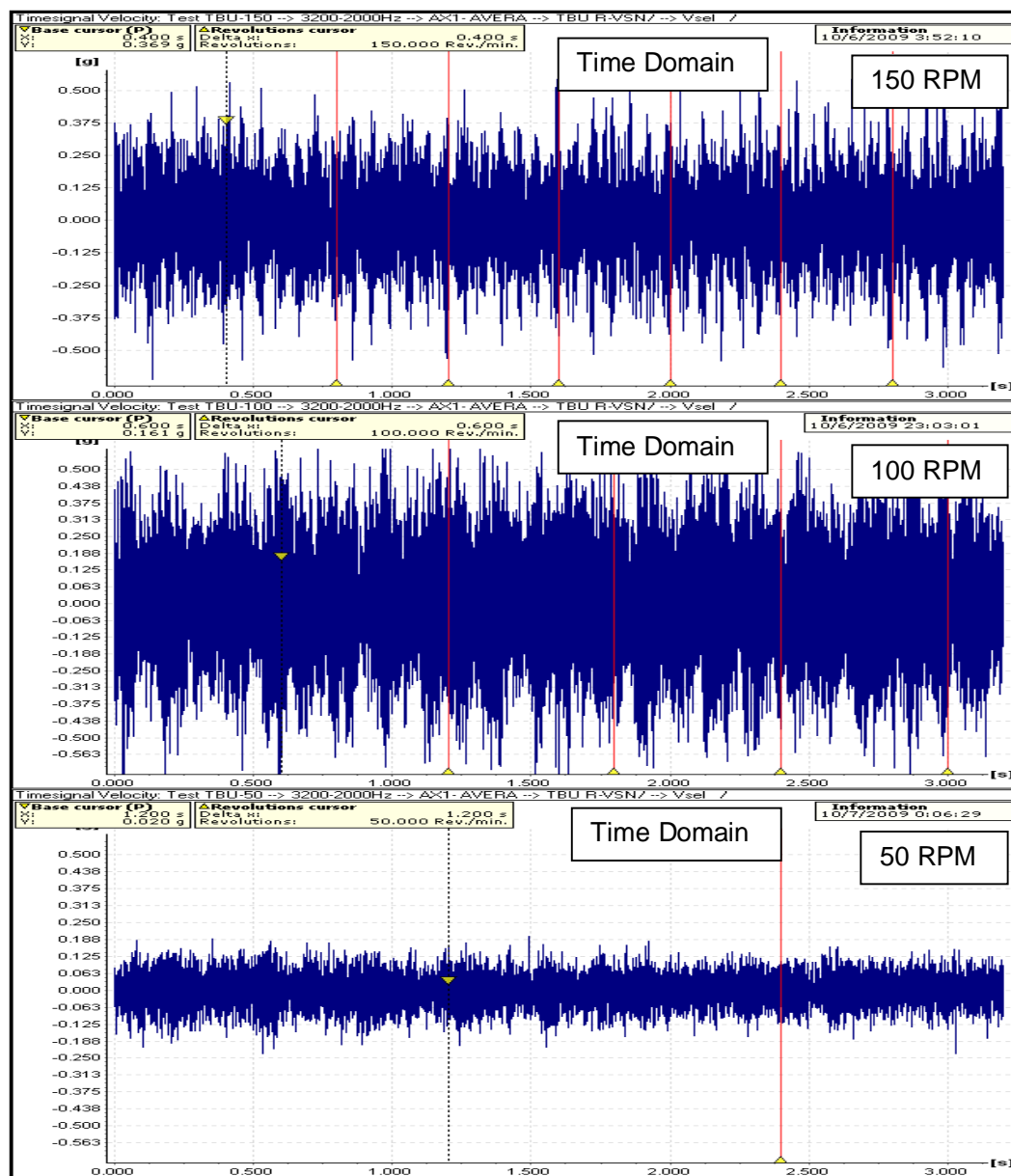
รูปที่ 5 กราฟ Time Domain ในฟังก์ชัน Velocity

เปรียบเทียบกันระหว่าง การวัดในช่วงความถี่สูงกับต่ำ (37.5-20000 Hz กับ 10-1000 Hz) ใน Spectrum Domain ที่ความเร็วรอบ 150 RPM



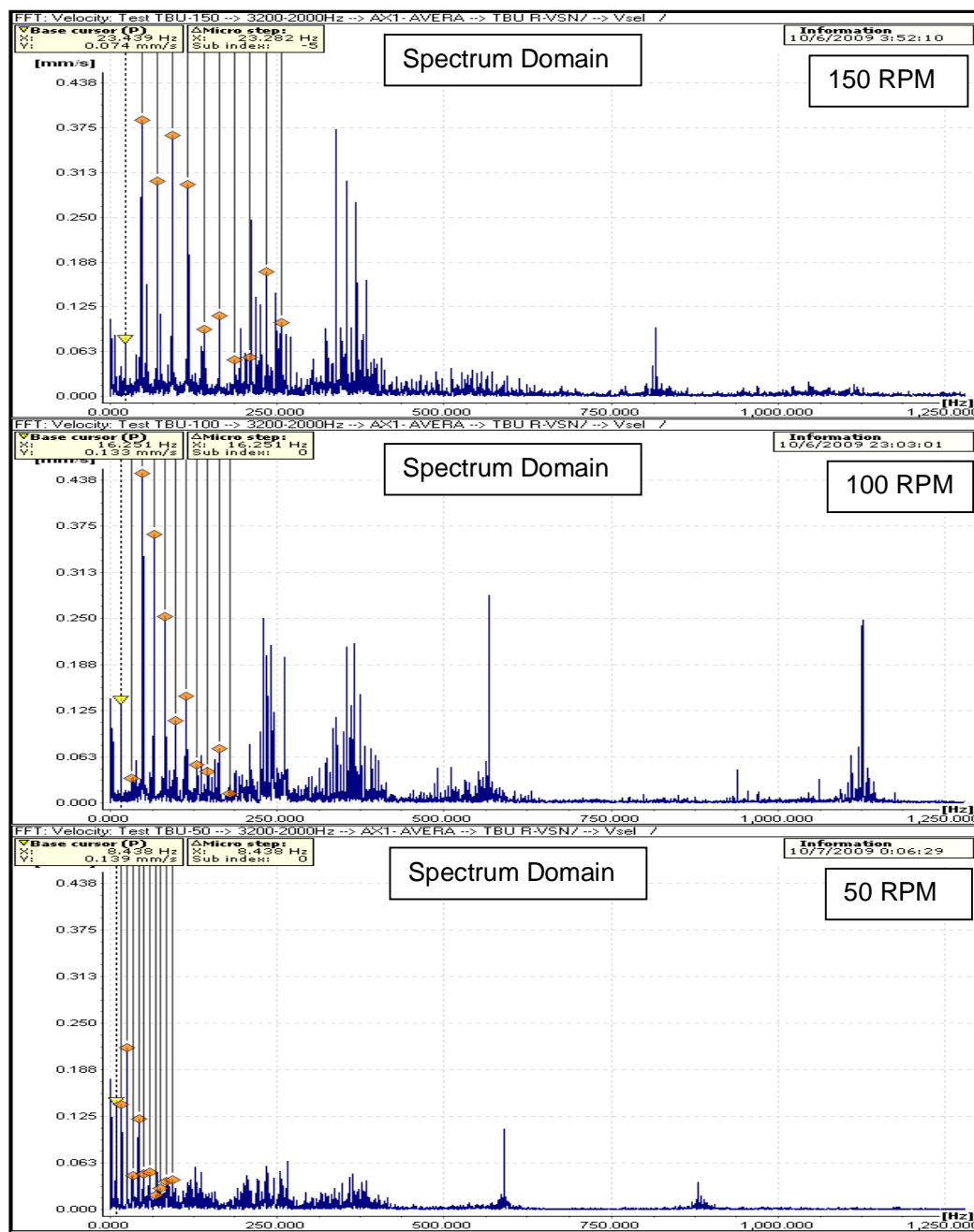
รูปที่ 6 กราฟ Spectrum Domain ในฟังก์ชัน Velocity

เปรียบเทียบกันระหว่างการวัดที่ความเร็วอ่อน 150, 100, 50 RPM ที่วัดในช่วงความถี่ต่ำ (10-1000Hz) ใน Time Domain



รูปที่ 7 กราฟ Time Domain เปรียบเทียบกันระหว่างการวัดที่ความเร็วอ่อน 150, 100, 50 RPM ใน พื้นที่ชั้น Velocity

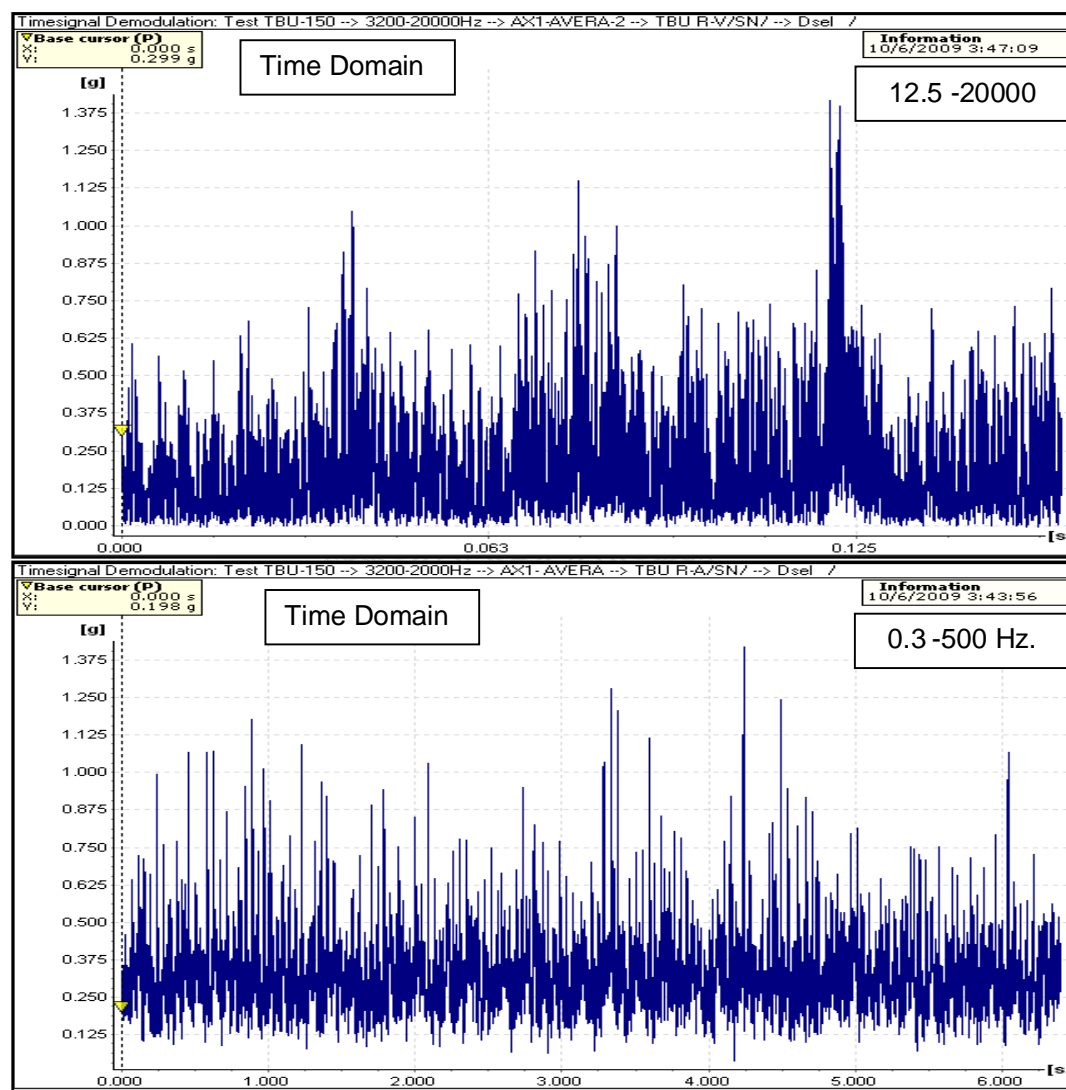
เปรียบเทียบกันระหว่างการวัดที่ความเร็วอยู่ 150, 100, 50 RPM ที่วัดในช่วงความถี่ต่ำ (10-1000Hz) ใน Spectrum Domain



รูปที่ 8 กราฟ Spectrum Domain เปรียบเทียบกันระหว่างการวัดที่ความเร็วอยู่ 150, 100, 50 RPM ใน พังค์ชั้น Velocity

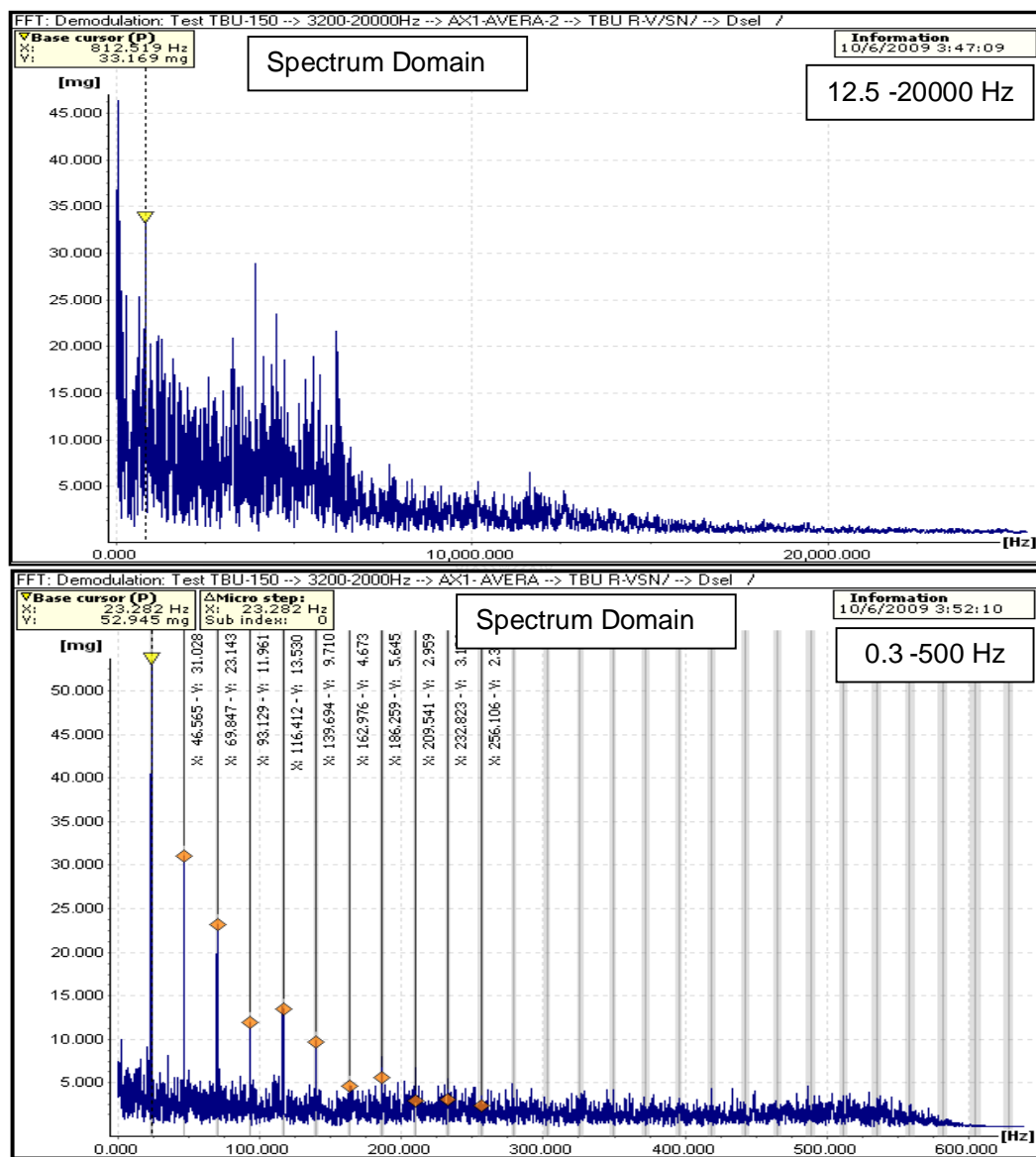
เปรียบเทียบกราฟในฟังก์ชัน Demodulation ในตัวลับลูกปืนตัวเดียว กัน

เปรียบเทียบกันระหว่าง การวัดในช่วงความถี่สูงกับต่ำ (12.5-20000 Hz กับ 0.3-500 Hz) ใน Time Domain ที่ความเร็วรอบ 150 RPM แสดงให้เห็นความแตกต่างของความถี่ การวัดที่ความถี่สูงจะมีความละเอียดของสัญญาณมากจะเหมาะสมกับการเสียหายในระยะเริ่มต้น ส่วนการวัดในย่านความถี่ต่ำนั้นจะเหมาะสมกับการเสียหายในระยะที่เกิดความถี่ธรรมชาติของชิ้นส่วนตัวลับลูกปืน เพราะการเสียหายระยะนี้จะเกิดในย่านความถี่ต่ำ



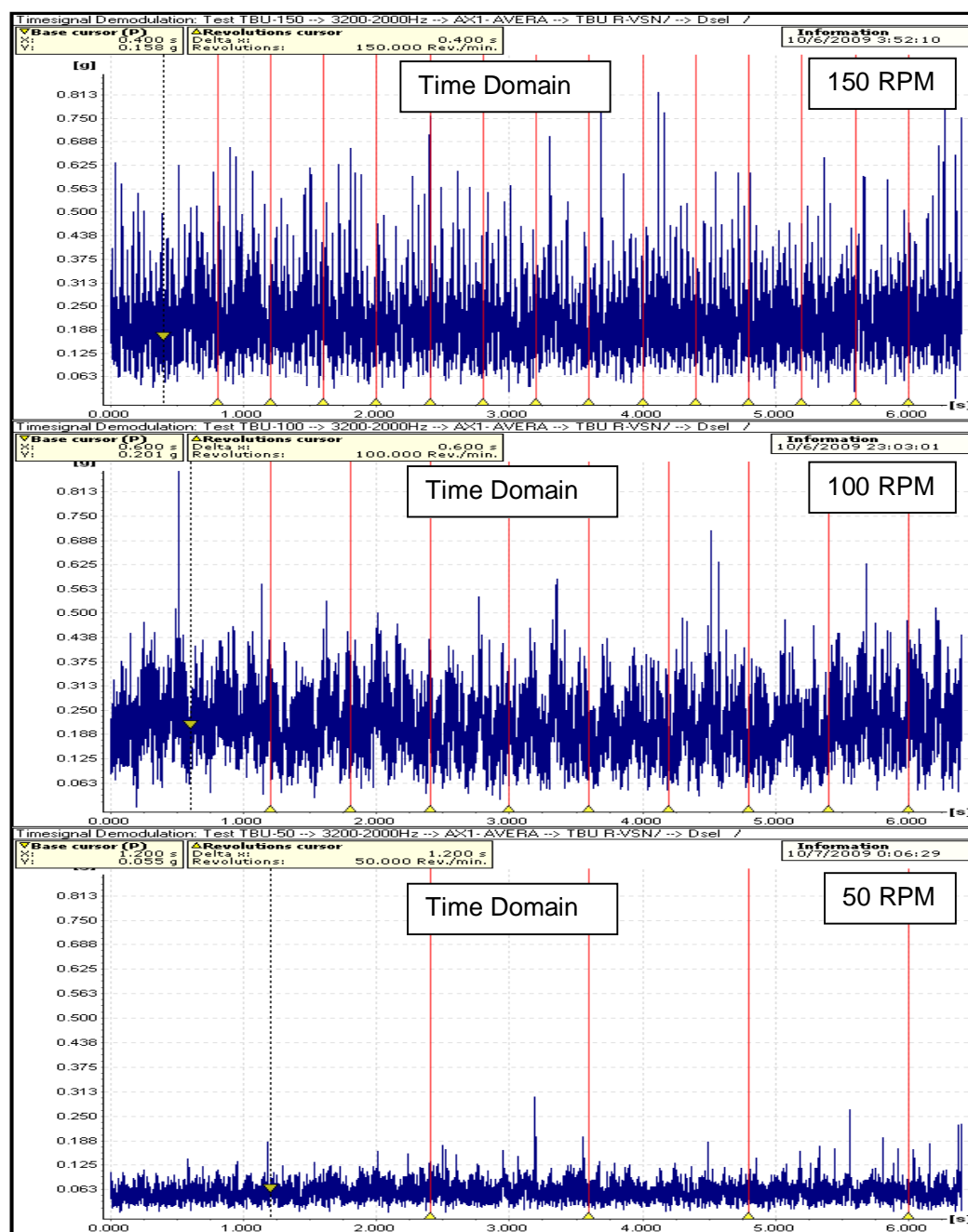
รูปที่ 9 กราฟ Time Domain ในฟังก์ชัน Demodulation

เปรียบเทียบกันระหว่าง การวัดในช่วงความถี่สูงกับต่ำ (12.5-20000 Hz กับ 0.3-500 Hz) ใน Spectrum Domain ที่ความเร็วรอบ 150 RPM



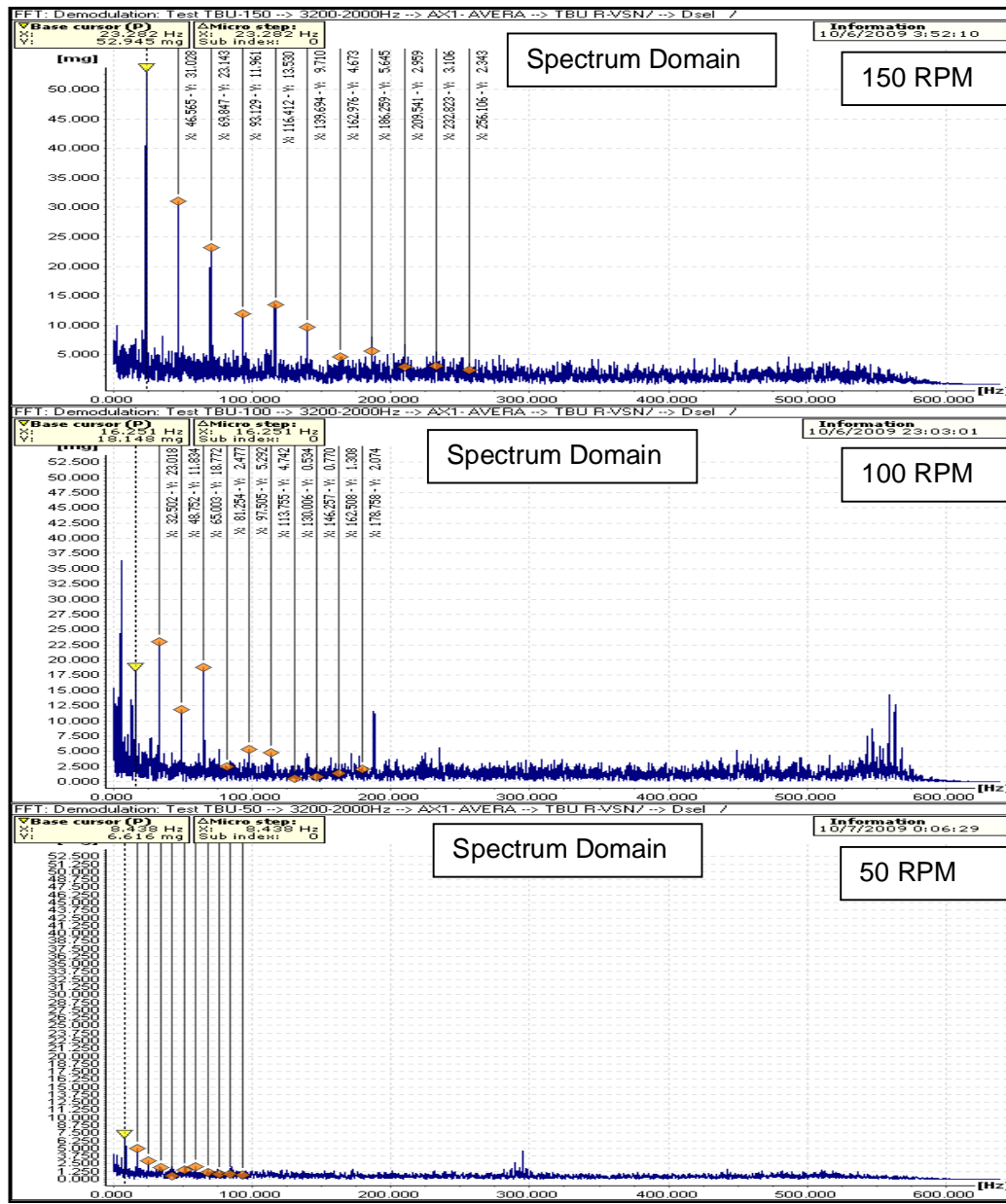
รูปที่ 10 กราฟ Spectrum Domain ในฟังก์ชัน Demodulation

เปรียบเทียบกันระหว่างการวัดที่ความเร็วรอบ 150, 100, 50 RPM ที่วัดในช่วงความถี่ต่ำ (0.3-500 Hz) ใน Time Domain



รูปที่ 11 กราฟ Time Domain เปรียบเทียบกันระหว่างการวัดที่ความเร็วรอบ 150, 100, 50 RPM
ในฟังก์ชัน Demodulation

เปรียบเทียบกันระหว่างการวัดที่ความเร็วรอบ 150, 100, 50 RPM ที่วัดในช่วงความถี่ต่ำ (0.3-500 Hz) ใน Spectrum Domain เพื่อแสดงให้เห็นความสูงของสัญญาณที่แตกต่างกันโดยในความเร็วรอบ 150 จะมีสัญญาณสูงกว่าการวัดในความเร็วรอบต่ำ โดยจะสังเกตเห็นสัญญาณสารมอนิกได้อย่างชัดเจน



รูปที่ 12 กราฟ Spectrum Domain เปรียบเทียบกันระหว่างการวัดที่ความเร็วรอบ 150, 100, 50 RPM ในฟังก์ชัน Demodulation

ภาควิชานวัตกรรม

ผลงานวิจัยที่ได้รับการตีพิมพ์

ผลงานวิจัยที่ได้รับการตีพิมพ์

สุริยา สารมาตย์ และเทอดเกียรติ ลิมปิกีประการ, “การวินิจฉัยหัวใจความเสี่ยหายเพื่อที่จะหาอายุ การใช้งานของคลับลูกปืนในล้อรถไฟฟ้าบนส่วนมวลชน”, การประชุมทางวิชาการของ มหาวิทยาลัยเกษตรศาสตร์ ครั้งที่ 48, 3-5 กุมภาพันธ์ 2553, หน้า 83-90.



เรื่องเต็มการประชุมทางวิชาการ ครั้งที่ ๔๘ มหาวิทยาลัยเกษตรศาสตร์

เล่มที่ ๗ สาขาวิชาปัฒนกรรมศาสตร์และวิศวกรรมศาสตร์

(Subject: Architecture and Engineering)



พื้นเเครatz กิจ忙ต เกษตรศาสตร์กู้วิกฤต พชตโภกรร้อน

The Roles of Agriculture Science in Fueling Economic Revival, Resolving the Crisis and Battling Global Warming



การวิเคราะห์ความเสียหายเพื่อที่จะหาอายุการใช้งานของตลับลูกปืนในล้อรถไฟฟ้าขนส่งมวลชน
Failures Analysis for Service Life of Bearing in Mass Transit Electric Train

สุริยา สารามาตย์¹ เทศเดียรติ ลิมปีปราการ²
Suriya Saramart¹ Terdkiat Limpeteeprakarn²

บทคัดย่อ

บทความนี้นำเสนอเกี่ยวกับการวิเคราะห์ความเสียหายของตลับลูกปืนในล้อรถไฟฟ้าขนส่งมวลชน ภายในประเทศไทย ที่ผ่านการใช้งานมาแล้วเป็นระยะเวลา 6 ปี การวิเคราะห์เริ่มต้นจากการศึกษาลักษณะความเสียหายของตลับลูกปืนโดยอาศัยการเบรียบเทียบเบอร์เช็นต์ความเสียหายที่เกิดขึ้นบนหน้าสัมผัสตลับลูกปืนต่อพื้นที่ผิวที่รับภาระทั้งหมด จากการศึกษาพบว่าตลับลูกปืนที่ผ่านการใช้งานตามระยะเวลาที่กำหนดสามารถจำแนกออกได้เป็น 3 ระดับคือระดับ A, B และ C กล่าวคือระดับ A ซึ่งมีเบอร์เช็นต์ความเสียหายต่ำที่สุดที่ 1-15% จะมีอายุการใช้งานได้อีกประมาณ 3-5 ปี หรือ 300,000 - 500,000 km. ระดับ B ซึ่งมีเบอร์เช็นต์ความเสียหายอยู่ที่ 15-30% จะมีอายุการใช้งานได้อีกประมาณ 2-3 ปี หรือ 200,000 - 300,000 km. และระดับ C ซึ่งมีเบอร์เช็นต์ความเสียหาย 30-50% จะมีอายุการใช้งานค่อนข้างน้อยจึงไม่นำไปใช้งาน 再利用 ไม่คุ้มค่ากับการบำรุงรักษา

ABSTRACT

This paper presents a method of analyzing the failure of a 6-year used taper roller bearing unit of the shaft in a mass-transit electric train. To identify the failure characteristic, a comparison of the failure area with the full surface area in the load zone is made. Based on the study result, it is found that there are 3 levels of failure types, namely Class A, Class B, and Class C. Class A has a failure area of about 1-15%, and can be used in service for another 3-5 year or 300,000-500,000 km. Class B has about 15-30% and expected to be used for 2-3 year or 200,000-300,000 km. Finally, Class C has a failure area of 30-50% and should not be used in service again.

Key Words: Bearing Service Life, Bearing, Electric Train

S Saramart: siemens-overhaul@hotmail.com

¹ศูนย์ซ่อมบำรุงรถไฟฟ้า BTS จตุจักร กรุงเทพฯ 10900

BTS Depot, Chatuchak, Bangkok 10900

²ภาควิชาวิศวกรรมเครื่องกล คณะวิศวกรรมศาสตร์ มหาวิทยาลัยเทคโนโลยีราชมงคลธัญบุรี ปทุมธานี 12110

Department of Mechanical Engineering, Rajamangala University of Technology Thanyaburi, Phatumthani 12110

คำนำ

ในปัจจุบันการหันมาใช้รถไฟฟ้าขับส่งมวลชนนокจากจะเป็นการลดปัญหาการจราจรติดขัดแล้วยังเป็นการส่งเสริมการใช้พลังงานของประเทศอย่างมีประสิทธิภาพอีกด้วย ในขณะเดียวกันรถไฟฟ้าที่ผ่านการใช้งานมาแล้วในระยะเวลาหนึ่งก็จำเป็นจะต้องทำการบำรุงรักษาเพื่อให้การใช้งานเป็นไปอย่างมีประสิทธิภาพ และรักษามาตรฐานความปลอดภัยของรถไฟฟ้า ตัวอย่างเช่น รถไฟฟ้า BTS [1] เองซึ่งได้มีการบำรุงรักษาและการตรวจสอบอยู่สม่ำเสมอแล้วนั้น เมื่อระยะเวลาการใช้งานถึง 6 ปี จะต้องมีการบำรุงรักษาครั้งใหญ่ (Overhaul) เนื่องจากชิ้นส่วนบางชิ้นอาจเกิดข้อบกพร่อง หรือชำรุดก่อนเวลาอันควร หรือจำเป็นที่จะต้องเปลี่ยนเพื่อระดับความเสี่ยงระยะเวลาที่ผู้ผลิตได้แนะนำไว้ [2]

โดยส่วนใหญ่แล้วการใช้งานตลับลูกปืนในล้อรถไฟฟ้า BTS สามารถใช้งานได้มากกว่าอายุการใช้งานที่ผู้ผลิตแนะนำทั้งนี้อาจเนื่องมาจากเงื่อนไขและสภาพการใช้งานที่แตกต่างกัน ดังนั้นจึงจำเป็นที่จะต้องมีการศึกษาเพื่อที่จะจำแนกความเสี่ยงหาย [3] และหาอายุการใช้งานที่แท้จริงของตลับลูกปืน รูปที่ 1 แสดงลักษณะของตลับลูกปืนที่ใช้อยู่ในล้อรถไฟฟ้า รูปที่ 2 แสดงลักษณะตลับลูกปืนที่ติดตั้งอยู่กับเพลาล้อรถไฟฟ้า ซึ่งตลับลูกปืนล้อนั้นจะต้องมีการตรวจสอบเมื่อถึงระยะเวลาที่กำหนดก่อนที่จะนำกลับไปใช้งานอีกรอบ ในกรณีจำแนกความเสี่ยหานั้นจากการศึกษาข้อมูลที่ได้จากการเชิงสาขของผู้ผลิตตลับลูกปืน (FAG) พบว่าได้มีการแบ่งแยกระดับความเสี่ยหายออกเป็น 3 ระดับ คือ Class A, B และ C ซึ่งในระดับต่างๆ ได้ระบุอายุการใช้งานไว้ดังนี้ Class A มีอายุการใช้งานประมาณ 1-3 ปี Class B มีอายุการใช้งานประมาณ 6 เดือนถึง 1 ปี ส่วน Class C นั้นไม่นำมาใช้งาน [4] ในงานวิจัยชิ้นนี้จะได้นำวิธีการตั้งกล่าวไว้เคราะห์ตลับลูกปืนที่ใช้ในรถไฟฟ้าของประเทศไทยในการจำแนกระดับความเสี่ยหายและหาอายุการใช้งาน นอกจากนี้ยังมีวิธีการวิเคราะห์ทางสถิติที่เกี่ยวข้องโดยอาศัยการเก็บข้อมูลการชำรุดที่ซ้ำๆ กัน (Repetitive failures) มาทำการวิเคราะห์ โดยมีวัตถุประสงค์ของการวิจัย เพื่อจำแนกสภาพความเสี่ยหายของตลับลูกปืนที่ผ่านการใช้งานมาแล้ว และหาอายุการใช้งานที่เหลืออยู่ของตลับลูกปืนหลังจากการบำรุงรักษาแล้ว



ตัวแทนที่ติดตั้ง
ตลับลูกปืน



รูปที่ 1 ตลับลูกปืนแบบ Taper roller bearing unit ที่ใช้ในล้อรถไฟฟ้า รูปที่ 2 ตลับลูกปืนที่ติดตั้งอยู่กับเพลาล้อ

- การหาค่าเฉลี่ยของการชำรุดแต่ละครั้ง (Mean Time Between Failures; MTBF)

$$MTBF = \frac{t_1 + t_2 + \dots + t_n}{n} \quad (1)$$

t_1 คือเวลาการใช้งานที่บันทึกไว้ก่อนที่ชิ้นส่วนจะเกิดการชำรุดครั้งที่ 1

t_2 คือเวลาการใช้งานที่บันทึกไว้ก่อนที่ชิ้นส่วนจะเกิดการชำรุดครั้งที่ 2

t_n คือเวลาการใช้งานที่บันทึกไว้ก่อนที่ชิ้นส่วนจะเกิดการชำรุดครั้งที่ n

n คือจำนวนครั้งในกระบวนการบันทึก

- การกระจายทางสถิติแบบไนบูลล์เป็นการวิเคราะห์ข้อมูลทางสถิติเพื่อกำหนดรูปแบบการชำรุดว่า เป็นช่วงเริ่มต้น ช่วงใช้งาน หรือเป็นช่วงการสึกหรอ รูปที่ 3 เป็นกราฟความสัมพันธ์ระหว่างอัตราการชำรุดและเวลาการใช้งาน โดยสมการที่ 2 เป็นการกระจายทางสถิติแบบไนบูลล์ [5]

$$F(t) = 1 - e^{\left(\frac{t-\beta}{\alpha}\right)^{\gamma}} \quad (2)$$

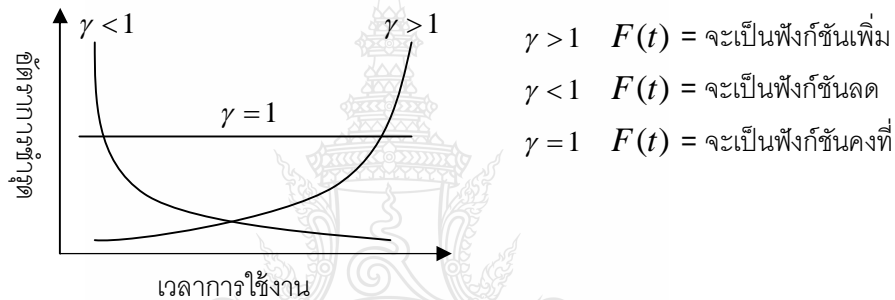
$F(t)$ คือเบอร์เช็นต์สะสมการชำรุด

t คือเวลาการใช้งานจนชิ้นงานชำรุด

α คือ Scale parameter หรือ MTBF (มาจากสมการที่ 1)

β คือ Location parameter หรือค่าเวลาปลดการชำรุด

γ คือ Shape parameter หรือ Weibull index



รูปที่ 3 กราฟแสดงความสัมพันธ์ระหว่างอัตราการชำรุดและเวลาการใช้งาน

ในกรณีที่ชิ้นส่วนนั้นไม่มี Shape life หรือช่วงเวลาปลดการชำรุดบ่งบอกว่า เมื่อถูกนำมารีสตาร์ท ไม่สามารถทำงานได้ตามเดิมทันที $t = 0$ และ β จะเท่ากับ 0 ซึ่งสมการดังกล่าวจะได้นำไปใช้ในหัวข้อที่ 5 การตรวจวัดและติดตามผล

วิธีการดำเนินงานวิจัย

สำหรับขั้นตอนในการดำเนินงานวิจัยนี้ได้แบ่งเป็น 5 ขั้นตอนดังนี้โดยเริ่ม (1) จากการวิเคราะห์สภาพความเสี่ยงของตัวอย่าง เพื่อที่จะหาว่าความเสี่ยงส่วนใหญ่มีลักษณะใดบ้าง (2) การตรวจวัดค่าเคลื่อนไหว เป็นการวัดค่าการสึกหรอของชุดตัวอย่าง 3 (3) การตรวจสอบโดยการขยายภาพ เพื่อที่จะดูบริเวณความเสี่ยงโดยการขยายภาพเพื่อวิเคราะห์ในระดับโครงสร้าง (4) การจำแนกระดับความเสี่ยง โดยการจำแนกลักษณะความเสี่ยงโดยอาศัยการระบุเป็นเบอร์เช็นต์ (5) การตรวจวัดและติดตามผล เพื่อที่จะได้ทราบถึงอายุการใช้งานที่แท้จริงของตัวอย่าง

1. การวิเคราะห์สภาพความเสียหายเบื้องต้น

จากการศึกษาและพบว่าความเสียหายของตลับลูกปืนในล้อรถไฟฟ้าที่เกิดขึ้นส่วนใหญ่ที่พบจะเกิดขึ้นจากสาเหตุหลักดังนี้

1.1. ความเสียหายเนื่องจากความล้า (Normal Fatigue)

สาเหตุเกิดจากตลับลูกปืนมีการใช้งานที่บ่อยๆ หรือวิบากะมากเกินไปโดยผิวของหวานใน แหวนนอก หรือเม็ดลูกปืน จะหลุดร่อนออกทำให้เกิดรอยเล็กๆ ขึ้นในไม้ข้ากจะตามไปทั่วตลับลูกปืน ลักษณะเช่นนี้มักทำให้เกิดการสั่นสะเทือนของตลับลูกปืนในขณะทำงาน รูปที่ 4 แสดงลักษณะความเสียหายในขั้นส่วนต่างๆ ของตลับลูกปืนเนื่องจากความล้า



(ก) Inner Ring

(ข) Outer Ring

(ค) Roller

รูปที่ 4 ลักษณะความเสียหายที่ผิวมีการหลุดออกเป็นชิ้นเล็กๆ เนื่องจากความล้า

1.2. ความเสียหายเนื่องจากสิ่งปนเปื้อน (Contamination)

สาเหตุเกิดจากฝุ่นในอากาศ หรือสิ่งสกปรกอื่นๆ ที่มาจากการวิเคราะห์สถานที่ทำงาน ความสกปรกของอุปกรณ์ที่ใช้ในการติดตั้ง สิ่งสกปรกปนเปื้อนในสารหล่อลื่น หรือเศษจากการสึกหรอของตัวตลับลูกปืนเอง ลักษณะความเสียหายจะเป็นรอยขีดหรือเป็นหลุมลึกบนเม็ดลูกปืนและบนวงจักรังวงทั้งหวานในและหวานนอก เมื่อใช้เล็บขูดเห็นจะสะอาดดูดีอยู่สักได้ชัดเจนอันเป็นสาเหตุของการสั่นสะเทือนดังแสดงในรูปที่ 5



(ก) Inner Ring

(ข) Outer Ring

(ค) Roller

รูปที่ 5 ลักษณะความเสียหายเนื่องจากสิ่งปนเปื้อน

1.3. ความเสียหายเนื่องจากขาดสารหล่อลื่น (Lubrication Failure)

สาเหตุเกิดจากการให้หล่อลื่นไม่ทั่วถึง หรือทำงานในลักษณะอุณหภูมิที่สูงเกินไปจะทำให้คุณสมบัติของสารหล่อลื่นมีคุณภาพลดลง ลักษณะของความเสียหายจะสังเกตได้จากการเปลี่ยนสีของเม็ดลูกปืนหวานใน และหวานนอก รูปที่ 6 แสดงลักษณะความเสียหายของขั้นส่วนต่างๆ (เป็นสีน้ำเงิน หรือสีน้ำตาล) การสึกหรอของเม็ดลูกปืน หวานใน หวานนอก เป็นผลทำให้เกิดความร้อนสูง



(ก) Inner Ring

(ข) Outer Ring

(ค) Roller

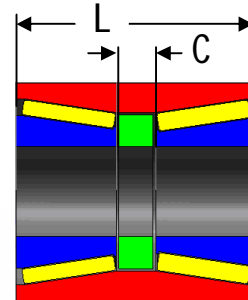
รูปที่ 6 ลักษณะความเสียหายจากการขาดสารหล่อลื่นโดยมีการเปลี่ยนสีของผิว

2. การตรวจวัดค่าเคลือร์เรนซ์ (Clearance)

การวัดค่าเคลือร์เรนซ์ของตลับลูกปืนเป็นการวัดค่าการสึกหรอ รูปที่ 7 แสดงเครื่องวัดเคลือร์เรนซ์ โดยจะวัดระยะในแนวแกนของชุดตลับลูกปืนสองตลับซึ่งค่าที่อ่านจาก Dial gage ต้องมีค่าไม่เกิน $700 \mu\text{m}$ ถ้าค่ามากกว่านี้แสดงว่าตลับลูกปืนเกิดการสึกหรอมาก [6] ซึ่งจะทำให้ตลับลูกปืนมีระยะเคลื่อนตัวค่อนข้างมากลักษณะเช่นนี้ส่งผลทำให้ตลับลูกปืนเสียหายเร็วยิ่งขึ้น รูปที่ 8 แสดงระยะ C ที่วัดค่าในแนวแกน เมื่อทำการวัดโดยเครื่องวัดค่าเคลือร์เรนซ์แล้วค่าจะต้องลดลงจากค่าเดิมไม่เกิน $700 \mu\text{m}$



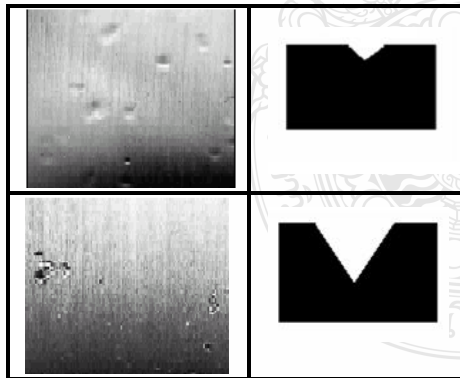
รูปที่ 7 เครื่องวัดเคลือร์เรนซ์



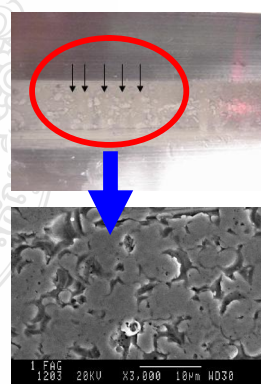
รูปที่ 8 ภาพวัดตลับลูกปืน

3. การตรวจสอบโดยการขยายภาพ

รูปที่ 9 แสดงการตรวจดูบริเวณความเสียหายโดยการขยายภาพเพื่อวิเคราะห์ดูความเสียหายโดยรวม และรูปที่ 10 แสดงภาพขยายทำให้สามารถมองเห็นความเสียหายได้อย่างชัดเจนบนเนื้อวัสดุ แต่ในการตรวจสอบวัสดุที่มีจำนวนมากทำได้ยากเนื่องจากต้องใช้เวลานาน จากศึกษาพบว่าความเสียหายที่ไม่สามารถเห็นด้วยตาเปล่า ของตลับลูกปืนมักจะมีอยู่กุ่การใช้งานเหลืออยู่ประมาณ 3-5 ปี ซึ่งจัดอยู่ในระดับของ Class A ซึ่งจะได้อธิบายในหัวข้อ 4



รูปที่ 9 ภาพถ่ายแสดงความลึกและการมองด้านข้าง [7]

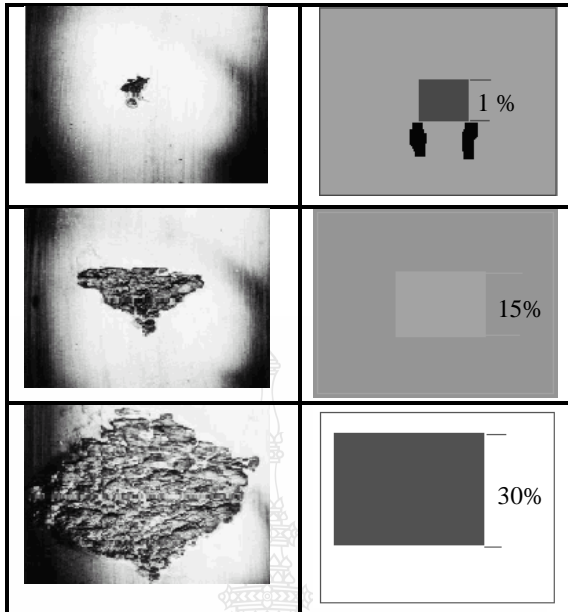


รูปที่ 10 ภาพขยายความละเอียดขนาด $10 \mu\text{m}$ [8]

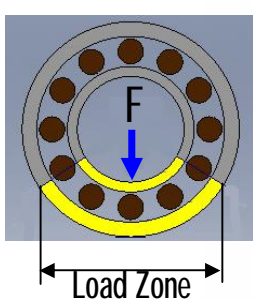
4. การจำแนกระดับความเสียหายโดยอาศัยการระบุเป็นเบอร์เซ็นต์

หลักการที่ใช้พิจารณาขั้นจะให้ความสำคัญกับตัวร่างนอก ตัวร่างใน และตัวเม็ดลูกปืนตามลำดับเนื่องจากความเสียหายที่เกิดขึ้นของร่างนอกจะมีเบอร์เซ็นต์ความเสียหายมากที่สุด รูปที่ 11 แสดงให้เห็นบริเวณความเสียหายของพื้นผิวนตลับลูกปืนโดยเทียบเป็นเบอร์เซ็นต์ เพราะบริเวณรับภาระไม่มีการเปลี่ยนแปลง รูปที่ 12 ภาพแสดงบริเวณ Load Zone ส่วนร่างในนั้นจะเกิดขึ้นตลอดเดือนรอบวงเนื่องมาจากการหมุน และตัวเม็ดลูกปืนเองก็เหมือนกันกับตัวร่างในและจะมีความคล้ายคลึงกันทุกเม็ด การแบ่งแยกระดับนั้นได้ขึ้นอยู่กับการใช้งานในต่างประเทศและบริษัทผู้ผลิตตลับลูกปืนโดยจำแนกความเสียหายออกเป็น 3 ระดับ คือระดับ A, B และ C ซึ่งระดับ

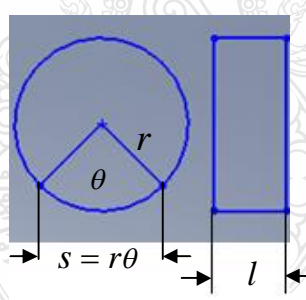
A เปอร์เซ็นต์ความเสียหายต่อพื้นที่ผิวที่รับภาระโหลดอยู่ที่ 1-15% ระดับ B เปอร์เซ็นต์อยู่ที่ 15-30% และระดับ C มีเปอร์เซ็นต์อยู่ที่ 30-50% ซึ่งระดับ C มีความเสียหายค่อนข้างมากจึงไม่นำกลับไปใช้งาน เนื่องจากไม่คุ้มค่ากับการบำรุงรักษา รูปที่ 13 แสดงการหาพื้นที่ความเสียหายบริเวณ Load Zone



(ก) รูปจากกล้องขยายที่แสดงความเสียหาย [9] (ข) วิธีการประเมินความเสียหายเป็นเปอร์เซ็นต์
รูปที่ 11 ภาพขยายบริเวณความเสียหายโดยเปลี่ยนเปอร์เซ็นต์ความเสียหายต่อพื้นที่ผิวที่รับภาระโหลด



รูปที่ 12 บริเวณ Load Zone



รูปที่ 13 การหาพื้นที่ความเสียหายบริเวณ Load Zone

$$A = ls \quad (3)$$

A คือพื้นที่ความเสียหาย

s คือความยาวบริเวณ Load Zone

l คือความกว้างของหน้าสัมผัส

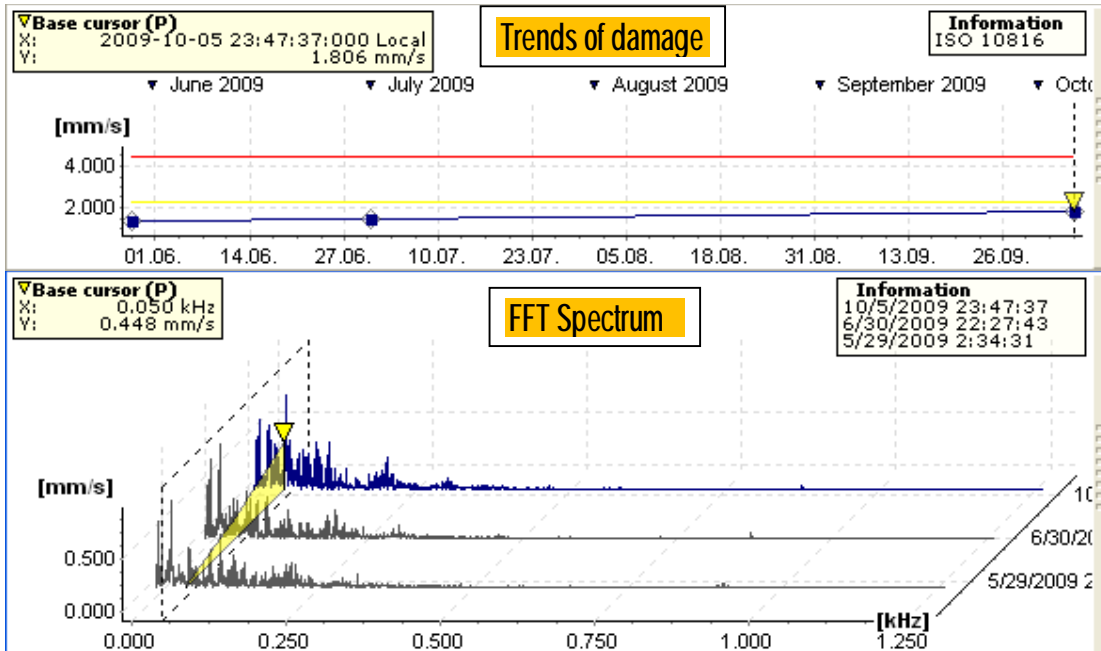
r คือรัศมีของตัวลูกปืน

θ คือองศาบริเวณ Load Zone

5. การตรวจวัดและติดตามผลของตัวลูกปืนที่บำรุงรักษาแล้วและนำกลับไปใช้งาน

การตรวจสอบความเสียหายที่เก็บอยู่ในบัญชีนี้ได้ใช้วิธีการวัดการสั่นสะเทือน (Vibration analysis) โดยการตรวจสอบอย่างต่อเนื่อง [10] รูปที่ 14 แสดงกราฟแนวโน้มของความเสียหายและกราฟสเปกตรัม โดยการเปรียบเทียบกันระหว่างค่า Amplitude กับค่าของเวลา(ระยะเวลาที่ต้องวัดแต่ละครั้ง) ส่วนกราฟสเปกตรัมนั้นจะเปรียบเทียบระหว่างค่า Amplitude กับความถี่ และระยะเวลาในการวัดแต่ละครั้งเพื่อแสดงให้เห็นค่าความเสียหายที่เพิ่มขึ้นโดยอ้างอิงกับมาตรฐาน ISO 10816 จากนั้นจะนำข้อมูลที่ได้จากการวัดการสั่นสะเทือนมาวิเคราะห์ร่วมกับวิธีการวิเคราะห์ทางสถิติแบบไนyuล์ส ซึ่งจะเป็นการวิเคราะห์ข้อมูลทางสถิติเพื่อกำหนดรูปแบบการชำรุดว่า เป็นช่วงเริ่มต้น ช่วงใช้งาน หรือเป็นช่วงการสึกหรอ จากตัวอย่างข้อมูลที่ทำการศึกษาพบว่าค่า Shape parameter จะมีค่ามากกว่า 1 ($\gamma > 1$) แสดงให้เห็นว่าการชำรุดนั้นเป็นช่วงการสึกหรอ ซึ่งสัมพันธ์กับค่าการสั่นสะเทือนที่มีแนวโน้มเพิ่มสูงขึ้นจากการวัดแต่ละครั้งไปจนถึงตัวลูกปืนเกิดความเสียหาย และจากการวัดสัมพันธ์ดังกล่าวนี้ซึ่งได้นำมา

ทำนายช่วงอายุการใช้งานที่คาดว่าจะใช้ต่อไปได้อีก เนื่องจากไม่สามารถที่จะถอดตลับลูกปืนออกมาดูภายในอกได้ เพราะมีความยุ่งยากและใช้เวลานาน ในขณะเดียวกันตลับลูกปืนต้องไม่เกิดความเสียหายในขณะที่รักษาให้บริการอยู่จนถึงขั้นต้องหยุดให้บริการ นอกจากนี้ยังมีการตรวจวัดอุณหภูมิโดยใช้สติ๊กเกอร์วัดอุณหภูมิเพื่อเป็นการตรวจสอบช่วงอุณหภูมิหนึ่ง



รูปที่ 14 กราฟแนวโน้มความเสียหาย และกราฟสเปกตรัม

ผลการทดลองและวิจารณ์

จากการศึกษาตลับลูกปืนที่ผ่านการใช้งานมาเป็นระยะเวลา 6 ปี มีตลับลูกปืนจำนวน 840 ลูก ที่ทำการบำรุงรักษาไปแล้ว พบร่วมกันว่าสามารถนำกลับไปใช้ได้ถึง 70% โดยแบ่งเป็น Class A 60% Class B 10% นอกจากนี้ข้อมูลที่ได้จากการวัดการสั่นสะเทือนและค่าเฉลี่ยของการชำรุดแต่ละครั้ง (MTBF) แสดงให้เห็นว่า อายุการใช้งานของตลับลูกปืน Class A สามารถใช้งานได้ในช่วง 3-5 ปี โดยคิดเป็นเปอร์เซ็นต์จากจำนวนตลับลูกปืนที่นำกลับมาใช้งานทั้งหมด 60% ต่ำกว่า 30% เริ่มเสียหายในช่วงหลัง 3 ปี นับจากเริ่มใช้งาน และมากกว่า 30% ที่ใช้งานได้ถึง 5 ปี ส่วน Class B สามารถที่จะใช้งานได้อีก 2-3 ปี จากจำนวนตลับลูกปืนที่นำกลับมาใช้งานทั้งหมด 10% ต่ำกว่า 5% เริ่มเสียหายในช่วงปีที่ 2 นับจากเริ่มใช้งาน และมากกว่า 5% ที่สามารถใช้งานได้ถึง 3 ปี จากข้อมูลดังกล่าวแสดงให้เห็นว่า จากสภาพการใช้งานของรถไฟฟ้าในประเทศไทยซึ่งมีความแตกต่างกับการใช้งานในต่างประเทศเป็นผลให้อายุการใช้งานของตลับลูกปืนลดลงที่ใช้งานภายใต้สภาพแวดล้อมที่แตกต่างกัน เป็นสาเหตุสำคัญที่ทำให้อายุการใช้งานของตลับลูกปืนมีความแตกต่างกันดัง ตารางที่ 1 แสดงอายุการใช้งานที่เหลืออยู่หรือระยะเวลาหลังจากผ่านการบำรุงรักษาแล้ว จากการนำข้อมูลการใช้งานในต่างประเทศและบริษัทผู้ผลิตตลับลูกปืนมาใช้ในการจำแนกแล้วนั้น แต่ทางผู้วิจัยมีข้อเสนอแนะให้มีการเรียงลำดับความสำคัญของสาเหตุที่ทำให้เกิดความเสียหายโดยคราวให้ความสำคัญกับความเสียหายเนื่องจากความล้าเป็นอันดับต้นๆ [11] ก่อน เพราะว่าความเสียหายในลักษณะนี้จะไม่มีทางแก้ไข ตามด้วยความเสียหายเนื่องจากลิ้งปืนเป็น ความเสียหายในลักษณะนี้สามารถแก้ไขได้โดยการทำความสะอาดและเปลี่ยนสารหล่อลื่นใหม่ และความเสียหายเนื่องจากขาดสารหล่อลื่น ก็สามารถที่จะแก้ไขได้โดยการเพิ่มสารหล่อลื่นเข่นเดียวกัน ส่วนการแบ่งระดับของความเสียหายนั้นควรมีการเพิ่มระดับความ

เสียหายออก เป็น 4 ระดับ โดยการเพิ่ม Class D ขึ้นมาอีกหนึ่งระดับกล่าวคือ ค่าเบอร์เซ็นต์ความเสียหาย 30%-40% ให้จำแนกเป็น Class C ซึ่งสามารถนำกลับมาใช้ในกรณีลูกเงินได้ในช่วง 1-3 เดือน และถ้ามากกว่า 40% ขึ้นไปให้เป็น Class D ซึ่งห้ามนำกลับไปใช้งาน และจากความเสียหายเนื่องจากความล้าบริเวณพื้นที่รับภาระจริงของตลับลูกปืน (Load Zone) ในกรณีใช้งาน น่าจะมีความเป็นไปได้ในการทำวิจัยเพื่อยืดอายุการใช้งานโดยการเปลี่ยนพื้นที่รับภาระของตลับลูกปืน

ตารางที่ 1 อายุการใช้งานที่เหลืออยู่หรือระยะเวลาที่ห้ามนำกลับมาใช้งาน

ระดับ(Class)	การใช้งานหลังจากผ่านการบำรุงรักษา	
	อายุการใช้งานที่เหลืออยู่	ระยะเวลาที่ใช้ได้อีก
A	3-5 ปี	300,000-500,000 Km.
B	2-3 ปี	200,000-300,000 Km.
C	ไม่แนะนำให้ใช้งาน	

สรุป

จากการศึกษาพบว่าเมื่อทำการวิเคราะห์ความเสียหายของตลับลูกปืนที่ผ่านการใช้งานมาแล้วและถึงระยะเวลาทำการบำรุงรักษาตามกำหนดของผู้ผลิต พบว่าสามารถที่จะแบ่งระดับของความเสียหายออกได้เป็น 3 ระดับคือ Class A, B และ C โดยที่ตลับลูกปืนที่เป็น Class A เมื่อผ่านการบำรุงรักษาแล้วสามารถนำใช้งานได้อีก 3-5 ปี Class B 2-3 ปี ส่วน Class C ไม่นำไปกลับไปใช้งานอีก แต่ทางผู้วิจัยนี้ขอเสนอแนะให้แบ่งระดับออกเป็น 4 ระดับกล่าวคือให้เพิ่ม Class D เข้าไปอีก 1 ระดับเพื่อที่จะสามารถนำกลับไปใช้ในกรณีลูกเงิน และควรจะมีการทำวิจัยเพื่อยืดอายุการใช้งานโดยการเปลี่ยนพื้นที่รับภาระของตลับลูกปืน

เอกสารอ้างอิง

- [1] BTS บริษัทระบบขนส่งมวลชนกรุงเทพ <http://www.bts.co.th/th/index.asp>
- [2] Siemens Ltd. ศูนย์ซ่อมบำรุงรถไฟฟ้าจตุจักร 2551.
- [3] รังสรรค์ พิธิกุล “ฤดูประดองการรับภาระของลูกปืน” สถาบันเทคโนโลยีพระจอมเกล้าพระนครเหนือ 2549:1-5.
- [4] Bearing Failure Analysis FAG industrial service.<http://www.fag.com/content.fag.de/en/index.jsp> 2007.
- [5] ปานเพชร ชินนทร์ เอกสารการสอน “เทคโนโลยีการบำรุงรักษา (Maintenance Technology)” มหาวิทยาลัยเทคโนโลยีราชมงคล 2548.
- [6] “The commitment of SKF to the world rail industry,”/2006.// [Online].//Available://<http://www.railways.skf.com/portal/skf/home/industries.html>.//Retrieved July 2008.
- [7] Rolling bearing damage “contamination of raceways” 2007.
- [8] “Normal fatigue of the running surfaces” <http://www.schaeffler.com> 2008.
- [9] Schaeffler Gruppe basis vibration analysis hands on with FAG detector III 2007.
- [10] Viktor Gerdun. and Others “ Failures of Bearing ” Engineering Failure Analysis 2007. 884-894.
- [11] Takafumi Nagatomo and David G. Toth “Bearing Damage” Quarterly Report of RTRI Vol. 47 2006, No. 3 pp.119-124.

ประวัติผู้เขียน

ชื่อ - นามสกุล นายสุริยา สารมาดย์
วัน เดือน ปีเกิด 11 กุมภาพันธ์ 2527
ที่อยู่ 93/4 บ.หนองแสง ต.หนองบัวเก้า
อ.พยัคฆ์ภูมิพิสัย จ.มหาสารคาม 44110
ประวัติการศึกษา สำเร็จการศึกษาระดับวิศวกรรมศาสตรบัณฑิต
สาขาวิชาวิศวกรรมเครื่องกล
จากมหาวิทยาลัยเทคโนโลยีราชมงคลชั้นนำ มี พ.ศ. 2550
ความชำนาญเฉพาะทาง
1. การวิเคราะห์ความเสียหายและบำรุงรักษาคลับลูกปืน
(Analysis and Refurbishment)
2. การวิเคราะห์การสั่นสะเทือน (Vibration Analysis)
3. การปรับดุลยกไฟฟ้าในเครื่องจักร (Balancing)
4. การตรวจสอบด้วยคลื่นเสียงความถี่สูง (Ultrasonic Testing)

ประวัติการทำงาน

พ.ศ. 2550 – ปัจจุบัน ตำแหน่งวิศวกรเครื่องกลแผนกซ่อมบำรุงรถไฟฟ้า (BTS)
บริษัท Siemens Limited

ผลงานวิจัยที่ได้รับการตีพิมพ์

สุริยา สารมาดย์ และเพอเดเกียรติ ลินปีประภา, “การวิเคราะห์ความเสียหายเพื่อที่จะหาอายุการใช้งานของคลับลูกปืนในล้อรถไฟฟ้าขนส่งมวลชน”, การประชุมทางวิชาการของมหาวิทยาลัยเกษตรศาสตร์ ครั้งที่ 48, 3-5 กุมภาพันธ์ 2553, หน้า 83-90.